



UNIVERSIDAD AUTÓNOMA DEL ESTADO DE MORELOS

INSTITUTO DE INVESTIGACIÓN EN CIENCIAS BÁSICAS Y APLICADAS

CENTRO DE INVESTIGACIONES QUÍMICAS

**“DESARROLLO DE HERRAMIENTAS METODOLÓGICAS DE SIMULACIÓN
NUMÉRICA PARA EL ESTUDIO DE INTERFASES ACUOSAS”**

TESIS

QUE PARA OBTENER EL GRADO DE

MAESTRO EN CIENCIAS

PRESENTA:

I.Q. ANTHONI ALCARAZ TORRES

DIRECTORA DE TESIS:

DRA. MARGARITA ISABEL BERNAL URUCHURTU

SINODALES:

DR. JORGE URUCHURTU CHAVARÍN

DR. HUMBERTO SAINT-MARTIN POSADA

DR. ANTONIO GAMBOA SUÁREZ

DR. JORGE HERNÁNDEZ COBOS

DR. MINNHUY HÔ

CUERNAVACA, MORELOS

MAYO, 2018

AGRADECIMIENTOS

A CONACYT por la beca de maestría con número de registro 594599 y el apoyo económico del proyecto de investigación “Enfoques multi-escala para el estudio de halógenos en fases condensadas” con número 253716 para poder concluir mi tesis de maestría.

Al Centro de Investigaciones Químicas (CIQ) por el apoyo administrativo, equipo de cómputo e infraestructura para realizar mi proyecto de maestría. A los profesores-investigadores, del área de fisicoquímica teórica, que me guiaron en el proceso de aprender y desarrollar diferentes habilidades.

Al Laboratorio Nacional de Cómputo de Alto Desempeño (LANCAD), en especial a la Universidad Autónoma Metropolitana campus Iztapalapa por el tiempo de cálculo concedido en el clúster YOLTLA y al Centro de Investigaciones y Estudios Avanzados (CINVESTAV) por el apoyo para utilizar el clúster ABACUS: Laboratorio de Matemática Aplicada y Cómputo de Alto Rendimiento del Departamento de Matemáticas.

Al grupo de fisicoquímica teórica del CIQ, en especial a la Dra. Margarita Bernal Uruchurtu y al Dr. Antonio Gamboa Suárez por sus asesorías y enseñanzas en todo el proyecto.

Al Dr. Peter Eastman, desarrollador principal de OpenMM, quien me apoyo con la solución de diferentes dudas del uso del programa.

Al Dr. Humberto Saint-Martín y al Dr. Jorge Uruchurtu por sus comentarios y sugerencias durante el proyecto.

Al Dr. Saurabh Belsare, del grupo de Biofísica de la Universidad de California en Berkeley, por la asesoría acerca del uso de OpenMM.

DEDICATORIA

Al progreso de la ciencia

ÍNDICE GENERAL

AGRADECIMIENTOS	i
DEDICATORIA	ii
ÍNDICE DE FIGURAS	vi
ÍNDICE DE TABLAS	viii
1. INTRODUCCIÓN	2
2. ANTECEDENTES	7
2.1 OBJETIVOS	12
2.1.1 Objetivo general	12
2.1.2 Objetivos específicos	12
2.1.3 Metas	12
2.2 HIPÓTESIS	13
3. METODOLOGÍA	15
3.1 Dinámica Molecular	15
3.1.1 Ensamblés	15
3.1.2. Ecuaciones de movimiento y algoritmo de integración	17
3.1.3 Potenciales clásicos.....	22
3.1.3.1 Interacciones de enlace	23
3.1.3.2 Interacciones no enlazantes	26
3.1.4 Condiciones periódicas a la frontera.....	29
3.1.5 Etapas de la dinámica molecular.....	30
3.2 Modelos de Agua	31
3.2.1 TIP4P-FB.....	32
3.2.2 AMOEBA.....	34
3.2.3 iAMOEBA	37

3.3 Modelos de Superficie	39
3.3.1 Superficie Hidrofóbica y Superficie Hidrofílica	39
3.3.2 Superficie Cargada Eléctricamente	41
3.4 Implementación de interfases acuosas en OpenMM.....	43
3.5 Validación de modelos de agua en OpenMM	48
3.5.1 Entalpía de vaporización	48
3.5.2 Función de distribución radial.....	50
3.5.3 Perfil de densidad.....	52
3.5.4 Distribución de la orientación del momento dipolar	57
3.5.5 Coeficientes de Auto difusión	59
3.5.6 Constante dieléctrica.....	60
3.6 Protocolo de Simulación para interfases acuosas	62
4. RESULTADOS Y DISCUSIÓN	65
4.1 Entalpía de vaporización.....	65
4.2 Funciones de distribución radial.....	65
4.3 Perfiles de densidad	67
4.4 Distribución de la orientación del momento dipolar.....	70
4.5 Coeficiente de auto-difusión	74
4.6 Constante Dieléctrica	75
4.7 Mapas Estructurales	78
5. CONCLUSIONES	85
6. BIBLIOGRAFÍA.....	89
7. ANEXOS.....	100
7.1 Script de python para calcular dinámicas moleculares en OpenMM	100
7.2 Subrutina del cálculo de los perfiles de densidad	104
7.3 Subrutina del cálculo de la orientación.....	105
7.4 Subrutina del cálculo del coeficiente de auto-difusión.....	106
7.5 Subrutina del cálculo de la constante dieléctrica para modelos rígidos	108

7.6 Subrutina del cálculo de la constante dieléctrica para modelos flexibles	109
7.7 Subrutina para convertir de formato PDB a XYZ	110
7.8 Librerías de subrutinas de análisis de propiedades.....	112
7.9 Configuración de agua estilo emparedado.....	113
7.10 Configuración equilibrada de agua durante 100 ns.....	138
7.11 Configuración equilibrada de agua más superficie hidrofóbica durante 1000 ns	138
7.12 Configuración equilibrada de agua más superficie hidrofílica durante 1000 ns..	139
7.13 Campo de fuerzas del modelo TIP4P-FB (xml).....	139
7.14 Campo de fuerzas del modelo AMOEBA (xml).....	139
7.15 Campo de fuerzas del modelo iAMOEBA (xml)	139
7.16 Script de Python para crear puntos de continuación de DM (xml)	140
7.17 Script de Python para obtener el momento multipolar de los modelos iAMOEBA/AMOEBA en OpenMM.....	141
7.18 Script de Python para obtener fuerzas y velocidades de OpenMM	143
7.19 Script de Python para calcular regresión lineal de una trayectoria	144
7.20 Script de Python para calcular regresión lineal de un conjunto de datos	145
7.21 Script de Python para calcular la constante dieléctrica y el factor de Kirwood	147
7.22 Subrutina para clasificar los átomos a lo largo del eje Y de la celda de simulación	149
7.23 Subrutina para calcular las distancias temporales de los átomos cercanos a la superficie (<5 Å).....	150
7.24 Subrutina para calcular funciones de distribución radial	151
7.25 Subrutina para calcular mapas estructurales	152
7.26 Subrutina para obtener estructuras de agua hasta 5 Å de la superficie.	154
7.27 Subrutina para obtener estructuras de agua hasta 5 Å de la superficie	155

ÍNDICE DE FIGURAS

Figura 1 Condiciones periódicas a la frontera en 3 dimensiones.	29
Figura 2 La superficie de energía potencial de interacción de los dos tipos de hidratación.....	40
Figura 3 Superficie de energía potencial entre el oxígeno y las superficies cargadas.....	42
Figura 4 Superficie de energía potencial entre el hidrógeno y las superficies cargadas eléctricamente.	42
Figura 5 Función de distribución radial del par atómico O – O.	51
Figura 6 Función de distribución radial del par atómico O – H.	51
Figura 7 Función de distribución radial del par atómico H – H.	52
Figura 8 Representación de la celda dividida por bloques a lo largo del eje Y.	52
Figura 9 Perfil de densidad de agua bulto en 52 bloques a lo largo del eje Y.....	53
Figura 10 Perfil de densidad de agua bulto ante paredes hidrofóbicas para un tiempo de simulación de 15 ns. .	54
Figura 11 Perfil densidad de agua confinada entre paredes hidrofóbicas en una trayectoria con 30 ns.....	54
Figura 12 Gráfico de la pendiente del perfil de densidad del sistema en cada punto de la trayectoria.....	55
Figura 13 Gráfico de la pendiente contra el tiempo de simulación en sistemas con superficies cargadas.	56
Figura 14 Definición del ángulo θ formado entre el vector normal a la superficie y el momento dipolar..	57
Figura 15 División de la celda de simulación por bloques, cada bloque tiene un ancho de 5.6 Å.....	58
Figura 16 Distribución del coseno de θ en los bloques cercanos a la superficie imaginaria.	58
Figura 17 Promedio acumulado de la constante dieléctrica en función del tiempo de simulación.....	61
Figura 18 Función de distribución radial del par atómico O – O del modelo AMOEBA.....	66
Figura 19 Función de distribución radial del par atómico O – O del modelo iAMOEBA.	66
Figura 20 Función de distribución radial del par atómico O – O del modelo TIP4P-FB.	67
Figura 21 Perfiles de densidad del modelo de agua AMOEBA..	68
Figura 22 Perfiles de densidad del modelo de agua iAMOEBA.	68
Figura 23 Perfiles de densidad del modelo de agua TIP4P-FB.....	70
Figura 24 Definición de los vectores de momento dipolar a) y el vector de enlace OH b).....	70
Figura 25 Orientaciones de las moléculas de agua en presencia de una superficie HHFO..	71
Figura 26 Orientaciones de las moléculas de agua en presencia de una superficie con potencial de 0.2 V..	71
Figura 27 Orientaciones de las moléculas de agua en presencia de una superficie con potencial de 0.5 V.	72
Figura 28 Orientaciones de las moléculas de agua en presencia de una superficie con potencial de 0.8 V.	73
Figura 29 Orientaciones de las moléculas de agua en presencia de una superficie HHFI.	74
Figura 30 Constante dieléctrica del modelo AMOEBA contra el tiempo de simulación.	76
Figura 31 Promedio acumulado de la constante dieléctrica del modelo iAMOEBA.	76
Figura 32 Constante dieléctrica del modelo TIP4P-FB contra el tiempo de simulación.....	77
Figura 33 Distribución de las moléculas de agua cerca de la superficie	78

Figura 34 Distancia a la pared contra el tiempo de simulación	79
Figura 35 Mapas bidimensionales de la estructura del agua líquida ante las superficies hidrofóbicas.....	80
Figura 36 Mapas bidimensionales de la estructura del agua líquida ante las superficies hidrofílicas.....	81
Figura 37 Mapas bidimensionales de la estructura del agua líquida ante las superficies cargadas.....	82

ÍNDICE DE TABLAS

Tabla 1 Parámetros intramoleculares del modelo TIP4P-FB.	34
Tabla 2 Parámetros intermoleculares del modelo TIP4P-FB.	34
Tabla 3 Parámetros de interacción del modelo AMOEBA-2013.....	37
Tabla 4 Parámetros del potencial de interacción iAMOEBA.	38
Tabla 5 Parámetros de las funciones del potencial de interacción entre el agua y los dos tipos de superficies. ...	40
Tabla 6 Entalpía de vaporización de agua líquida con tres modelos diferentes y 25 ns de simulación.	50
Tabla 7 Coeficientes de auto-difusión del bulbo para los tres campos de fuerza.	59
Tabla 8 Constante dieléctrica del bulbo de los tres potenciales de agua utilizados.	62
Tabla 9 Entalpía de vaporización de agua líquida con tres tipos de superficies..	65
Tabla 10 Coeficiente de auto-difusión de agua líquida y de los tipos de superficies.....	75
Tabla 11 Constante dieléctrica del bulbo; las superficies hidrofóbica (HHFO) e hidrofílica (HHFI) y las superficies cargadas por un potencial de 0.2 V, 0.5 V y 0.8 V..	77

CAPÍTULO UNO

INTRODUCCIÓN

1. INTRODUCCIÓN

El progreso científico y tecnológico ocurrido en los últimos 70 años, ha conducido a la puesta a punto de técnicas experimentales que permiten caracterizar a nivel molecular una mayor cantidad de materiales, sustancias y especies químicas. Ejemplo de estos equipos son el microscopio de fuerza atómica o los microscopios de barrido por sonda¹. Gracias a estos avances podemos intentar mejorar nuestra comprensión de la naturaleza y los problemas modernos que atentan contra ella: la contaminación ambiental generada por la quema de hidrocarburos provenientes del petróleo; la contaminación de agua potable con metales pesados, por ejemplo, el envenenamiento por plomo causado por consumir agua con altas concentraciones de plomo, como es el caso de Washington en la década pasada² y el de Flint en el 2016¹.

La investigación científica ha contribuido, tanto a identificar el origen de los problemas señalados anteriormente como en la búsqueda de soluciones. Sin embargo, esto último no es simple ni directo. Por ejemplo, con el descubrimiento de algunos productos que se derivan de recursos renovables y causan menor impacto ambiental, como el biodiesel, su transporte en tuberías metálicas provoca corrosión y, aunque se han descubierto inhibidores verdes para este problema^{3,4}, el reto de aprovechar innovaciones sin generar problemas mayores es fundamental. En el caso de Flint, el agua recibida en los hogares tuvo una concentración más alta de plomo en comparación con la que se suministraba al inicio de la red desde la planta de distribución, esto sucedió al modificar las técnicas de tratamiento del agua; el aumento en la cantidad de cloro para su potabilización provocó que se acidificara. Por lo que, entre las tuberías (hechas de plomo) y la disolución electrolítica, se generaron reacciones electroquímicas, provocando la formación de residuos que corroyeron la red de distribución de agua. La corrosión, es el fenómeno electroquímico generado por las reacciones químicas producidas por la transferencia de electrones entre fases cargadas eléctricamente. De acuerdo con Michael Kappl *et al.*, es posible entender

¹ Todas las noticias del caso Flint están disponibles en: <http://flintwaterstudy.org/>

una interfase como la región que separa dos fases, si, consideramos algunas fases como el vapor, el líquido, el sólido, amorfo o cristalino, también podemos encontrar la combinación de fases que generan interfases como líquido-vapor, líquido-sólido, líquido-cristal, entre otras¹. Se sabe que las reacciones electroquímicas suceden en la interfase comprendida entre el metal (puede ser una tubería o un electrodo) y la disolución acuosa. Esta interfase recibe el nombre de doble capa electroquímica y reviste vital importancia para diferentes áreas de la ciencia como electroquímica, materiales o ciencia de superficie⁵⁻⁸. La doble capa (DC) está comprendida por la capa de Nernst y la capa difusa; la DC se extiende desde la superficie del electrodo hasta terminar la capa difusa. En ella podemos encontrar moléculas de disolvente, iones solvatados, moléculas de disolvente o iones adsorbidos a la superficie del electrodo^{9,10}.

Experimentalmente, los procesos electroquímicos se han estudiado desde un punto de vista fenomenológico utilizando técnicas como: voltamogramas cíclicos, curvas de impedancia, curvas de ruido, curvas de electrocapilaridad, entre otras. La fisicoquímica teórica por su parte ha analizado fenómenos como el transporte de masa con modelos diferentes para su estudio que el necesario para analizar la transferencia de carga y la reactividad en celdas electroquímicas. En el primero, el modelo clásico, la naturaleza química de las sustancias disueltas y/o depositadas no cambia mientras que en el segundo sí (el modelo cuántico). Por ejemplo, el transporte de masa se estudia por lo general con modelos clásicos, es decir, no se consideran las propiedades atómicas o electrónicas ya que se analiza el comportamiento estadístico de partículas como conjunto. Por otra parte, los modelos cuánticos son capaces de abordar explícitamente la transferencia de electrones, es decir, estudian detalladamente la interacción de átomos y moléculas. Por ello, la modelización de problemas relacionados con los fenómenos electroquímicos puede ser hecha con diferentes grados de aproximación.

La implementación de los modelos a los que se hace referencia en el párrafo anterior se realiza con técnicas de simulación numérica como la dinámica molecular (DM) o el Monte Carlo Metrópolis (MC). En la literatura reciente es posible identificar varios

trabajos dirigidos a avanzar en la comprensión de la interfase electroquímica proporcionando información con detalle molecular de ella¹¹⁻¹⁴. Es posible identificar que los niveles de aproximación con que lo hacen son muy distintos. La descripción de estos sistemas requiere de modelos que describan al electrodo (fase inmóvil), y de modelos que describan la disolución (modelos clásicos, flexibles y con capacidad de respuesta ante el medio). Encontrar un modelo que integre la fase sólida, la fase líquida y la interfase, requiere aún de gran cantidad de trabajo^{13,15-19}.

En la disolución, el disolvente como el agua es el que se encuentra en mayor cantidad, entender su comportamiento ha sido de los grandes retos que se originaron desde el siglo pasado y por ello, se han desarrollado varios modelos clásicos de agua que tratan de describir propiedades medibles experimentalmente²⁰. Es posible clasificar los modelos de agua empleados, según los grados de libertad en su diseño. Por ejemplo, grados de libertad estructurales, aquellos donde la geometría de la molécula es flexible o aquellos con grados de libertad en la descripción de su respuesta electrostática.

Por un lado, en los modelos de agua con grados de libertad estructurales, se pueden reconocer dos categorías grandes: 1) los modelos rígidos, donde se mantiene fija tanto la longitud de enlace de oxígeno - hidrógeno (OH) como el valor del ángulo entre los OH y, 2) los modelos flexibles en los que tanto las longitudes de los OH como el ángulo entre ellos pueden cambiar^{20,21}.

Los grados de libertad asociados a la descripción clásica de la densidad electrónica han sido sujetos de representaciones diferentes^{22,23}. En particular, la forma en la que se incluyen propiedades como el dipolo permanente, el dipolo inducido o la carga formal de un ion. De hecho, es posible clasificarlos por la forma en la que tratan (o no) la polarización, que es la redistribución de la densidad electrónica de una molécula ante la presencia de un campo eléctrico²⁴. La mayoría de los campos de fuerza se han ajustado para considerar únicamente cargas puntuales en cada centro atómico sin incluir a la polarización o un desarrollo multipolar. Por ejemplo, el potencial *ad-hoc*

propuesto por Bernal y Fowler²⁵, que incluye la expresión de Coulomb para monopolos eléctricos.

Entre los modelos de electrodo que se han usado se encuentran aquellos que simulan explícitamente los átomos que conforman a la pared²⁶ y modelos donde el efecto del muro se estudia con una superficie sin estructura discreta²⁷. Una característica importante de cualquier modelo de electrodo es contar con la posibilidad de modificar sus propiedades electrónicas: que sea polarizable y también que se pueda cargar eléctricamente²⁸.

Este proyecto de maestría busca generar un protocolo de simulación basado en estudios de dinámica molecular, útil para analizar el comportamiento de diferentes modelos clásicos de agua en la interfase sólido-líquido, aproximando la fase sólida a su representación más sencilla que es utilizar una pared sin estructura.

CAPÍTULO DOS

ANTECEDENTES

2. ANTECEDENTES

Entender una disolución, requiere preguntarse qué tipo de solvatación ocurre en el sistema de estudio. Cuando el disolvente es agua, se distinguen dos grandes tipos de hidratación: Por un lado, la hidratación que favorece la interacción entre el soluto y el agua se llama hidrofílica y, donde la interacción dominante es entre las moléculas de agua, recibe el nombre de hidrofóbica²⁹. Desde siglo XX, ha existido gran interés en caracterizar a nivel molecular el comportamiento del agua en presencia de superficies con propiedades hidrofóbicas e hidrofílicas. Ejemplos de este tipo de sistemas son: agua en contacto con interfases no polares o interfases metálicas; una disolución electrolítica en interfases metálicas; agua dentro de una membrana biológica, la hidratación de proteínas, entre otros^{30,31}. A continuación, se presenta de manera sucinta, la evolución histórica de los modelos usados en simulaciones numéricas de sistemas de dos fases que involucran superficies metálicas con agua y/o disoluciones electrolíticas.

El primer intento fue hecho por Lee *et al.*, en 1984 y consistió en estudiar mediante dinámica molecular 216 moléculas de agua, las cuales estaban confinadas entre dos superficies hidrofóbicas de tamaño infinito en una celda de simulación alargada en la dirección **Z** (13.16 x 13.16 x 37.24 Å) y en una celda cúbica (lado igual a 18.62 Å)³². Los modelos clásicos empleados en ese estudio, por ejemplo, el potencial rígido de interacción agua-agua fue el desarrollado por Rahman y Stillinger(ST2)³³ y, la interacción agua-superficie consistía en una variante de Lennard-Jones (LJ) como la ecuación 1, donde *Z* es la distancia de cada átomo de la molécula de agua al plano.

$$U(Z) = \frac{A}{Z^9} - \frac{B}{Z^3} \quad (1)$$

La caracterización molecular consistió en obtener perfiles de densidad, perfiles de número de enlaces de hidrógeno y la distribución de orientaciones de las aguas con respecto a las superficies. Estos análisis, fueron construidos dividiendo la celda de

simulación en bloques de tamaño igual a 0.372 \AA en dirección **Z**; cuyo valor es mucho menor al diámetro de una molécula de agua (2.76 \AA ³⁴). De acuerdo con lo reportado, obtuvieron perfiles de densidad similares en los dos tipos de celdas de simulación. Sin embargo, las oscilaciones en el perfil del sistema rectangular deberían ser más pequeñas que en el sistema cúbico, porque la distancia entre los planos es más larga y el efecto de ambas superficies no debería traslaparse. Es importante notar que, por mucho tiempo se utilizaron 256 moléculas para simular el bulto; ya que se creía que era el mínimo número de moléculas necesarias para que una molécula de agua tenga un número efectivo de vecinos en las tres direcciones. Ese número es pequeño considerando las características de simulación empleadas, por ejemplo, el radio de corte de las interacciones intermoleculares.

En esa misma década, Spohr propuso una metodología nueva para estudiar la interfase agua-metal, empleó un bloque de platino colocado en los extremos de la celda de simulación; cuya longitud fue de 10 \AA en la dirección **Z** y estaba constituido por átomos explícitos³⁵. Además, utilizó una celda de simulación alargada en el eje **Z** de 20 \AA . El potencial de interacción agua-platino, de carácter hidrofílico, el cual consta de un potencial de LJ 12-6 más un potencial coulombico; que considera las cargas imagen generadas por las cargas de las moléculas de agua. La restricción en el potencial de LJ es que solo interactúa el oxígeno del agua con los átomos de platino, los parámetros (σ y ϵ) fueron obtenidos de la regla de combinación de Kong³⁶ del potencial de LJ de dos átomos de oxígeno, tomados de los modelos rígidos de agua: TIP3P y TIP4P creados por Jorgensen *et al*³⁷; la interacción agua-agua se simuló con el modelo de agua rígido ST2 y el potencial de interacción Pt-Pt fue el propuesto por Pound³⁸. Años más tarde, se ajustó el potencial de interacción por pares a un conjunto de funciones exponenciales en las que ya se considera la interacción hidrógeno-metal³⁹. Esta interacción se calculó como la suma del potencial oxígeno-metal más el potencial hidrógeno-metal y fue el primero en utilizar un modelo de agua flexible (Bopp-Jancsó-Heinzinger)⁴⁰. El avance en ese estudio fue simular explícitamente la fase sólida, se confinaron las aguas de tal manera que, el radio de corte utilizado (9.8 \AA) no

permitiese que aguas de la celda central interaccionaran con aguas en la celda imagen, como sucedió en lo reportado por el grupo de Rosky. Los nuevos análisis incluyeron funciones de distribución radial por regiones. En ellas se observa que la estructura de agua se ve afectada en los segundos vecinos a medida que se aproxima a la fase sólida. Este efecto disminuye, es decir, de tal forma que se recupera el segundo pico de la $g_{O-O}(r)$ a distancias menores a 5 Å del centro de la celda. Por un lado, en este tipo de sistemas discretos, el perfil de densidad se comporta como el reportado por Lee, pero se pierde la simetría a medida que se acerca al metal. Por el otro, el tiempo de simulación sigue siendo la mayor limitación, al aumentar el número de átomos solo obtiene dinámicas de apenas un par de decenas de ps , a diferencia del modelo continuo de Lee donde simuló más de 70 ps .

Hautman *et al.*,⁴¹ propusieron simular las superficies hidrofóbicas con una modificación al modelo propuesto por Peter Rosky; el nuevo modelo considera tener cargas eléctricas. Estas cargas generan un nuevo potencial que se suma al considerado en el caso anterior. El resultado más interesante que obtienen es el cálculo de la capacitancia cerca de la superficie; con ello calculan valores de la constante dieléctrica seis veces menor que en agua líquida (el modelo de agua utilizado fue cargas puntuales simples, SPC por sus siglas en inglés⁴²) y, que es lo esperado cuando los dipolos están alineados cerca de la superficie ($\epsilon \approx 12$) a diferencia del desorden que puede existir en el seno del líquido, ya que cerca del electrodo las fluctuaciones orientacionales son pequeñas a diferencia de lo que ocurre en el bulto.

A finales del siglo pasado, Spohr calculó trayectorias por dinámica molecular considerando una superficie infinita, hidrofílica y con cargas eléctricas. Además, crea una disolución electrolítica 2.2 molal de NaCl, con lo que es posible llamar a la interfase con la superficie como doble capa electroquímica (DCE)⁴³. Los resultados obtenidos son interesantes porque se analiza la distribución de orientaciones de las aguas con respecto a cada superficie cargada positiva o negativamente, y es clara la tendencia de la orientación dependiente de la naturaleza eléctrica de la pared. Aunque

fue el inicio de protocolos de simulación para el estudio de la DCE, todavía requieren mejorar la descripción de la física de los diferentes componentes que la integran. Sin embargo, aún no existe un modelo clásico capaz de reproducir, por ejemplo, la correcta interacción de iones con agua⁴⁴⁻⁴⁶; esto se debe a que algunos modelos solo consideran la contribución de cargas puntuales, a pesar de que una descripción completa debería incluir un desarrollo multipolar, donde el inconveniente es que se vuelve costoso computacionalmente.

De acuerdo con Jedlovzky *et al.*,^{27,47} es posible pensar una fase sólida constituida por moléculas hidrofóbicas como un soluto esférico de radio infinito, hacerlo de esta manera reduce el problema a tener una superficie plana infinita que está en contacto con el agua, es decir, es la representación más sencilla de un modelo de electrodo, un capacitor o la superficie de una membrana en contacto con una disolución electrolítica.

Trabajos recientes en los que se han construido mejores modelos clásicos para agua^{21,48-51}, iones y metales, ofrecen una nueva oportunidad de caracterizar la DCE no solo con los perfiles de orientaciones o análisis termoquímicos, sino también, con análisis dinámicos cerca de la interfase, como son los trabajos de Laage quien es pionero en análisis de dinámica orientacional en interfases. Ejemplo de las interfases que han estudiado son: líquido-aire, líquido-membranas o hidratación de proteínas⁵²⁻⁵⁴.

La hidratación de superficies se ha estudiado desde hace tres décadas en las que los modelos de agua y la capacidad de cómputo han evolucionado notoriamente. Los campos de fuerza de agua han sido re-parametrizados; algunos modelos de agua tienen el objetivo de reproducir una propiedad experimental en específico o un conjunto pequeño de propiedades. Por ejemplo, el modelo clásico de agua TIP4P/Ice⁵⁵ fue ajustado para reproducir algunas líneas del diagrama de fases del hielo y líquido; o el modelo de cargas puntuales simples extendido (SPC/E), usado en el estudio de interfases sólido-líquido, que reproduce tanto la constante dieléctrica estática como el coeficiente de auto-difusión con valores cercanos al experimental^{20,56}. Sin embargo,

este último potencial de agua no es polarizable y, por lo tanto, no responde a el efecto de un campo eléctrico producido por una superficie cargada.

El propósito de avanzar en la comprensión de los procesos que favorecen o inhiben los fenómenos en la doble capa electroquímica requiere de un *modelo realista* y robusto de la interfase electrodo metálico-disolución y, hasta el momento no se cuenta con alguno. Caracterizar este tipo de sistemas con detalle molecular nos ayudará a entender el rol de cada uno de los componentes, superficie, disolvente, electrolito y solutos, desempeña en un proceso de interfase.

Desarrollar progresivamente la metodología, para estudiar el efecto de superficies sin estructura con características diferentes de interacción, necesita de modelos de agua capaces de responder al efecto producido por una pared, por ejemplo, el potencial AMOEBA responde al ambiente permitiendo la inducción de dipolos en los centros atómicos (se discutirá en la sección 3.2.2) así, estudiar el cambio en propiedades moleculares colectivas, permite comparar con la respuesta de modelos no polarizables. De esta manera, se descarta la influencia de la fase sólida sobre propiedades específicas del disolvente y se atribuyen a las características intrínsecas del campo de fuerzas.

Por lo tanto, en este proyecto de maestría se plantean los siguientes objetivos para iniciar el estudio de soluciones acuosas ante superficies que no incluyen átomos explícitamente.

2.1 OBJETIVOS

2.1.1 Objetivo general

Este proyecto de investigación busca generar la metodología necesaria para el estudio de la interfase agua líquida-superficie a través de simulaciones numéricas de dinámica molecular y analizar las trayectorias dinámicas del sistema en sus aspectos estructurales y dinámicos.

2.1.2 Objetivos específicos

- Simular la hidratación de la fase sólida con una pared sin estructura y estudiar el efecto de esta sobre el disolvente cuando la superficie es hidrofóbica, hidrofílica o está cargada eléctricamente.
- Caracterizar con detalle molecular el comportamiento del agua ante la superficie sin estructura y conocer las diferencias con respecto al bulto.

2.1.3 Metas

- Seleccionar potenciales clásicos, para el disolvente y los tres tipos de superficie, hidrofóbica, hidrofílica y cargada eléctricamente, que permitan caracterizar el comportamiento del agua en la interfase líquido-superficie empleando para ello, modelos con diferentes grados de libertad y refinamiento en el tratamiento de las interacciones.
- Preparar celdas de simulación en condiciones que coincidan con las superficies sin estructura.
- Calcular trayectorias de dinámica molecular que permitan analizar el comportamiento del disolvente ante superficies de diferente naturaleza.
- Calcular propiedades estructurales y dinámicas de las trayectorias de dinámica molecular.

2.2 HIPÓTESIS

El estudio de la interfase sólido-agua líquida, por dinámica molecular, requiere de potenciales de interacción capaces de reproducir propiedades medibles experimentalmente. Las características del modelo de disolvente seleccionado son determinantes en la evaluación de la respuesta ante una superficie sólida sin estructura; la cual no responde a estímulos generados por la fase contraria. Entender el efecto que ejerce la superficie sobre modelos de agua con diferencias estructurales y aproximaciones clásicas a la densidad electrónica, ayuda a caracterizar, únicamente, la respuesta del disolvente y el alcance del efecto de la pared, sobre diferente número de capas de vecinos.

CAPÍTULO TRES

METODOLOGÍA

3. METODOLOGÍA

3.1 Dinámica Molecular

En fisicoquímica, la naturaleza puede analizarse desde dos puntos de vista: a un nivel macroscópico o a un nivel molecular. Las explicaciones científicas dadas a niveles moleculares están ligadas íntimamente con las explicaciones macroscópicas, para conectar estos dos mundos, la termodinámica estadística es el área de la fisicoquímica que lo hace ⁵⁷.

Se sabe que la mecánica cuántica, que ofrece la visión molecular de un fenómeno, utiliza como objeto de estudio los electrones y núcleos que forman el sistema. Por el contrario, la termodinámica clásica trabaja con cantidades molares. La conexión entre estas dos visiones puede hacerse con simulaciones numéricas usando, por ejemplo, modelos construidos con información de mecánica cuántica y con variables de la termodinámica clásica, que bajo un esquema de simulación numérica generen conjuntos estadísticamente significantes; útiles para reproducir las propiedades ***promedio*** del sistema de acuerdo a la función de partición del sistema, como lo establece la termodinámica estadística⁵⁸.

La DM es una simulación numérica determinista que analiza el comportamiento en conjunto de un sistema molecular y se rige por las leyes deterministas de Newton, que son dependientes del tiempo^{59,60}. Por el contrario, MC es una simulación numérica estocástica en donde cada configuración depende solo de la configuración anterior, ya que MC genera configuraciones aleatoriamente y en la modalidad de Metropolis, utiliza un criterio de probabilidad para aceptar o rechazar la nueva configuración⁶¹.

3.1.1 Ensamblés

El estado termodinámico de un sistema clásico, llamado *macroestado*, depende de variables naturales de tipo extensivas como número de átomos (***N***), volumen (***V***) y la energía de esa cantidad de partículas y espacio ocupado (***E***). Un *macroestado* tiene

asociado un conjunto estadístico de sistemas temporales igualmente probables llamados *microestados*. En un tiempo lo suficientemente largo, el sistema pasa de un *microestado* a otro y el comportamiento promedio del número de *microestados* visitados representa el *macroestado* del sistema de estudio. El conjunto de *microestados* del sistema recibe el nombre de **ensamble**⁶².

Al simular un *macroestado* con N átomos se requiere definir el *microestado* temporal del sistema, el cual se representa con coordenadas instantáneas: $3N$ coordenadas de posición y $3N$ coordenadas de momento de todas las partículas que forman el sistema. El conjunto de coordenadas representa un punto de un espacio de $6N$ dimensiones, este espacio recibe el nombre de espacio de fases. El *ensamble* será un conjunto de puntos en el espacio de fases. La DM genera estos puntos y los conecta en el tiempo, entre más puntos o réplicas del sistema hay, el muestreo del espacio fase será más amplio y con mayor valor estadístico⁶³.

En termodinámica clásica podemos clasificar al sistema de estudio de tres formas distintas: abierto, cerrado y aislado. En termodinámica estadística se utilizan ensambles equivalentes: los sistemas abierto, cerrado y aislado corresponden al ensamble gran canónico ($VT\mu$), ensamble canónico (NVT) y ensamble microcanónico (NVE), respectivamente⁶⁴.

Por lo general, la DM utiliza un ensamble *microcanónico* en el que un número N de partículas, el volumen y la energía total de las partículas permanece constante durante la trayectoria. Este ensamble es el más importante para validar que, tanto la energía como las fuerzas estén implementadas correctamente en los códigos de simulación. En DM se utilizan celdas de simulación, que son la región del espacio donde localizamos los átomos y el volumen de la celda es igual al volumen ocupado por las partículas. Un sistema termodinámico tiene un valor “preciso” de energía total; con la que se genera una trayectoria en el espacio de fases restringida por una hiper-superficie. Cada *microestado* con N átomos tiene asociado un rango de energía total,

la cual permitirá generar una trayectoria restringida en una híper-capa de la híper-superficie. La energía total permanece constante, pero las contribuciones de energía cinética y potencial tendrán fluctuaciones porque se recorre la híper-capa en un rango de energía específico.

El ensamble canónico tiene dos características similares con el ensamble microcanónico, número de partículas y volumen constante; la diferencia es que se mantiene la temperatura promedio constante durante la trayectoria de simulación. La manera de poder hacer esto es igual que en un experimento de laboratorio, usando un termostato, en DM los termostatos son numéricos.

La energía cinética *promedio* de las partículas es la que ésta ligada con la temperatura instantánea (T_k) del sistema mediante la siguiente ecuación:

$$T(t) = \sum_{i=1}^N \frac{m_i v_i^2(t)}{k_B N} \quad (2)$$

Donde m_i es la masa de la partícula i , k_B es la constante de Boltzmann y V_i es la velocidad de cada partícula^{60,65}. La forma en que el termostato actúa sobre el sistema de interés es mediante colisiones aleatorias (método propuesto por Andersen). Se considera que el sistema está inmerso en un reservorio de calor, los átomos experimentan colisiones con el reservorio, por lo tanto, se cambian las velocidades que origina un valor de T_k . Esto se traduce en mantener una distribución de velocidades tipo Boltzmann asociada a la temperatura del macroestado ($T = \langle T_k \rangle$), la T_k fluctúa durante la trayectoria con varianza relativa de $\frac{2}{3N}$ ⁶⁰.

3.1.2. Ecuaciones de movimiento y algoritmo de integración

La DM genera una trayectoria de réplicas del sistema conectadas en el tiempo. En cada punto de la trayectoria especifica la posición, velocidad y aceleración de cada

átomo. El desplazamiento de las partículas del sistema obedece las leyes clásicas del movimiento, las leyes de Newton. Con ellas se calculan las posiciones, velocidades y aceleraciones de cada partícula en cada instante de la trayectoria.

La DM se inicia con la solución de la segunda ley de movimiento, que es una ecuación diferencial de segundo orden^{64,66}:

$$\mathbf{F}_i = m_i \frac{d^2 \mathbf{r}_i}{dt^2} = m_i \mathbf{a}_i \quad (3)$$

La masa m_i es constante para cada tipo de partículas; la fuerza se calcula a partir del gradiente de la energía potencial que solo depende de las posiciones atómicas⁶⁷ (ver ecuación 4).

$$\mathbf{F}_i(\mathbf{r}_1, \mathbf{r}_2, \dots, \mathbf{r}_N) = \nabla_i U(\mathbf{r}_1, \mathbf{r}_2, \dots, \mathbf{r}_N) = \frac{\partial U(\mathbf{r}_1, \mathbf{r}_2, \dots, \mathbf{r}_N)}{\partial \mathbf{r}_i} \quad (4)$$

Una solución práctica de la ecuación diferencial se ha hecho por medio de la aproximación de diferencia finita, es decir, los elementos diferenciales $\left(\frac{dr}{dt}\right)$ se aproximan a deltas $\left(\frac{\Delta r}{\Delta t}\right)$. La ecuación se resuelve paso a paso, procurando obtener con suficiente grado de exactitud las posiciones, velocidades y aceleraciones en un tiempo $t + \Delta t$. Por lo tanto, Δt , debe ser lo suficientemente pequeño para reproducir el movimiento más rápido que sucede en el sistema, por ejemplo, la vibración del enlace O-H la cual es del orden de femtosegundos⁶³.

La solución discreta de las ecuaciones de movimiento se hace empleando algoritmos que calculan posiciones, velocidades y aceleraciones para N partículas del sistema. Comúnmente se utiliza el algoritmo de Velocidades de Verlet (AVV)⁶⁴, que se explica a continuación.

- Algoritmo de Velocidades de Verlet

Este algoritmo calcula posiciones y aceleraciones en un paso con tamaño igual a Δt y las velocidades en dos pasos, tomando para cada uno la mitad de Δt . Por ejemplo, en el tiempo $t = 0$, se dan posiciones y velocidades para todos los átomos. Con las posiciones se calculan las fuerzas asignadas a cada átomo utilizando la ecuación 4, a partir de esto, se calculan las aceleraciones de todas las partículas utilizando la expresión 3. En este punto inicial, se conocen los valores de las variables (r, v, a y F) para poder integrar las ecuaciones de movimiento.

El AVV establece que primero se calculan las posiciones en el tiempo $t + \Delta t$ con la ecuación 5 y con la expresión 6 se calculan las velocidades en la mitad del tamaño de paso y conociendo las posiciones en el paso $t + \Delta t$, se calculan las fuerzas con la ecuación 4 y, con ello se conocen las nuevas aceleraciones para el mismo tiempo, empleando la segunda ley de movimiento (ecuación 3).

$$\mathbf{r}_i(t + \Delta t) = \mathbf{r}_i(t) + \Delta t \mathbf{v}_i(t) + \frac{1}{2} \Delta t^2 \mathbf{a}_i(t) \quad (5)$$

$$\mathbf{v}_i\left(t + \frac{\Delta t}{2}\right) = \mathbf{v}_i(t) + \frac{1}{2} \Delta t \mathbf{a}_i(t) \quad (6)$$

Hecho lo anterior, solo faltaría calcular las velocidades para el tamaño de paso completo, que se logra utilizando la ecuación 7, porque es necesario conocer antes la aceleración en el tiempo $t + \Delta t$, que se calculó en el paso anterior.

$$\mathbf{v}_i(t + \Delta t) = \mathbf{v}_i\left(t + \frac{\Delta t}{2}\right) + \frac{1}{2} \Delta t \mathbf{a}_i(t + \Delta t) \quad (7)$$

Ahora, se conocen los valores de las posiciones, aceleraciones y velocidades a un paso completo después del tiempo t . Entonces, estas cantidades serán los valores nuevos de inicio y se repite el AVV hasta el tiempo requerido de simulación.

- Algoritmo *Rattle* y *Shake*.

Este algoritmo involucra restricciones de tipo holonómicas, es decir, únicamente aquellas que dependen de las posiciones y no de las velocidades^{64,67,68}. Por ejemplo, para la restricción k -ésima, que depende de las posiciones de los átomos involucrados en dicha restricción, estará definida de la siguiente manera:

$$\sigma_k(\mathbf{r}_1, \dots, \mathbf{r}_N) = 0 \quad k = 1, \dots, N_{\text{restricciones}} \quad (8)$$

Así, la segunda ley de movimiento, ecuación 3, está afectada por la suma del producto de una constante (λ_k) por el gradiente de cada restricción que involucra al átomo i , como en la ecuación 9.

$$m_i \mathbf{a}_i = \mathbf{F}_i + \sum_{k=1}^{N_r} \lambda_k \nabla_i \sigma_k \quad (9)$$

El problema del segundo factor de la ecuación anterior es que el conjunto de factores λ_k , son multiplicadores indeterminados de Lagrange y las ecuaciones del AVV están incompletas. Por ejemplo, la ecuación 5 se transforma en la ecuación 10, donde \mathbf{r}'_i corresponde a la posición calculada como en el AVV.

$$\mathbf{r}_i(t + \Delta t) = \mathbf{r}'_i + \sum_{k=1}^{N_r} \frac{\Delta t^2}{2m_i} \lambda_k \nabla_i \sigma_k \quad (10)$$

Por ejemplo, para una molécula diatómica con una longitud de enlace constante e igual a a solo hay una restricción ($\sigma_1 = \sigma$) y debe satisfacer la igualdad $\sigma = a^2 - \|\mathbf{r}_j - \mathbf{r}_i\|^2 = 0$. Por lo tanto, solo hay un multiplicador indeterminado y de la condición $\sigma = 0$ se obtiene la siguiente ecuación cuadrática.

$$\left(\frac{\mathbf{r}'_{ji}\Delta t}{m_{red,ij}}\right)^2 \lambda^2 - \frac{2(\mathbf{r}'_{ji})^2(\Delta t)^2}{m_{red,ij}} \lambda - (\mathbf{r}'_{ji})^2 + a^2 = 0 \quad (11)$$

Con la solución de la ecuación anterior, se obtiene el multiplicador λ y, por ende, la posición de los átomos de la molécula diatómica en el tiempo $t + \Delta t$. A este algoritmo iterativo se le conoce como *Shake* (AS). Se evalúa la distancia y si la diferencia con la restricción es menor a un valor umbral, usualmente 1×10^{-8} , se acepta. Si no, se utilizan las nuevas posiciones como posiciones obtenidas con el AVV y se lleva a cabo el AS hasta su convergencia.

Después de obtener las nuevas posiciones con el AS, se calculan las fuerzas en el tiempo $t + \Delta t$ y, las velocidades en la mitad del paso se calculan utilizando los multiplicadores encontrados, ver ecuación 12.

$$\mathbf{v}_i(t + \frac{\Delta t}{2}) = \mathbf{v}'_i + \sum_{k=1}^{N_r} \frac{\Delta t}{2m_i} \lambda_k \nabla_i \sigma_k \quad (12)$$

El algoritmo *Rattle* (AR) afecta el cálculo de las velocidades en el paso completo, es iterativo porque es necesario satisfacer la condición 13 y, por lo tanto, se debe encontrar un nuevo conjunto de multiplicadores indeterminados de Lagrange (μ_k), para obtener las velocidades finales aplicando la ecuación 14.

$$\sum_{i=1}^N \nabla_i \sigma_k(t + \Delta t) \cdot \mathbf{v}_i(t + \Delta t) = 0 \quad (13)$$

$$\mathbf{v}_i(t + \Delta t) = \mathbf{v}_i\left(t + \frac{\Delta t}{2}\right) + \frac{\Delta t}{2m_i} \mathbf{F}_i(\Delta t) + \frac{\Delta t}{2m_i} \sum_{k=1}^{N_r} \mu_k \nabla_i \sigma_k(\Delta t) \quad (14)$$

Con la condición 13, en el caso de la molécula diatómica, se obtiene una expresión lineal con la forma de la ecuación 15, que depende de las posiciones en el paso completo y de los dos primeros términos de la ecuación 14.

$$\mu_1 = \frac{m_{red,ij}[\mathbf{r}_{ji}(t + \Delta t) \cdot \mathbf{v}'_j - \mathbf{r}_{ji}(t + \Delta t) \cdot \mathbf{v}'_i]}{\Delta t[\mathbf{r}_{ji}(t + \Delta t)]^2} \quad (15)$$

El AVV modificado, algoritmo *Rattle* y *Shake*, se utiliza en cada paso de integración y debe satisfacer las condiciones de cada restricción. Por lo tanto, es un algoritmo más caro, porque en cada paso se calculan los dos conjuntos de multiplicadores indeterminados en forma iterativa y auto-consistente.

En la ecuación 4, se hace referencia que la fuerza se calcula a partir de una función conocida como *función de energía potencial*, esa expresión indica la forma en que interaccionan los átomos del sistema de estudio y su valor en un instante dado depende de las posiciones como se explica en la siguiente sección.

3.1.3 Potenciales clásicos

En DM el cálculo de la energía potencial es la rutina que consume el mayor tiempo de cómputo. Es considerada como la parte más importante en una simulación, ya que toda la física del sistema de estudio se encuentra en la forma en la que esta energía es modelada. Estudiar la naturaleza con un modelo cuántico requiere de la ecuación de Shrödinger, porque su solución contiene toda la información del macroestado (ver ecuación 16).

$$H\psi(R, r) = E\psi(R, r) \quad (16)$$

En la expresión 16, R corresponde a las coordenadas nucleares y r al conjunto de coordenadas electrónicas. En sistemas con más de un electrón, la ecuación 16 solo

tiene solución utilizando la aproximación adiabática en la que se separan los movimientos acoplados entre núcleos y electrones, porque la contribución cinética del movimiento de un electrón al hamiltoniano del sistema es 1836 veces más grande que la de un protón. Entonces, se considera que los núcleos están en reposo y la energía asociada a los electrones es una función de las distancias entre núcleos, es decir, representa la energía potencial para el movimiento relativo nuclear⁶⁹.

Una de las aproximaciones adiabáticas más usada es la propuesta por Born-Oppenheimer, la cual propone que, en la función de onda del sistema, los estados electrónicos corresponden a un conjunto de estados nucleares, por lo que la energía potencial recibe el nombre de *potencial de interacción molecular* y con ello, es posible calcular la energía como función de las posiciones de los núcleos atómicos.

En mecánica molecular, la energía potencial es descrita con modelos representados por funciones analíticas cuya evaluación que requieren menor costo computacional que los modelos cuánticos y, que son capaces de reproducir la energía del grado de libertad de interés cerca de la región de equilibrio, porque están parametrizadas para ello. Entre los modelos de potencial más usados se encuentran: el potencial armónico, el de Lennard-Jones, el de Coulomb, el de torsión, entre otros. La forma analítica, para describir las interacciones, se ajusta a la suma de potenciales intra- e intermoleculares que describen la física de un sistema y la ecuación 17 es un ejemplo de ello^{61,63,70}:

$$V = V_{enlace} + V_{ángulo} + V_{diedros} + V_{vdW} + V_{electrostático} \quad (17)$$

3.1.3.1 Interacciones de enlace

Los primeros dos términos de la ecuación 17 corresponden a las interacciones intramoleculares, su evaluación da como resultado la energía necesaria para estirar o comprimir un enlace y acercar o alejar dos enlaces con un átomo en común. Únicamente se describirán estas contribuciones ya que la especie molecular, de

interés en el proyecto, no tienen más contribuciones a la interacción intramolecular, por ejemplo, la energía asociada a un ángulo diedro.

- Estiramiento de enlace

En mecánica molecular, el comportamiento de una vibración de enlace se puede describir con un potencial armónico (expresión semejante a la ley de Hooke). Al considerarse el estiramiento del enlace como un movimiento elástico se necesitan: un valor mínimo de enlace, l_o , y una constante de estiramiento, k_l , (ver ecuación 18) que son específicos para cada tipo de enlace y para cada especie atómica.

$$V_{enlace,ij} = \frac{1}{2}k_l(l_{ij} - l_o)^2 \quad (18)$$

En una dimensión (por ejemplo x), la ecuación 18 produce una fuerza de magnitud igual a la expresión 19; las coordenadas de los pares i y j , generan una distancia l , tal que $l_{ij} = \sqrt{(x_j - x_i)^2 + (y_j - y_i)^2 + (z_j - z_i)^2}$. La fuerza depende del potencial y este a su vez depende de la distancia l . Obtener la componente de la fuerza para la partícula i , requiere utilizar la regla de la cadena. El primer término de la expresión 19 corresponde a la derivada del potencial con respecto a la distancia y, el segundo a la derivada de la distancia con respecto a la componente de interés, por ejemplo, x . La siguiente expresión es la misma para calcular la fuerza de la partícula j en la misma componente, pero con signo contrario. Entonces, solo se necesita calcular una vez por cada componente y par atómico, por ejemplo, $F_{x,j} = -F_{x,i}$.

$$F_{x,i} = -\frac{\partial V_{enlace,ij}}{\partial l_{ij}} \frac{\partial l_{ij}}{\partial x_i} = k_l(l_{ij} - l_o) \frac{x_j - x_i}{l_{ij}} \quad (19)$$

La expresión anterior funciona para las componentes restantes, y y z . Existen otras expresiones para describir el enlace de dos átomos que pueden reproducir las características anarmónicas del mismo, por ejemplo, el potencial de Morse⁶⁹.

- Ángulo de enlace

La expresión 20 se utiliza en el cálculo de la energía necesaria para acercar o alejar dos enlaces que comparten un átomo, θ_{ijk} . La interacción es proporcional al cuadrado de la diferencia entre el ángulo formado y el ángulo de mínima energía. Al igual que en la ecuación 18, la constante de proporcionalidad y el valor mínimo del ángulo son específicos para cada tipo de triada de átomos.

$$V_{\text{ángulo}} = \frac{1}{2}k_{\theta}(\theta_{ijk} - \theta_o)^2 \quad (20)$$

La fuerza calculada de este potencial es más complicada que la anterior, porque el ángulo depende de los vectores de posición de las partículas i, j y k . La ecuación 21 relaciona el coseno del ángulo con los vectores de posición, donde $\mathbf{r}_{ij} = \mathbf{r}_i - \mathbf{r}_j$.

$$\cos(\theta_{ijk}) = \frac{\mathbf{r}_{ij} \cdot \mathbf{r}_{kj}}{\|\mathbf{r}_{ij}\| \|\mathbf{r}_{kj}\|} \quad (21)$$

La fuerza se obtiene con la expresión 22 en que el potencial se deriva respecto al ángulo y para obtener la derivada del ángulo con respecto a las componentes, es necesario derivar el coseno con la regla de la cadena como se muestra en la ecuación 23.

$$F_{x,i} = -\frac{\partial V_{\text{ángulo},ijk}}{\partial \theta_{ijk}} \frac{\partial \theta_{ijk}}{\partial x_i} \quad (22)$$

$$F_{x,i} = -\frac{\partial V_{\text{ángulo},ijk}}{\partial \theta_{ijk}} \frac{\partial \cos(\theta_{ijk})}{\partial x_i} = \frac{\partial V_{\text{ángulo},ijk}}{\partial \theta_{ijk}} \frac{\sin(\theta_{ijk})}{\partial x_i} \frac{\partial \theta_{ijk}}{\partial x_i} \quad (23)$$

La componente x de la fuerza para las partículas i, j y k tienen la forma como las ecuaciones 24, 26 y 25, respectivamente.

$$F_{x,i} = k_{\theta}(\theta_{ijk} - \theta_o) \frac{1}{\sin(\theta_{ijk})} \left(\frac{x_j - x_k}{\|r_{ij}\| \|r_{kj}\|} - \cos(\theta_{ijk}) \frac{x_i - x_j}{\|r_{ij}\|^2} \right) \quad (24)$$

$$F_{x,k} = k_{\theta}(\theta_{ijk} - \theta_o) \frac{1}{\sin(\theta_{ijk})} \left(\frac{x_j - x_k}{\|r_{ij}\| \|r_{kj}\|} - \cos(\theta_{ijk}) \frac{x_j - x_k}{\|r_{kj}\|^2} \right) \quad (25)$$

$$F_{x,j} = -F_{x,i} - F_{x,k} \quad (26)$$

3.1.3.2 Interacciones no enlazantes

Átomos de moléculas independientes interactúan entre sí mediante fuerzas no covalentes. Este tipo de interacciones son tratadas como función de la distancia y las más comunes son de dos tipos: 1) las interacciones de corto alcance o interacciones tipo van der Waals y 2) las interacciones electrostáticas o de largo alcance. Con ellas se intenta aproximar el comportamiento asociado a la interacción entre densidades electrónicas. Dependiendo el campo de fuerzas, existen diferentes formas para hacerlo (ver la sección 3.2.2 y la sección 3.2.3).

- Interacción electrostática

El modelo más simple de potencial electrostático requiere de cargas atómicas puntuales y es el potencial de Coulomb. Dichas cargas son obtenidas por medio de cálculos cuánticos (MP2/6-311+G**) y son las que reproducen el potencial electrostático de la molécula o del fragmento de ella⁷¹. Un ejemplo de metodología es la propuesta por Mulliken, llamado análisis poblacional⁵⁹. En la ecuación 27 se observa que el potencial electrostático depende del inverso de la distancia entre el átomo i y el j .

$$V_{electrostático} = \frac{1}{4\pi\epsilon_o} \sum_{i=1}^{N_A} \sum_{j=1}^{N_B} \frac{q_i q_j}{r_{ij}} \quad (27)$$

Donde A y B son moléculas, N_A y N_B son los números de cargas puntuales, r_{ij} es la distancia entre las dos cargas y q_i y q_j son las cargas puntuales.

El inconveniente de este potencial es que decae muy lentamente con la distancia. La solución a este problema es la metodología propuesta por Ewald⁶⁰, donde se transforma una serie lenta a la suma de dos series que convergen rápidamente. Las sumas de Ewald están compuestas por la suma del espacio real (directo), el espacio recíproco (espacio de Fourier) y la auto-energía.

$$V_{electrostático} = V_{directo} + V_{recíproco} + V_{auto-energía} \quad (28)$$

Ewald propuso escribir el potencial original de Coulomb en términos de la función de error ($V_{recíproco}$), que converge rápidamente con la transformada de Fourier y, la función de error complementaria ($V_{directo}$) más la constante de auto-energía, como en la ecuación 29.

$$V_{Ewald} = \frac{1}{2} \sum_{i \neq j}^N \frac{q_i q_j \operatorname{erfc}(\sqrt{\alpha} r_{ij})}{r_{ij}} + \frac{1}{2V} \sum_{\mathbf{k} \neq 0}^N \frac{4\pi}{k^2} \|p(\mathbf{k})\|^2 e^{-\left(\frac{k^2}{4\alpha}\right)} - \sqrt{\frac{\alpha}{\pi}} \sum_{i=1}^N q_i^2 \quad (29)$$

Por un lado, la ecuación anterior es una solución al cálculo del potencial electrostático de manera más exacta, pero el costo computacional crece como N^2 , donde N es el número de átomos. Una forma de disminuir el tiempo de cómputo es la elección de un valor óptimo de α y con ello reducir a $N^{3/2}$. Sin embargo, un valor grande de α evita considerar en la suma directa a todas aquellas partículas que están más allá de un radio de corte (ver sección 3.1.4)⁷².

Si se restringe el número de átomos considerados en la suma del espacio real, entonces la suma recíproca no se calcula directamente, es decir, las partículas cargadas se distribuyen en una malla tridimensional y la energía se aproxima a una

interpolación utilizando β -splines de quinto orden. El potencial se calcula con una convolución y se evalúa con la transformada rápida de Fourier, por lo tanto, el tiempo requerido se reduce a $N \log N$ y este método más barato computacionalmente, recibe el nombre de *Particle Mesh Ewald*, PME⁷³.

- Interacción de van der Waals

Las interacciones de corto alcance pueden calcularse mediante el potencial de Lennard-Jones 12-6 que tiene la siguiente forma:

$$V_{vdW} = 4\varepsilon_{ij} \left[\left(\frac{\sigma_{ij}}{r_{ij}} \right)^{12} - \left(\frac{\sigma_{ij}}{r_{ij}} \right)^6 \right] \quad (30)$$

En la ecuación anterior, σ es el diámetro de colisión donde la energía es igual a cero; ε es la profundidad de la curva de energía potencial y el 4 es la constante de proporcionalidad que se deriva de las potencias 12-6. La componente repulsiva está representada con el término de exponente 12 y la componente atractiva con el término de exponente 6. En un campo de fuerzas, se especifican los valores de sigma y épsilon para cada especie atómica, pero en especies diferentes, se utilizan reglas de combinación de parámetros. La regla más usada es la de Lorentz-Berthelot, así el valor de σ_{ij} está definido como la expresión 31 y el valor de ε_{ij} como la ecuación 32.

$$\sigma_{ij} = \frac{\sigma_i + \sigma_j}{2} \quad (31)$$

$$\varepsilon_{ij} = \sqrt{\varepsilon_i \varepsilon_j} \quad (32)$$

3.1.4 Condiciones periódicas a la frontera

En la simulación numérica un modelo realista necesita varios cientos de moléculas de disolvente. Eso lo convierte en un problema, porque la DM tendría un sistema de estudio infinito y la cantidad de memoria RAM necesaria para el cálculo supera la capacidad disponible. Los cálculos de la simulación se limitan a una región del espacio con dimensiones finitas, este espacio recibe el nombre de celda unitaria, funciona como una caja de simulación y generalmente tiene forma cúbica. La celda unitaria es muy parecida a la forma del sistema, así podemos encontrar celdas unitarias cúbicas, prismas hexagonales, primas cuadrangulares, octaedros, entre otras. La celda que contiene al sistema de interés se replica en todas las direcciones por sus propias imágenes (la primera vez son 26 réplicas en el espacio), entonces si alguna molécula abandona la celda será reemplazada por la molécula que abandona la celda en su imagen contraria, esto recibe el nombre de condiciones periódicas en la frontera, CPF (ver figura 1). Para evitar interacciones no permitidas entre moléculas durante la DM, es necesario considerar el concepto de *radio de corte*, esto es la distancia máxima en la cual un átomo en particular interactúa con átomos vecinos sin que lo haga con su propia imagen^{60,61,64}.

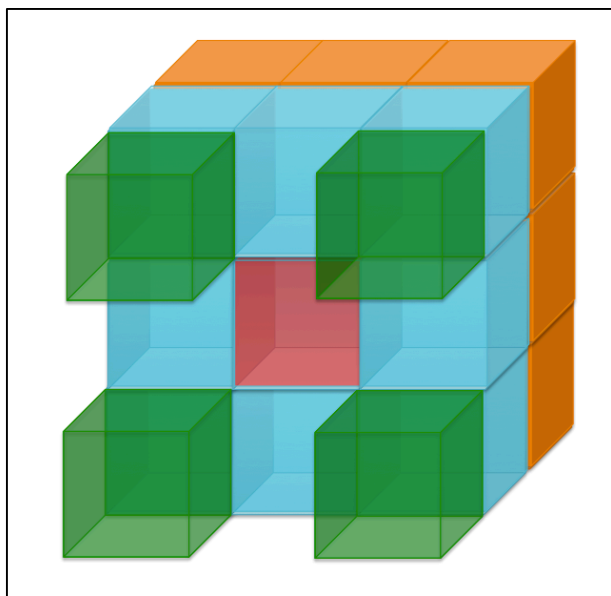


Figura 1 Condiciones periódicas a la frontera en 3 dimensiones, la celda unitaria está representada en color rojo y sus 26 imágenes en color verde, azul y naranja.

3.1.5 Etapas de la dinámica molecular

Los experimentos que se hacen en un laboratorio generalmente siguen los siguientes pasos: preparación de la muestra y equipo, llevar la muestra a las condiciones fisicoquímicas necesarias para hacer un buen análisis, desarrollar la técnica de experimentación, recolectar datos y obtener información del sistema. La DM necesita pasos análogos a un experimento: minimización, calentamiento, producción, equilibrio y análisis de la dinámica molecular^{57,59,64,70}.

- Minimización

La DM siempre requiere una geometría inicial del sistema de estudio y el arreglo de las moléculas, no siempre es el más favorable para el tipo de interacciones que dominan la física del macroestado. Por lo tanto, es necesario hacer una minimización de energía del sistema, donde se reacomoden las especies presentes para obtener un arreglo molecular de menor energía, es decir, que la geometría propuesta tenga propiedades instantáneas dentro del rango de las propiedades promedio.

- Calentamiento

Con la minimización del sistema, es tiempo de suministrar energía para que las moléculas comiencen a vibrar, rotar, trasladarse e interactuar a través del potencial utilizado. Una forma de proporcionar energía es asignando velocidades iniciales a cada átomo de la geometría inicial minimizada. Las velocidades pueden ser asignadas en dos formas: 1) todos los átomos inician con velocidad cero o 2), a cada átomo se le asigna una velocidad aleatoria que sigue una distribución tipo Maxwell-Boltzmann⁶⁷, como en la ecuación 33. Con la energía proporcionada al sistema, la propiedad temporal como la T_k , se acerca a las condiciones termodinámicas del ensamble.

$$f(\mathbf{v}) = \sqrt{\frac{m}{2\pi k_B T}} e^{-\frac{m\mathbf{v}^2}{2k_B T}} \quad (33)$$

- Producción

En esta etapa de la DM las propiedades temporales, descritas por una función de densidad $\rho(q, p; t)$, presentan fluctuaciones que, conforme aumenta la longitud de la trayectoria, tienden a ser parte del ensamble estacionario, es decir, que el sistema pasará a una fase de equilibrio.

- Equilibrio

Es la etapa más importante de la simulación numérica, porque el comportamiento estadístico del conjunto de átomos refleja propiedades medibles experimentalmente. La fase de equilibrio depende del tiempo de relajación del sistema, es decir, la convergencia para cada propiedad tiene tiempos específicos. Algunos indicadores de una simulación en equilibrio son: que la $\langle T_k \rangle$ del sistema sea la del macroestado y que las propiedades estructurales proporcionen la correcta distribución de moléculas.

- Análisis de la DM

La etapa de análisis implica que la trayectoria de la DM ha finalizado y el requisito principal, pero no el más importante, es contar con información suficiente de que el sistema ha alcanzado el equilibrio en la simulación. Los datos guardados de la simulación (posiciones, velocidades, momentos dipolares, energía total, energía cinética, energía potencial, temperatura, etc.) deberán ser procesados para obtener información de tipo estructural o dinámica⁶⁴.

3.2 Modelos de Agua

Estudiar el comportamiento de agua en la interfase líquido-sólido requiere de plantear modelos que permitan entender la estructura de solvatación de las moléculas de agua cerca de la interfase. En el bulto una molécula de agua es doblemente aceptora y donadora de enlaces de hidrógeno, pero en la interfase esta característica se pierde porque el número de vecinos es menor en comparación con el bulto, es decir, la estructura centro-simétrica se rompe.

Dentro de las múltiples opciones de modelos de agua disponibles en la literatura, elegimos uno parametrizado para reproducir propiedades experimentales y con una descripción de molécula rígida. La otra opción corresponde a un modelo de molécula flexible en el que las propiedades electrostáticas se reproducen a través de un desarrollo multipolar y en el que los parámetros estructurales y electrostáticos fueron ajustados para reproducir datos cuánticos y propiedades de las tres fases.

La elección del potencial de agua a utilizar se hace entre dos modelos con características diferentes: por un lado, tenemos el modelo TIP4P-FB⁵⁰ que es rígido y no polarizable, el cual se evaluó contra otros potenciales que tienen características similares y se ha demostrado que está parametrizado para reproducir propiedades experimentales⁷⁴. Por el otro, se escogió un modelo flexible y polarizable: el modelo iAMOEBA⁴⁸; este potencial ha demostrado que reproduce propiedades de la fase líquida, sólida y gas, además del diagrama de fases del agua. Además, se utilizó el modelo AMOEBA^{23,75} que, a diferencia de su versión económica (iAMOEBA), depende de una polarización mutua entre todas las moléculas (ver la sección 3.2.2). A continuación, son descritos los modelos de agua utilizados en este proyecto.

3.2.1 TIP4P-FB

El modelo de agua rígido de cuatro sitios, TIP4P desarrollado por Jorgensen *et al.*, considera cuatro partículas que interactúan: tres sitios representan a los átomos; dos átomos de hidrógeno, donde se colocan las cargas positivas, y el átomo de oxígeno, que es el único sitio de Lennard-Jones; el cuarto sitio (M) está en la bisectriz ($H - O - H$), cerca del centro de masas de la molécula, en éste se coloca la carga negativa³⁷. Desde su publicación en 1983, se han generado muchas versiones de este modelo. Cada versión de este potencial responde a un conjunto de propiedades a reproducir. En el caso del campo de fuerzas TIP4P/Ew⁶⁸, se utiliza la técnica de sumas de Ewald para el cálculo de la energía potencial electrostática (ver sección 3.1.3.2), por lo tanto, los parámetros originales ya no funcionan para reproducir propiedades, porque con la modificación, la energía electrostática tiene contribuciones más allá del radio de corte.

En el potencial TIP4P-2005⁷⁶, las propiedades objetivo fueron la temperatura de máxima densidad y la estabilidad del polimorfismo del hielo.

En 2011 Vega *et al.* evaluaron diferentes versiones en su capacidad de reproducir 17 propiedades, encontrando que TIP4P-2005 obtenía una calificación de 7.2/10⁷⁷. Ninguno de los modelos anteriores (TIP4P, TIP4P/Ew y TIP4P-2005) reproduce la constante dieléctrica estática, propiedad importante para simulaciones que incluyen biomoléculas o sistemas con iones²¹.

En 2014, empleando el método de parametrización sistemática (*Force Balance*, FB⁷⁸), se obtuvo un nuevo conjunto de parámetros que se conoce como TIP4P-FB⁵⁰. En la parametrización se escogieron diferentes propiedades objetivo de datos experimentales⁷⁹ y teóricos. Seis propiedades de la fase líquida: densidad, entalpía de vaporización, coeficiente de expansión térmica, compresibilidad isotérmica, capacidad calorífica isobárica y la constante dieléctrica estática; la densidad del hielo y, energías y fuerzas provenientes de cálculos cuánticos. En el proceso de optimización con FB se utilizaron, como datos iniciales, los tres juegos de parámetros de los potenciales TIP4P, TIP4P/Ew y TIP4P-2005, y se hizo una optimización para cada modelo. Las tres optimizaciones convergieron al mismo conjunto de parámetros con los que, a diferencia de los potenciales iniciales, se obtiene un valor de la constante dieléctrica estática cercano al valor experimental.

Por otra parte, también en ese año, Fuentes *et al.*⁸⁰ emplearon un método de parametrización no sistemático en el que la constante dieléctrica fue una de las propiedades objetivo. Se obtuvieron parámetros muy semejantes a los obtenidos con FB, con diferencias hasta el tercer decimal. La decisión de ocupar TIP4P-FB en lugar de TIP4P/ ϵ fue de orden práctico: ya estaba implementado en el programa para calcular trayectorias de DM (ver anexo 7.13).

En la tabla 1 y 2, para el modelo TIP4P-FB, se reportan los parámetros intra- e intermoleculares, respectivamente.

Distancia O-H [nm]	$\angle\theta_{HOH}$ [Grados]	Distancia O-M [nm]	Cte. de enlace $k_l \left[\frac{KJ}{nm^2mol} \right]$	Cte. de ángulo $k_\theta \left[\frac{KJ}{nm^2mol} \right]$
0.9572	104.52	0.01052	462750.4	836.8

Tabla 1 Parámetros intramoleculares del modelo TIP4P-FB.

q_o [e]	q_H [e]	q_M [e]	σ_o [nm]	$\epsilon_o \left[\frac{KJ}{mol} \right]$
0	0.5258	-1.0517	0.3165	0.7492

Tabla 2 Parámetros intermoleculares del modelo TIP4P-FB.

Los parámetros anteriores se utilizan para evaluar el potencial de interacción agua-agua considerando, en el potencial de L-J que el único par que contribuye a este término es el O – O.

3.2.2 AMOEBA

En 2003, Ren y Ponder propusieron un nuevo potencial clásico para agua, con éste se puede simular agua en diferentes ambientes, ya que el modelo es capaz de responder al campo eléctrico generado por el medio. El potencial recibe el nombre de AMOEBA (*Atomic Multipole Optimized Energetics for Biomolecular Applications*, por sus siglas en inglés)²³. En el año 2015, se utilizó el método de optimización sistemática FB para mejorar el conjunto de parámetros del modelo⁷⁵. Este es un modelo en el cual los grados de libertad estructurales de la molécula se consideran de manera explícita. Los 26 parámetros asociados a ello se ajustaron a resultados de cálculos *ab initio* de cúmulos de agua y datos experimentales de la fase líquida para un amplio rango de temperaturas. Uno de los atractivos de este modelo es el riguroso tratamiento del comportamiento electrostático de la molécula que se hace empleando un desarrollo multipolar. Además de asignar una carga puntual a cada centro atómico, se incorpora un dipolo, un cuadrupolo y la polarización se trata con dipolos atómicos inducidos en forma auto-consistente. Los parámetros de este desarrollo se ajustaron para reproducir los multipolos atómicos permanentes y la polarizabilidad dipolar atómica isotrópica.

AMOEBa consiste en potenciales anarmónicos para describir el enlace y el ángulo, a) y b), respectivamente; un término armónico para modelar el acoplamiento entre la geometría y las vibraciones, c); se utiliza el potencial de Halgren (*Buffered 14-7*) para modelar las interacciones de dispersión y repulsión, d)⁸¹, y el potencial electrostático con un desarrollo de momentos multipolares permanentes, e)⁸². Los multipolos se obtuvieron a partir del análisis de multipolos distribuidos a un nivel MP2/aug-cc-pVTZ utilizando la geometría experimental de una molécula de agua en la fase gas. La expresión analítica para la interacción entre moléculas de agua es la siguiente:

$$\begin{aligned}
 \text{a)} \quad V_{\text{enlace}} &= k_l (l_{ij} - l_o)^2 \left[1 - 2.55(l_{ij} - l_o) - 3.793125(l_{ij} - l_o)^2 \right] \\
 V_{\text{ángulo}} &= k_\theta (\theta_{ijk} - \theta_o)^2 \left[1 \right. \\
 \text{b)} \quad &- 0.014(\theta_{ijk} - \theta_o) + 5.5 \times 10^{-5}(\theta_{ijk} - \theta_o)^2 \\
 &- 7.0 \times 10^{-7}(\theta_{ijk} - \theta_o)^3 + 2.2 \times 10^{-8}(\theta_{ijk} - \theta_o)^4 \left. \right] \\
 \text{c)} \quad V_{\text{Urey-Bradley}} &= k_b (b_{ij} - b_o)^2 \tag{34} \\
 \text{d)} \quad V_{\text{Buff}} &= \varepsilon_{ij} \left(\frac{1 + \delta}{\frac{R_{ij}}{R_{ij}^0} + \delta} \right)^{n-m} \left(\frac{1 + \gamma}{\left(\frac{R_{ij}}{R_{ij}^0} \right)^m + \gamma} - 2 \right) \\
 \text{e)} \quad V_{\text{multipolar}} &= \frac{1}{4\pi\varepsilon_0} \left(\frac{Q_{\text{total}}}{r} + \frac{\boldsymbol{\mu}_{\text{total}} \cdot \hat{\mathbf{r}}}{r^2} + \frac{\Theta}{r^3} \right)
 \end{aligned}$$

En el d) de la expresión anterior, R_{ij}^0 es la distancia mínima para el par $i - j$; $n = 14$ y $m = 7$; $\delta = 0.07$ y $\gamma = 0.12$. Las reglas de combinación de los pares diferentes son como la ecuación 35 y 36, porque a diferencia del modelo TIP4P-FB, en el modelo AMOEBa los tres pares atómicos contribuyen al potencial de vdW.

$$R_{ij}^0 = \frac{(R_{ii}^0)^3 + (R_{jj}^0)^3}{(R_{ii}^0)^2 + (R_{jj}^0)^2} \quad (35)$$

$$\varepsilon_{ij} = \frac{4\varepsilon_{ii}\varepsilon_{jj}}{(\varepsilon_{ii}^{1/2} + \varepsilon_{jj}^{1/2})^2} \quad (36)$$

- Polarización

La polarización se trata a través de la inducción mutua de los dipolos en cada átomo, es decir la generación de dipolos inducidos. Las polarizabilidades atómicas se ajustan a las moleculares mediante un modelo no aditivo, es decir, la **polarización mutua** se lleva a cabo entre todos los sitios atómicos, a diferencia del modelo aditivo, donde la contribución proviene de aquellos sitios que no pertenecen a una misma molécula, llamada **polarización directa**.

El dipolo inducido total, que se menciona en el párrafo anterior, es proporcional al campo generado por el medio multiplicado por la constante de polarización, ver ecuación 37. El campo eléctrico total tiene dos contribuciones: 1) el campo generado por todos los momentos multipolares permanentes de los sitios de otras moléculas que, actúan en el átomo i y generan un dipolo inducido directo y, 2) la contribución de dipolos inducidos de todos los sitios, excepto el de interés, que generan dipolos mutuamente inducidos.

$$\mu_i^{ind} = \alpha E_{medio} = \alpha(E_{directo} + E_{mutuo}) \quad (37)$$

El cálculo de la polarización auto-consistente (dipolo mutuamente inducido) es iterativa y el criterio de convergencia consiste en que, los dipolos inducidos no induzcan otro más allá de 10^{-5} Debye.

A continuación, se reportan los parámetros inter- e intramoleculares del modelo AMOEBA:

Parámetro	Unidad	Valor
q_O	e	-0.51966
μ_z^O	e bohr	0.14279
θ_{xx}^O	e bohr ²	0.37928
θ_{yy}^O	e bohr ²	0.41809
θ_{zz}^O	e bohr ²	0.03881
q_H	e	0.25983
μ_x^H	e bohr	-0.03859
μ_z^H	e bohr	-0.05818
θ_{xx}^H	e bohr ²	-0.03673
θ_{yy}^H	e bohr ²	-0.10739
θ_{xz}^H	e bohr ²	-0.00203
θ_{zz}^H	e bohr ²	0.14412
α_O	Å ³	0.837
α_H	Å ³	0.496
Factor de amortiguamiento	Å	0.39
R_O^0	Å	3.405
ϵ_O	kcal/mol	0.11
R_H^0	Å	2.655
ϵ_H	kcal/mol	0.0135
Factor de reducción H vdW	-	0.91
l_{O-H}^0	Å	0.9572
k_l^{O-H}	kcal/mol/Å ²	556.85
θ_{HOH}^0	Grados	108.5
k_θ^{HOH}	kcal/mol/rad ²	48.7
b_{H-H}^0	Å	1.5326
k_b^{H-H}	kcal/mol/Å ²	-7.6

Tabla 3 Parámetros de interacción del modelo AMOEBA-2013⁸³

3.2.3 iAMOEBA

A fin de disminuir el costo computacional que un modelo como AMOEBA tiene, se buscó describir la aproximación a la densidad electrónica mediante una polarizabilidad directa, donde los dipolos inducidos son generados únicamente por los momentos multipolares permanentes y el par O – O es el único que contribuye al potencial de vdW. Esta versión, económica computacionalmente, del modelo AMOEBA se llamó *inexpensive AMOEBA (iAMOEBA por sus siglas en inglés)*⁴⁸.

Los parámetros se obtuvieron con el método FB y a continuación se muestran en la siguiente tabla:

Parámetro	Unidad	Valor
q_O	e	-0.59402
μ_z^O	e bohr	0.08848
θ_{xx}^O	e bohr ²	0.22618
θ_{yy}^O	e bohr ²	-0.32244
θ_{zz}^O	e bohr ²	0.09626
q_H	e	0.29701
μ_x^H	e bohr	-0.09391
μ_z^H	e bohr	-0.12560
θ_{xx}^H	e bohr ²	0.18754
θ_{yy}^H	e bohr ²	0.02174
θ_{xz}^H	e bohr ²	-0.03635
θ_{zz}^H	e bohr ²	-0.20928
α_O	Å ³	0.80636
α_H	Å ³	0.50484
Factor de amortiguamiento	Å	0.23616
R_O^0	Å	3.6453
ϵ_O	kcal/mol	0.19682
R_H^0	Å	0
ϵ_H	kcal/mol	0
Factor de reducción H vdW	-	0
l_{O-H}^0	Å	0.9584
k_l^{O-H}	kcal/mol/Å ²	557.63
θ_{HOH}^0	Grados	106.48
k_θ^{HOH}	kcal/mol/rad ²	49.9
b_{H-H}^0	Å	1.5357
k_b^{H-H}	kcal/mol/Å ²	-10.31

Tabla 4 Parámetros del potencial de interacción iAMOEBA.

Los tres modelos de agua están implementados en OpenMM y sus archivos de parámetros son el anexo 7.13 (TIP4P-FB), 7.14 (AMOEBA) y 7.15 (iAMOEBA).

3.3 Modelos de Superficie

De acuerdo con la metodología propuesta por Lee *et al.* de utilizar superficies continuas para simular la interacción agua-sólido³² y, la forma funcional del potencial propuesto por Spohr³⁹; se proponen los siguientes tres potenciales de interacción entre superficies sin estructura y el agua. Cada superficie se diferencia por tener carácter hidrofóbico, hidrofílico o cargada eléctricamente.

3.3.1 Superficie Hidrofóbica y Superficie Hidrofílica

La energía de adsorción de agua en Pt se obtuvo de datos experimentales³⁹ y se ajustó a funciones exponenciales que dependen de la coordenada y para reproducir la hidratación hidrofílica. La forma del potencial hidrofóbico es solo la parte repulsiva de la curva de la energía de adsorción.

El potencial agua-superficie, ver ecuación 38, viene de sumar el potencial oxígeno-superficie, V_{O-s} , más el hidrógeno-superficie, V_{H-s} :

$$V_{w-s} = V_{O-s} + V_{H_1-s} + V_{H_2-s} \quad (38)$$

donde los potenciales individuales para oxígeno e hidrógeno en la superficie hidrofóbica tienen la siguiente forma analítica, ecuación 39, que depende de la coordenada en el eje Y :

$$V_{O-s} = V_{H-s} = Ae^{-By} + Ce^{-Dy} + Fe^{-Gy} \quad (39)$$

y, para la superficie hidrofílica son las expresiones 40 y 41, respectivamente.

$$V_{O-s} = A_oe^{-B_oy} - C_oe^{-D_oy} + F_oe^{-G_oy} \quad (40)$$

$$V_{H-s} = A_He^{-B_Hy} - C_He^{-D_Hy} + F_He^{-G_Hy} \quad (41)$$

Los coeficientes de los potenciales individuales para cada tipo de superficie, hidrofóbica e hidrofílica, son reportados en la siguiente tabla.

Átomo	Parámetro	Superficie Hidrofóbica	Superficie Hidrofílica
		[kJ/mol]	[kJ/mol]
O	A	126763	-152785
	B	88.7494	94.7616
	C	-119802	-35653400
	D	89.3316	100.7009
	F	128810	-438.194
	G	88.7093	15.1075
	<hr/>		
H	A	126763	126763
	B	88.7494	88.7494
	C	-119802	-119802
	D	89.3316	89.3316
	F	128810	128810
	G	88.7093	88.7093

Tabla 5 Parámetros de las funciones del potencial de interacción entre el agua y los dos tipos de superficies: hidrofóbica e hidrofílica.

A continuación se muestran, para los dos tipos de superficies, la forma del potencial con los parámetros de la tabla anterior.

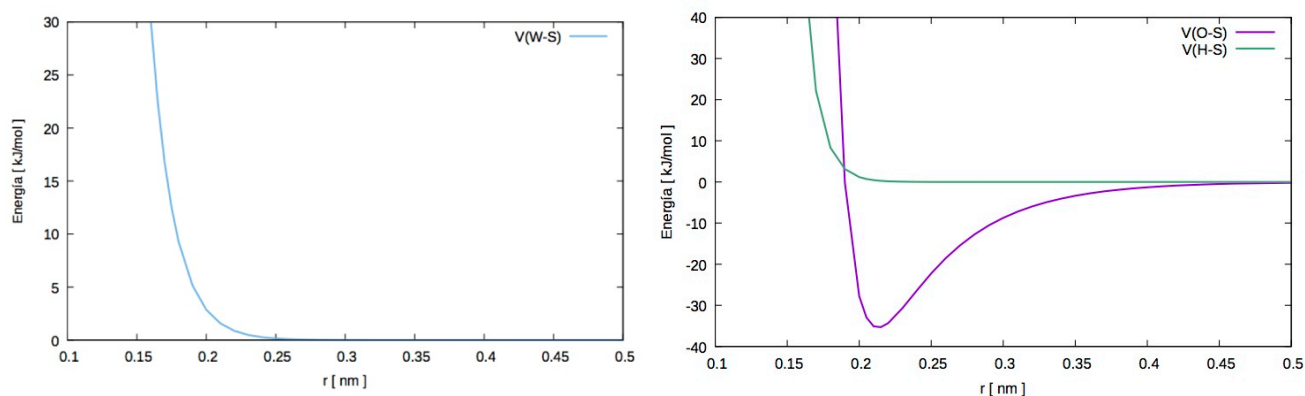


Figura 2 La superficie de energía potencial de interacción (SEPI) de los dos tipos de hidratación, en el lado izquierdo, la superficie hidrofóbica y en el lado derecho, la superficie hidrofílica. En este análisis, la SEPI representa una superficie sin estructura de Pt con una energía de adsorción de 35 kJ/mol.

3.3.2 Superficie Cargada Eléctricamente

En electroquímica se sabe que las reacciones ocurren en la superficie del electrodo, para ello, las especies moleculares deben viajar del seno de la disolución a la región interfacial, a este fenómeno se le llama transporte¹⁰ y está dominado por un potencial externo aplicado al sistema, el cual recibe el nombre de potencial de Volta (**V**) y depende explícitamente de la posición de los átomos¹. En el proceso de carga de un material, se aplica una diferencia de potencial (potencial de volta, **V**); el potencial externo genera dos regiones con cargas opuestas y de igual magnitud, que dependen de la distancia de separación y la corriente eléctrica utilizada. Aplicar un potencial a dos superficies planas paralelas con área y distancia de separación conocida, origina una densidad uniforme de carga superficial (σ). A partir de la ley de Gauss se determina el campo eléctrico (**E**) generado por las dos láminas planas infinitas; la dirección del campo es perpendicular al plano y su magnitud es $\|E\| = \frac{\sigma}{\epsilon_0}$ ^{84,85}. La expresión del potencial eléctrico (*V*) se obtiene a partir del campo ($E = -\nabla V$), por lo que la energía potencial tiene la siguiente forma $U = -\frac{q\sigma y}{\epsilon_0}$.

La energía potencial oxígeno-superficies se obtiene de la expresión 42, donde la coordenada *Y* está en nm:

$$V_{O-s} = \frac{(6.022 \times 10^{20}) V_{volta} q_O (l_y - y)}{2l_y} \quad (42)$$

De la expresión anterior, l_y es la distancia de separación entre las superficies (en nm), V_{volta} , es la diferencia de potencial aplicado a las placas paralelas en el experimento y q_O , es la carga puntual del oxígeno, que depende del modelo de agua utilizado (ver sección 3.2). En el caso de hidrógenos, solo cambia la magnitud de la carga y el potencial total será expresado como la ecuación 38.

A continuación, se muestran las gráficas de la energía potencial entre oxígenos e hidrógenos con las superficies cargadas eléctricamente.

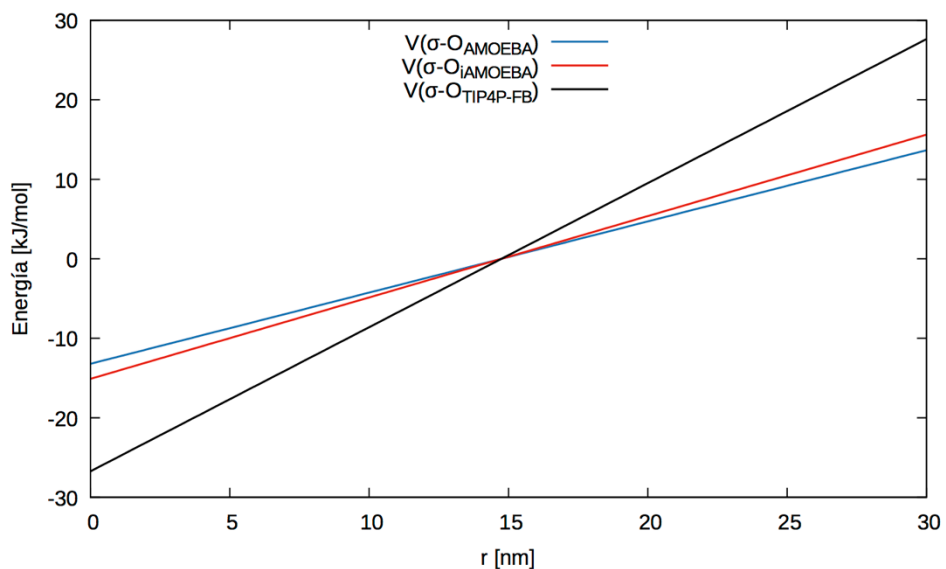


Figura 3 Superficie de energía potencial entre el oxígeno y las superficies cargadas. El plano con densidad de carga positiva está colocado en $y = 0$ y el plano contrario en $y = l_y$.

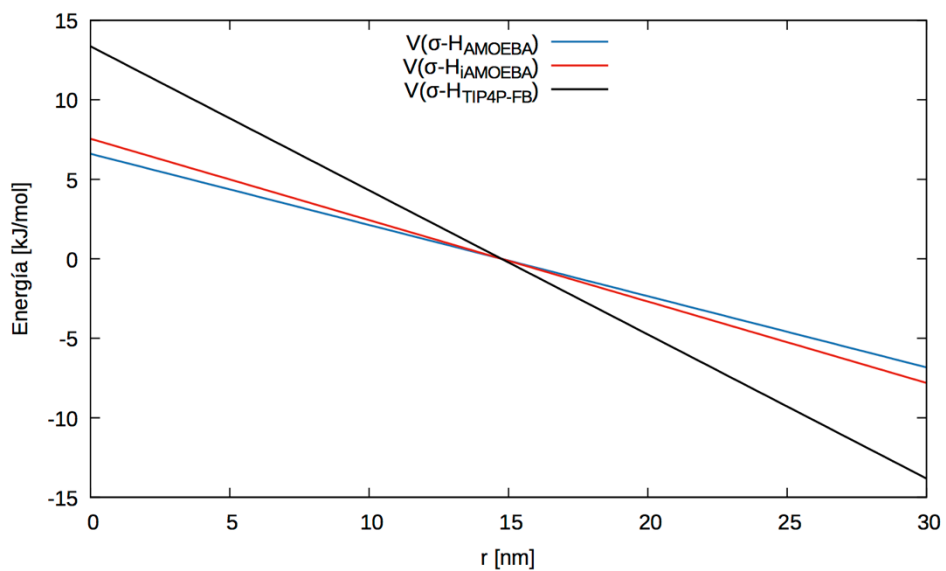


Figura 4 Superficie de energía potencial entre el hidrógeno y las superficies cargadas eléctricamente.

3.4 Implementación de interfases acuosas en OpenMM

Se plantearon tres modelos para el estudio del agua con interfases por DM, donde la diferencia principal es el tipo de interacción dominante entre el disolvente y la superficie sin estructura. Se validó un sistema de agua bulto para calcular propiedades de referencia (ver sección 3.5), otro con una superficie hidrofóbica con características similares al modelo de Rossky y un sistema con una pared hidrofílica como el modelo propuesto por Spohr. Ambos modelos de hidratación son sin átomos explícitos, es decir, modelos de paredes continuas. En el caso de la superficie cargada eléctricamente, se considera una superficie de tamaño infinito con densidad de carga superficial uniforme, esta aproximación es válida ya que las CPF permiten tener una pared con dichas características.

A continuación, se describen las características termodinámicas de los sistemas de estudio, la implementación de las superficies y la forma de crear un protocolo de simulación para calcular trayectorias en OpenMM.

- Modelo Agua Bulto

El sistema de agua bulto se simuló por DM con un ensamble NVT, fijando el volumen de la celda a una densidad de 1 g/mL, temperatura de 298.15 K, se aplicaron condiciones periódicas a la frontera y se utilizaron los potenciales de agua seleccionados.

- Modelo de Agua con superficies: hidrofóbica, hidrofílica y cargada eléctricamente

El agua confinada por dos superficies se simuló utilizando potenciales externos en las caras (X,Z) paralelas de la celda (dimensión igual a 19.705 x 19.705 Å). El sistema se simuló en un ensamble NVT en una celda alargada en el eje Y , se utilizaron CPF en dos dimensiones, las interacciones de largo alcance se calcularon con el método PME, la temperatura fue de 298.15 K, y densidad por celda de 1 g/mL.

Para los sistemas con paredes, se utiliza un potencial en cada una de ellas; los potenciales dependen de la distancia unidireccional a cada superficie. La distancia al plano $\pi_1 = y$ es el valor de y y, la distancia al plano definido como $\pi_2 = y - l_y$ se obtiene como $l_y - y$, donde l_y es el tamaño del eje Y de la celda de simulación (295.584 Å).

Se implementaron los protocolos de simulación en OpenMM⁸⁶, versión 7.1.1⁸⁷. Se decidió utilizar este programa por las siguientes razones: se trata de un código libre; tiene implementados los potenciales para agua que se escogieron⁸⁸; cuenta con una clase que permite implementar campos externos cuyas derivadas se calculan en forma analítica⁸⁹ y es multiplataforma^{90,91}.

Los sistemas con el campo de fuerzas de AMOEBA e iAMOEBA utilizaron un tamaño de paso de integración de 0.5 fs, un integrador-termostato de Langevin, las interacciones de largo alcance se calcularon con PME⁷³, se guardó información de la trayectoria cada 2000 pasos (1 ps) y se calcularon 50,000,000 de pasos en una unidad de procesamiento gráfico (GPU, por sus siglas en inglés). En el caso de AMOEBA se utilizó la polarización mutua con una tolerancia de 0.00001 y, para iAMOEBA una polarización directa. En el modelo TIP4P-FB se restringieron las distancias y ángulos de enlace, se utilizó un tamaño de paso de integración de 2 fs, un integrador-termostato de Langevin, y las interacciones de largo alcance se calcularon con PME. En todos los casos, se simularon 3840 moléculas de agua en una celda rectangular de 1.9 nm x 29.5 nm x 1.9 nm.

A continuación, se describe el uso del *script* de Python para calcular trayectorias en OpenMM. El archivo del anexo 7.1 se ejecuta de la siguiente manera y en ese orden, porque en las primeras 20 líneas se asignan las opciones de simulación a las variables termodinámicas y del cálculo de la trayectoria:

```
python nvt.py tip4pfb.xml AGP 0.002 500 25000 local 0.0
```

1. Las opciones para el modelo de agua son (ver sección 3.2): tip4pfb.xml, amoeba2013.xml e iamoeba.xml. En los siguientes puntos se hace referencia a modelos flexibles, pero son específicamente iAMOEBA y AMOEBA. Si el modelo necesita un sitio virtual se carga el archivo de coordenadas y topologías con la clase *modeller* que los calcula automáticamente (ver líneas 79-82, anexo 7.1). Además, con esta opción se crea el sistema de simulación, el cual depende de los grados de libertad estructurales (agua rígida/flexible), radios de corte de interacciones intermoleculares (vdW y electrostáticas), interacciones de largo alcance (PME con CPF), el tipo de polarización (modelos flexibles) y el criterio de convergencia (ver líneas 84-100 anexo 7.1).
2. Las opciones del tipo de simulación son (ver sección 3.3): AGP – agua bulto, HHFO- superficie hidrofóbica, HHFI- superficie hidrofílica y CHARGE- superficies cargadas.
3. La quinta variable es el tamaño de paso de simulación, para TIP4P-FB es de 0.002 ps y para los modelos flexibles es 0.0005 ps.
4. La sexta variable es la frecuencia en pasos para imprimir datos de la trayectoria. Como se recabo información cada ps y el paso de integración es diferente, entonces, en el modelo TIP4P-FB se imprime cada 500 pasos y en los otros cada 2000 pasos.
5. La séptima variable se refiere al factor necesario para obtener una trayectoria de x ns. Por ejemplo, si se calcula una trayectoria de 25 ns con el modelo iAMOEBA, el factor será de 25000 y se determina con la siguiente expresión:

$$f = \frac{\textit{longitud de simulación en ps}}{\textit{tamaño de paso en ps} * \textit{frecuencia de impresión}} \quad (43)$$

6. Los laboratorios de cómputo nacional prestaron sus *clusters* con GPUS para calcular las trayectorias, se usó el mismo *script* pero se solicitaban más tarjetas gráficas y la ruta de donde se cargaban los archivos de entrada. La opción ocho puede ser local, abacus o yoltla (ver líneas 26-77 y 169-175 del anexo 7.1).
7. La última opción para el script es el potencial de volta aplicado, si el sistema es diferente de *CHARGE* siempre se da el valor de 0.0.
8. El potencial externo se implementa con la clase *CustomExternalForce* (ver líneas 102-166 del anexo 7.1). Se crea un objeto fuerza que recibe como argumento una cadena de caracteres, es decir, la expresión del potencial de interacción de las superficies con el agua que depende de las coordenadas de los átomos (ver sección 3.3). Por ejemplo:

```
force1 = CustomExternalForce('79.7884*exp(-12.4225*r);r=y')
```

El objeto fuerza se llama “force1” y se agrega al sistema creado (ver paso 1) de la siguiente manera:

```
system.addForce(force1)
```

Si el campo es específico para cada átomo, se asigna con la comparación entre las masas de las especies presentes en el sistema:

```
at2 = system.getParticleMass(i).value_in_unit(dalton)
```

La implementación de los potenciales externos depende del tipo de superficie y para evitar interacciones entre copias de la celda en la dirección *Y*, se aumenta el tamaño de esta en 10 Å, distancia mayor al radio de corte utilizado.

9. El integrador-termostato utilizado es el de Langevin (ver línea 178 del anexo 7.1) y para el modelo TIP4P-FB se declara la tolerancia para la restricción de enlace (línea 183).
10. Hecho lo anterior, se crea el contexto de simulación y para ello, es necesario especificar las características del sistema como la topología, características de la simulación (paso 1), plataforma, configuración inicial, velocidades a partir de una distribución tipo Boltzmann (ver sección 3.1.5) y el integrador.

11. Además de las opciones básicas que OpenMM ofrece para guardar información de la DM, se implementaron dos funciones para guardar velocidades y fuerzas con la frecuencia seleccionada (ver anexo 7.18); clases que permiten imprimir los momentos dipolares permanentes, inducidos y totales de cada átomo, así como el momento dipolar total del sistema (ver anexo 7.17). Las clases solo se ocupan para los modelos flexibles, hay una forma específica de obtener la información de los momentos multipolares (ver líneas 194-200 del anexo 7.1) y las funciones sirven para cualquier modelo (línea 218 del anexo 7.1). Estos dos archivos se guardaron en la siguiente ruta: `~/anaconda2/lib/python2.7/site-packages/simtk/openmm/app/` para que estén disponibles en cualquier simulación y se importen con el contexto de `openmm`.
12. En el modelo TIP4P-FB se hace un cambio en la forma de calcular las interacciones intermoleculares, ya que se debe asegurar la continuidad del potencial, aunque se trunque a un radio de corte dado (ver líneas 202-210 del anexo 7.1).
13. La última estructura de control (*for*) se utiliza para guardar el momento multipolar del sistema y un archivo.xml que funciona para reiniciar el cálculo de la trayectoria (ver línea 214 del anexo 7.1). Si no se guarda el archivo.xml, el anexo 7.16 funciona para crearlo a partir de las posiciones y velocidades de las partículas.

Además de las características mencionadas acerca de OpenMM, también se pueden crear configuraciones iniciales del sistema de estudio, agregar diferentes especies moleculares como iones, minimizar el sistema (ver sección 3.1.5) o calcular trayectorias de DM en diferentes ensamblajes de forma continua.

3.5 Validación de modelos de agua en OpenMM

- Propiedades estructurales, dinámicas y termoquímicas

A continuación, se plantea el conjunto de diferentes pruebas empleadas en la caracterización del comportamiento del bulto. Esta parte del estudio sirvió para confirmar la implementación de los modelos y, posteriormente, comparar con la respuesta del solvente ante los diferentes tipos de superficies implementadas, lo que permite conocer el alcance del efecto de las paredes como función de la distancia a la superficie.

3.5.1 Entalpía de vaporización

La entalpía de vaporización es la energía necesaria para que una mol de sustancia cambie de la fase líquida a la fase gas, cuando las dos fases se encuentran a la misma presión y temperatura. En simulaciones numéricas, esta propiedad depende del modelo clásico de agua (flexible o rígido) y de la respuesta ante el medio en que se encuentra.

El problema de calcular la entalpía de vaporización para modelos como TIP4P-FB (no considerar la polarización) viene de la aproximación para un modelo rígido^{68,76}, porque al utilizar un sobrepotencial para fijar la geometría, es necesario hacer ajustes en el cálculo de las propiedades.

De acuerdo con Wang *et al.*⁹², el cálculo de la entalpía de vaporización, para un modelo donde se considera la polarización, viene dado por la siguiente expresión:

$$\Delta H_v(T) = V_g(T) - V_l(T) + RT \quad (44)$$

donde, ya se despreció el término PV de la fase líquida por la diferencia entre volúmenes molares que existe con la fase gas. La energía potencial del líquido es la energía potencial promedio tomada de la dinámica molecular, el término RT es igual a

2.48 kJ/mol para una T=298.15 K y, el término de la energía potencial en la fase gas viene dado por la siguiente expresión⁹³:

$$V_g(T) = E_g^{minimizada} + \frac{1}{2}RT(3N_{átomos} - 6 - N_{restricciones}) \quad (45)$$

La energía minimizada se calcula con el mismo potencial (AMOEBA e iAMOEBA), para los modelos flexibles es de -0.08 kJ/mol y, para TIP4P-FB es cero, porque no tiene grados de libertad estructurales. Por lo tanto, para modelos rígidos, el término de energía potencial en la fase gas es cero y esta expresión ya no es útil. De estudios previos se sabe que el valor calculado está 15% arriba del reportado^{74,94}.

Los modelos que no consideran la polarización necesitan modificaciones para el cálculo de la entalpía de vaporización y otras propiedades termodinámicas. Berendsen *et al.* modifican la expresión 44-45, con un término que se denomina energía de corrección a la polarización^{49,95,96}. El término de corrección tiene la siguiente forma analítica:

$$E_{pol} = \frac{1}{2} \frac{(\mu_{modelo} - \mu_g)^2}{\alpha} \quad (46)$$

Donde μ_{modelo} es el momento dipolar del modelo de agua (2.43 D para TIP4P-FB), μ_g es el momento dipolar del agua en la fase gas (1.85 D) y α es la polarizabilidad molecular experimental $(1.65 \times 10^{-40} C^2 m^2 / J)^1$. Este término disminuye en 6.84 kJ/mol a la expresión propuesta por Wang. La entalpía de vaporización del modelo TIP4P-FB es de **52.17 kJ/mol** sin corrección y **45.32 kJ/mol** (10.83 kcal/mol) corregido. En la siguiente tabla se muestra una comparación de esta propiedad para los tres modelos de agua.

MODELO DE AGUA	VALOR CALCULADO [kcal/mol]	VALOR REPORTADO [kcal/mol]
iAMOEBA	10.84	10.94
AMOEBA	10.45	10.48
TIP4P-FB	10.85	10.80

Tabla 6 Entalpía de vaporización de agua líquida con tres modelos diferentes y 25 ns de simulación.

3.5.2 Función de distribución radial

La función de distribución radial (FDR), es una cantidad estructural, indica la probabilidad de encontrar un par de átomos a una distancia dada y es relativa a la probabilidad esperada para una distribución aleatoria en el bulto^{64,97,98}. Cuando se calcula de simulaciones numéricas, se toma el valor promedio sobre las réplicas de la trayectoria, es decir, se calcula la densidad promedio ($\langle \rho_{r+\Delta r} \rangle$) para una rebanada de una esfera y se normaliza entre la densidad del bulto, como en la siguiente ecuación:

$$g(r + \Delta r) = \frac{3V_{celda} \langle N_{r+\Delta r} \rangle}{4\pi N^2 (r_{r+\Delta r}^3 - r_r^3)} \quad (47)$$

A continuación, se reportan las FDR para los tres potenciales de agua y los tres pares atómicos, calculadas con código propio (ver anexo 7.24). En línea negra continua el modelo TIP4P-FB, en línea roja el modelo iAMOEBA, en azul el AMOEBA y en línea punteada la FDR experimental.

La g(O-O) presenta los picos característicos a la distancia esperada para la primera y segunda capa de vecinos; hay mayor altura en el primer pico con respecto al experimento, pero en acuerdo con lo reportado para cada uno de los modelos se esperaba este comportamiento.

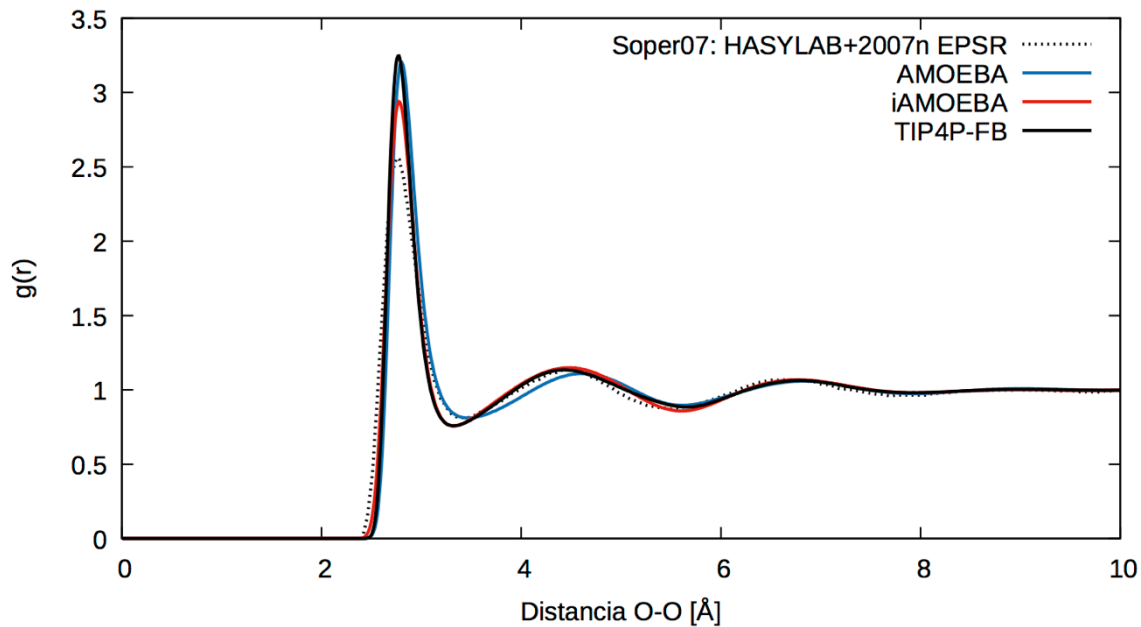


Figura 5 Función de distribución radial del par atómico O – O.

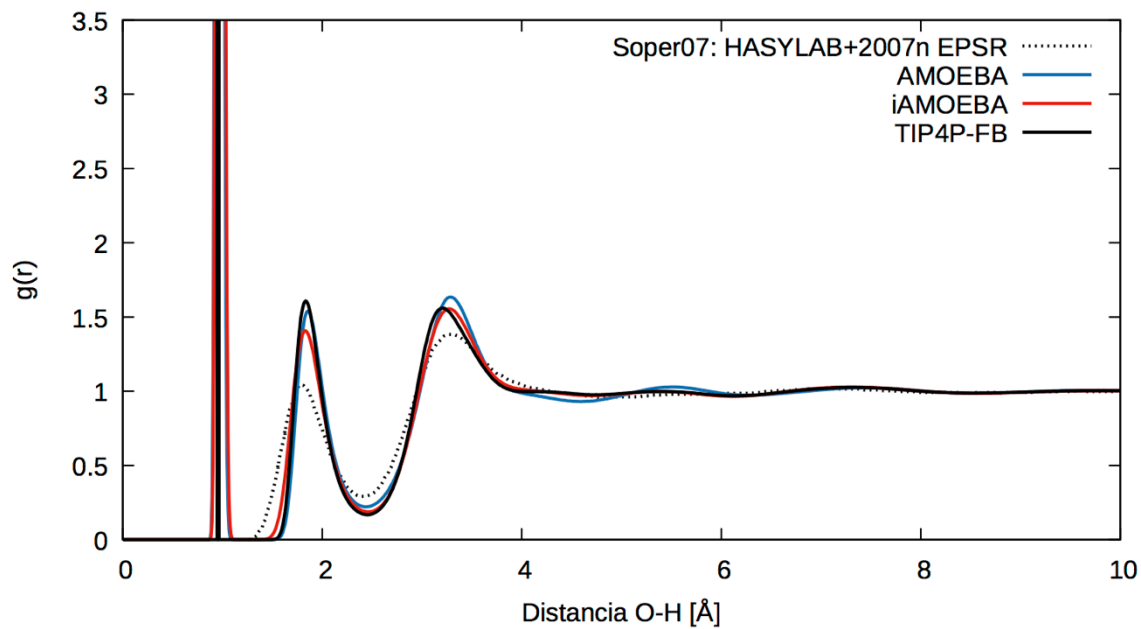


Figura 6 Función de distribución radial del par atómico O – H.

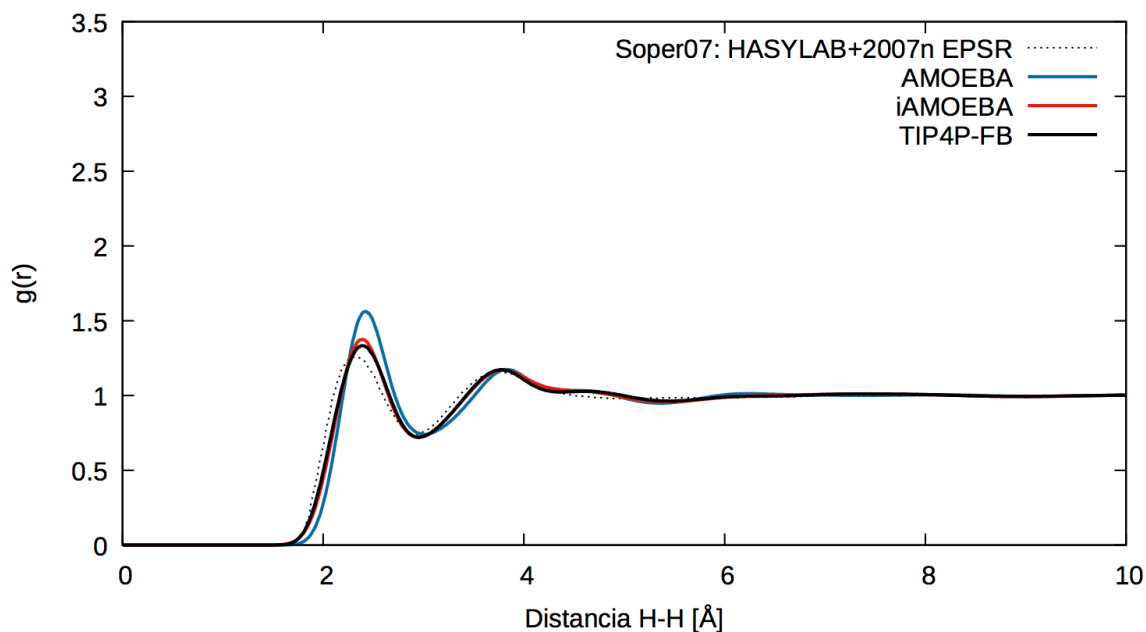


Figura 7 Función de distribución radial del par atómico H – H.

Tanto la $g(O - H)$ como la $g(H - H)$, tienen el comportamiento esperado y, no se encuentran diferencias significativas con respecto a los valores reportados.

3.5.3 Perfil de densidad

Se verificó que la distribución de las moléculas en la celda fuese homogénea. Como la celda empleada tiene forma de prisma cuadrangular, se dividió el eje más largo (Y) en bloques del mismo tamaño y se calculó la densidad en cada bloque. A partir de la información de la FDR, es posible saber que una distancia de 5.6 Å es suficiente para agrupar primeros y segundos vecinos, por ello la celda se dividió en 52 bloques de la siguiente manera:

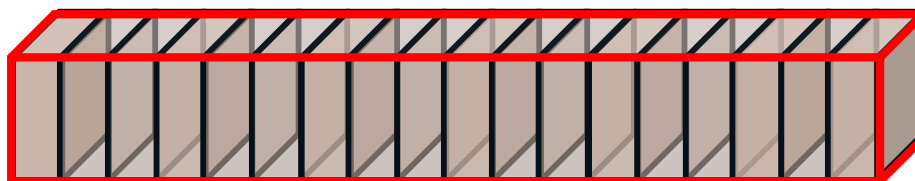


Figura 8 Representación de la celda dividida por bloques a lo largo del eje Y .

En cada réplica o paso de la simulación archivado, se contó el número de oxígenos por bloque y, con el total de la trayectoria se obtiene un valor promedio (ver anexo 7.2). Se calculó el perfil de densidad para los tres modelos de bulto y a continuación se muestran:

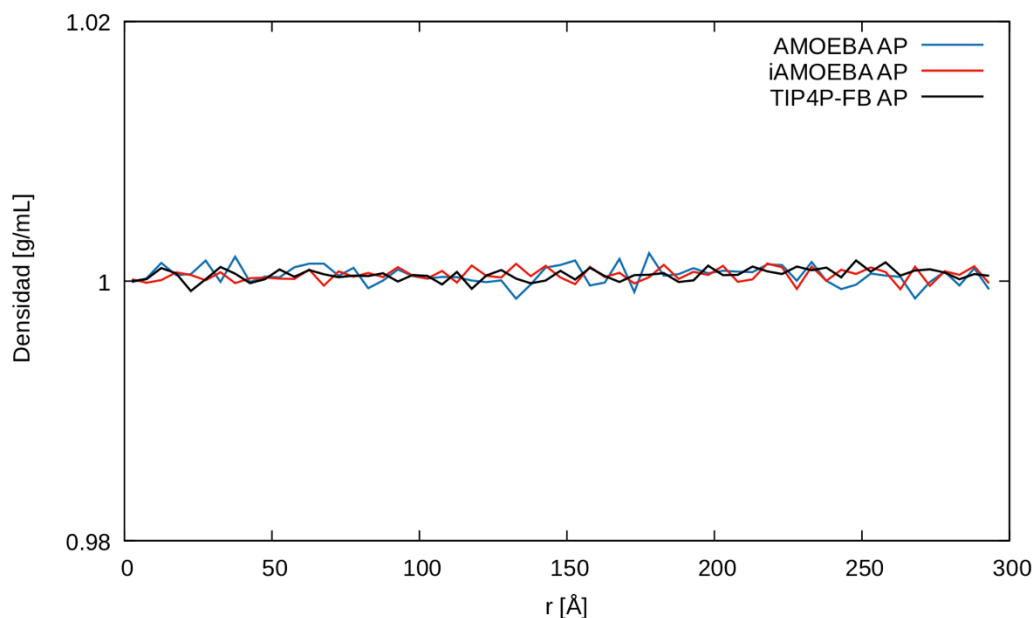


Figura 9 Perfil de densidad de agua bulto en 52 bloques a lo largo del eje Y . El perfil oscila en torno a 1 g/mL que es la densidad impuesta en la celda. En línea color azul el modelo AMOEBA, en color rojo el iAMOEBAA y en negro el modelo TIP4P-FB.

- Importancia del punto de partida de la simulación

En los sistemas de agua confinada se calculó el perfil de densidad promedio para un tiempo de simulación mayor a 10 ns. En la primera ocasión que esto se intentó se obtuvo un resultado como el que se muestra en la figura 10. Allí se observa que el perfil de densidad obtenido en el sistema simulado con las paredes hidrofóbicas se obtiene una pendiente diferente de cero $\left(-0.00018 \frac{g}{mL \cdot ns}\right)$. Sabemos que a lo largo de la trayectoria las propiedades presentan fluctuaciones en torno a un valor medio por lo que se esperaba que, para tiempos de largos de simulación (orden de ns), el sistema se estabilizara. Aun dejando evolucionar el sistema hasta 30 ns, se obtenían perfiles como el mostrado en la figura 11.

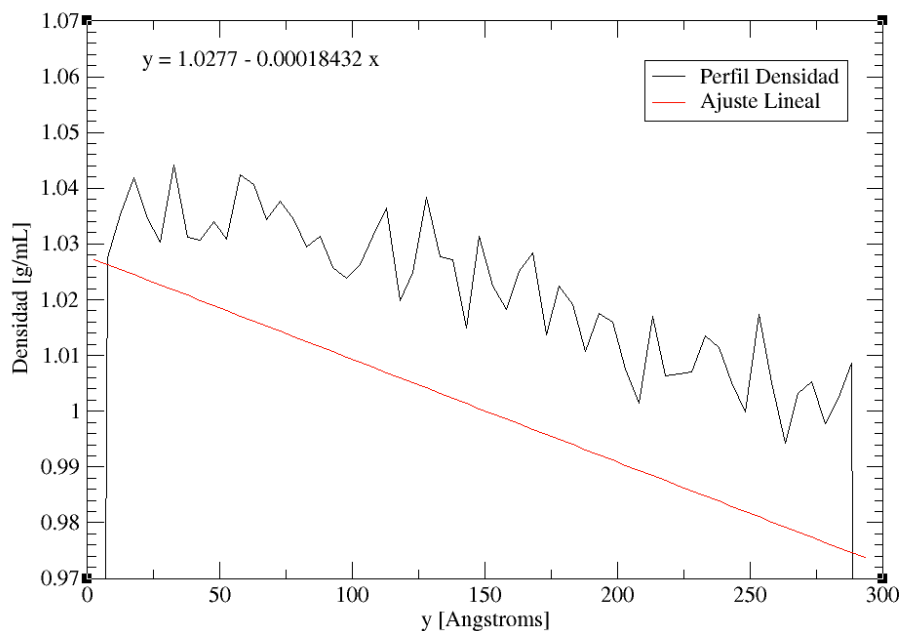


Figura 11 Perfil densidad de agua confinada entre paredes hidrofóbicas en una trayectoria con 15 ns de tiempo de simulación. El ajuste lineal tiene pendiente negativa. El sistema contiene 3840 aguas con el modelo TIP4P-FB. En línea roja se reporta el ajuste lineal del perfil.

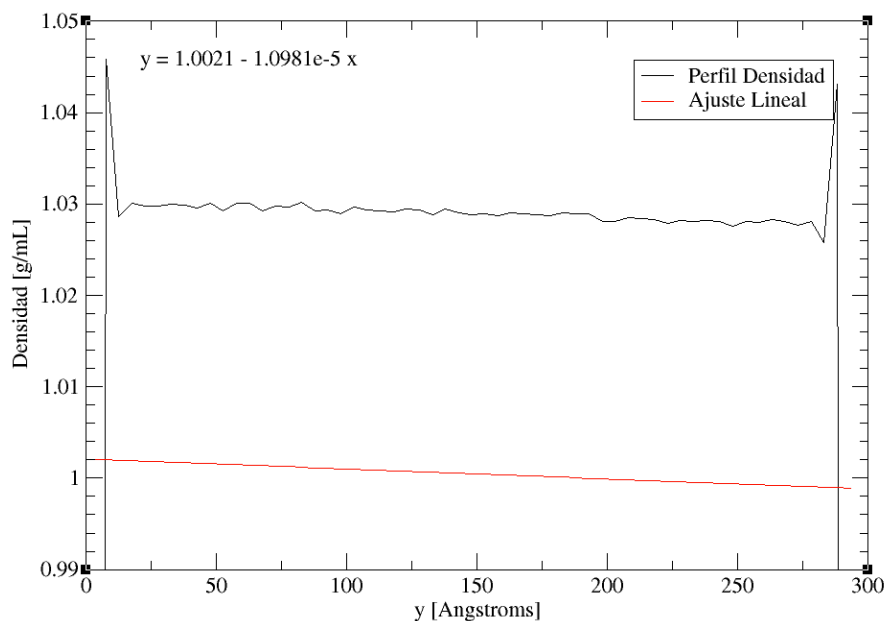


Figura 10 Perfil de densidad de agua bulto ante paredes hidrofóbicas para un tiempo de simulación de 30 ns. En línea roja se reporta el ajuste lineal para el perfil de densidad de 3840 moléculas de agua con el modelo TIP4P-FB.

Allí se observa que la pendiente aún es diferente de cero, pero se observa un perfil de densidad con simetría en los extremos. La pregunta más importante es: si el perfil de densidad converge con el tiempo, ¿cuánto tiempo de simulación es necesario para asegurarse que los transitorios observados en esta propiedad reflejan el equilibrio del sistema? El valor promedio del perfil de densidad no es útil para conocer el tiempo requerido para llegar al equilibrio, por lo tanto, se calculó el ajuste lineal para cada punto de la trayectoria en un $t > 30 \text{ ns}$ (ver anexo 7.19).

En la siguiente imagen, se muestra la pendiente del perfil de densidad ante el tiempo de simulación, para el sistema de agua TIP4P-FB con los potenciales hidrofóbico e hidrofílico. En esta DM se guardó una configuración del sistema cada ns durante un tiempo de simulación mayor a 500 ns siendo la configuración inicial, la mostrada en el anexo 7.9. Esta configuración inicial fue obtenida empleando códigos que distribuyen las moléculas del sistema de manera regular en una malla tipo cristal fcc^2 .

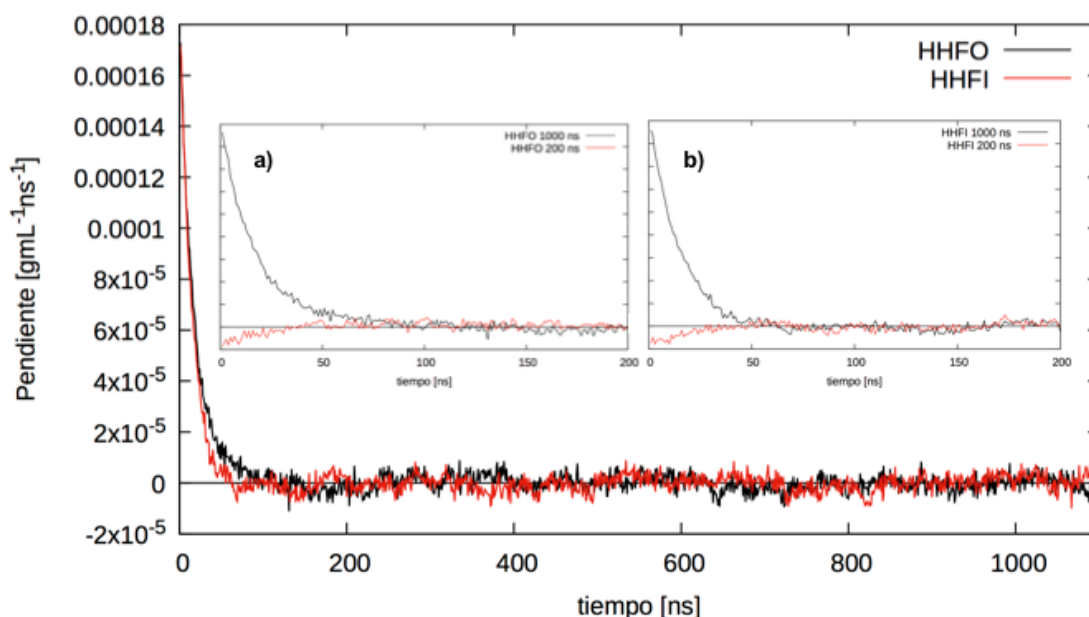


Figura 12 Gráfico de la pendiente del perfil de densidad del sistema en cada punto de la trayectoria. En el gráfico principal se muestra en color negro el sistema con superficie hidrofóbica y en color rojo la superficie hidrofílica. El tiempo de simulación fue de 1000 ns . En los gráficos a) y b) se compara el perfil de la pendiente con sistemas que inician con configuraciones diferentes; en color rojo, la configuración de agua bulto equilibrada por 100 ns (ver anexo 7.10) y en negro, la configuración tipo emparedado (ver anexo 7.9).

² Taller de Dinámica Molecular. Algoritmos, Análisis y Aplicaciones en programas paralelos. Disponible en: <http://quimica.izt.uam.mx/TallerDM/TDM2016/>

En el gráfico a) se observa que, iniciar con una configuración con mayor similitud al agua líquida permite alcanzar una distribución homogénea, pendiente ≈ 0 , en un tiempo de simulación de 50 ns, a diferencia de la otra en la que requiere más tiempo de simulación para alcanzar el equilibrio. En el gráfico de color rojo en el caso b), se observa que el valor de la pendiente refleja el equilibrio en un tiempo de 40 ns, mucho más rápido que cuando se parte de la configuración de malla cristalina y que la superficie HHFO.

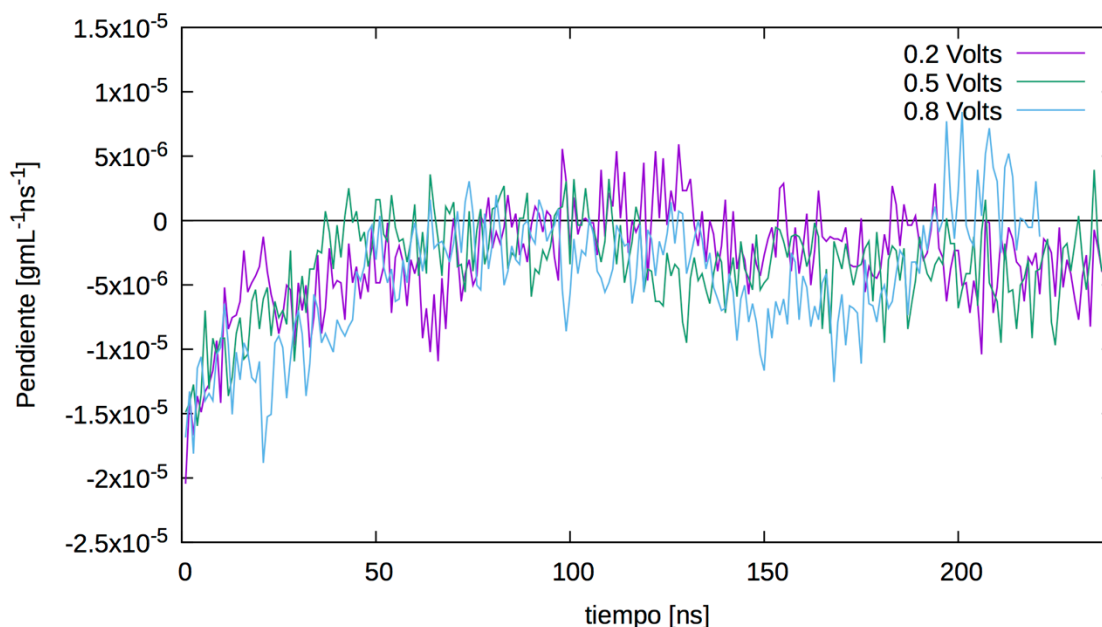


Figura 13 Gráfico de la pendiente contra el tiempo de simulación en sistemas con superficies cargadas eléctricamente. En color morado, el sistema con un potencial aplicado de 0.2 V; en color verde, un potencial aplicado de 0.5 V y en color azul de 0.8 V.

En la figura anterior (13), se reporta la pendiente del perfil de densidad como función del tiempo en sistemas a los que se aplicó un voltaje diferente. La configuración de inicio fue agua equilibrada durante 100 ns. A diferencia de las superficies hidratadas, este tipo de superficies requiere mayor tiempo para alcanzar el equilibrio. Al parecer, se requiere un tiempo de 100 ns para alcanzar la pendiente cero, sin embargo, los tres sistemas presentan oscilaciones con periodos distintos. Por ejemplo, en el sistema con el potencial más bajo, 0.2 V, las oscilaciones son más frecuentes, pero más cercanas a cero; a diferencia de la superficie con potencial de 0.8 V donde el periodo es más amplio pero el promedio está por debajo de cero.

Estos gráficos son inusuales; el perfil de densidad converge muy lentamente en comparación a otras propiedades y hasta el momento, Ferrara *et al.* son los únicos que han equilibrado sus sistemas de estudio durante algunas centenas de *ns*, pero no mencionan que esto se haya debido a problemas en el cálculo de las propiedades de interés. Hay que notar que, a diferencia de las superficies utilizadas en este proyecto, en el análisis hecho por Ferrara la fase sólida tiene estructura⁹⁹.

El uso de potenciales polarizables y flexibles como AMOEBA o incluso iAMOEBA, es caro computacionalmente por lo que requerir trayectorias de varias centenas de *ns* para equilibrar el sistema se vuelve poco práctico. Por lo que, consideramos necesario un protocolo de simulación específico para el estudio de sistemas de este tipo (ver sección 3.6).

3.5.4 Distribución de la orientación del momento dipolar

En este análisis, se calculó el coseno del ángulo formado entre el vector de momento dipolar y el vector normal que apunta hacia afuera de la superficie más cercana (ver anexo 7.3), la definición de este ángulo se muestra en la sección a) de la figura 14.

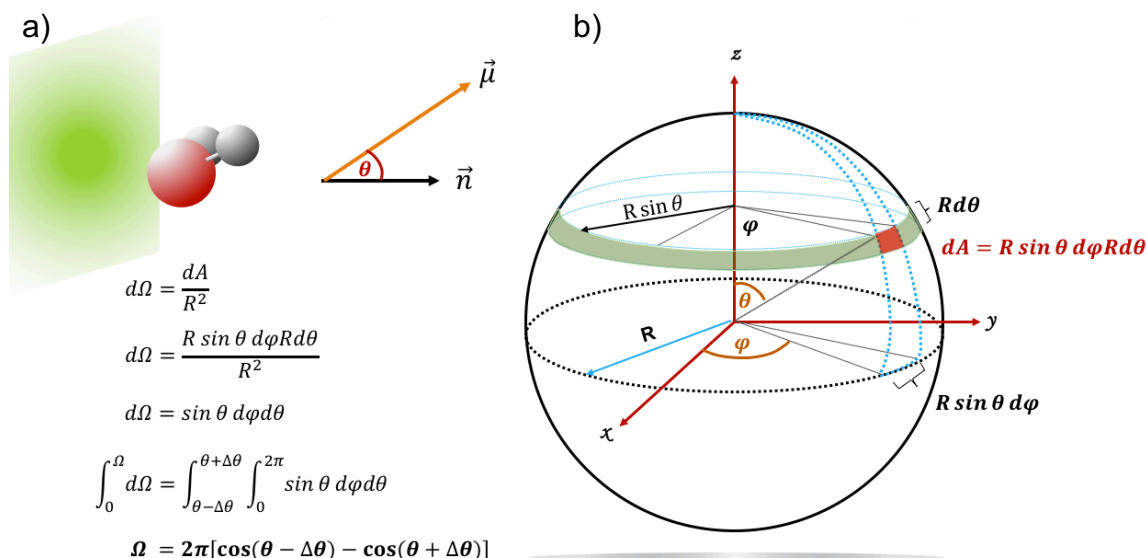


Figura 14 a) Definición del ángulo θ formado entre el vector normal a la superficie y el momento dipolar. b) El ángulo sólido generado para un mismo valor de θ pero en una franja de 10° de apertura ($\Delta\theta = 5^\circ$).

La celda se divide por bloques como en el análisis del perfil de densidad, pero en cada bloque se calcula la probabilidad de tener diferentes orientaciones del coseno del ángulo en el rango $0 \leq \theta \leq 180^\circ$ y se normaliza con el ángulo sólido en función de θ , con la franja de una esfera de radio uno.

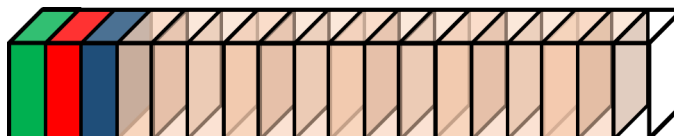


Figura 15 División de la celda de simulación por bloques, cada bloque tiene un ancho de 5.6 \AA

En la siguiente figura se reporta la distribución de orientaciones del bullo hacia un plano imaginario $\pi_1 = y$, el cual corresponde a la posición de la superficie para los sistemas de agua con paredes. Se grafican las orientaciones preferenciales de las divisiones cercanas a la superficie; así los bloques en color verde, rojo y azul de la figura anterior, corresponden al bloque 1, 2 y 3, respectivamente; los modelos de agua se diferencian por el código de colores hasta ahora usado.

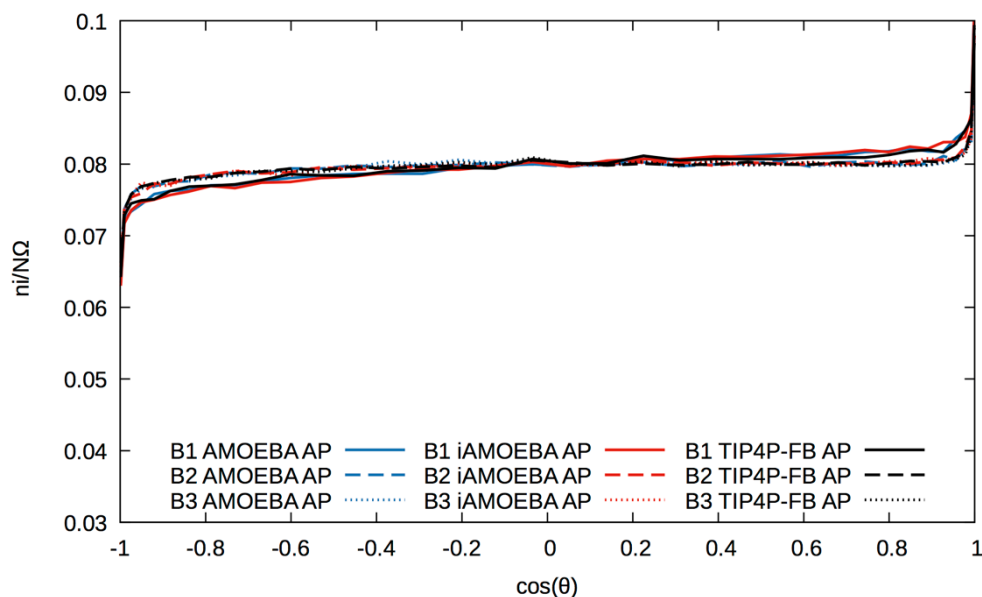


Figura 16 Distribución del coseno de θ en los bloques cercanos a la superficie imaginaria. Los tres modelos de agua, en color negro TIP4P-FB, en rojo iAMOEBA y en azul AMOEBA.

El gráfico confirma que las orientaciones del agua bulto no tienen una preferencia. La figura anterior servirá de referencia para identificar, en los sistemas confinados el alcance del efecto de la superficie.

3.5.5 Coeficientes de Auto difusión

Se sabe que los coeficientes de auto-difusión calculados con la ecuación de Einstein (48) dan resultados razonables para los modelos flexibles a partir de la información recabada de la trayectoria.

$$D = \lim_{t \rightarrow \infty} \frac{1}{6t} \langle |\mathbf{R}_i(t) - \mathbf{R}_i(0)|^2 \rangle \quad (48)$$

De acuerdo con Zlenko¹⁰⁰, utilizar la ecuación de Einstein es suficiente para obtener un buen resultado del coeficiente de auto-difusión⁴⁹, bastaría contar con un número de configuraciones suficientes para tiempos de simulación del orden de algunos *ns*. Cada modelo tiene un tiempo de relajación específico; así que se ajustaron tiempos diferentes de simulación que resultasen en el mismo número de puntos guardados de la trayectoria a fin de tener posibilidad de comparar. Hecho lo anterior, los coeficientes de auto difusión se reportan en la siguiente tabla.

MODELO DE AGUA	VALOR CALCULADO [cm ² /s]	VALOR REPORTADO [cm ² /s]
AMOEBA	2.0x10 ⁻⁵	1.99x10 ⁻⁵
iAMOEBA	2.2x10 ⁻⁵	2.54x10 ⁻⁵
TIP4P-FB	2.1x10 ⁻⁵	2.21x10 ⁻⁵

Tabla 7 Coeficientes de auto-difusión del bulto para los tres campos de fuerza: iAMOEBA, AMOEBA y TIP4P-FB.

Lo anterior funciona porque el cálculo del coeficiente de auto-difusión es un evento de “*memoria*”, donde cada configuración está relacionada; en este análisis la correlación es con la configuración inicial. Ver anexo 7.4 para el cálculo de los coeficientes.

3.5.6 Constante dieléctrica

La constante dieléctrica depende de la capacidad de respuesta del sistema al campo eléctrico externo homogéneo aplicado, es decir, está relacionada con las fluctuaciones del momento dipolar del sistema¹⁰¹⁻¹⁰⁴ ($\vec{M} = \sum_{i=1}^m q_i \vec{r}_i$). De acuerdo con la teoría propuesta por Neumann, el sistema de interés está inmerso en un medio continuo (*Reaction Field*, RF por sus siglas en inglés) con ε_{RF} conocida¹⁰⁵. La ε se calcula con la ecuación 49, donde el término del lado derecho se atribuye a las fluctuaciones del momento dipolar causadas por el campo eléctrico generado por el medio continuo.

$$\frac{4\pi}{3} \frac{\langle M^2 \rangle}{3VTk_B} = \frac{\varepsilon - 1}{\varepsilon + 2} \left[1 - \frac{\varepsilon - 1}{\varepsilon + 1} \frac{\varepsilon_{RF} - 1}{\varepsilon_{RF} + 1} \right]^{-1} \quad (49)$$

De la expresión anterior se obtiene la ecuación 50 donde se aplica la condición límite cuando ε_{RF} tiende a un valor infinito.

$$\frac{4\pi}{3} \frac{\langle M^2 \rangle}{3VTk_B} = \frac{\varepsilon - 1}{3} \quad (50)$$

Esta última ecuación es válida utilizando el sistema de unidades Gaussianas. La conversión al sistema internacional se hace al multiplicar el lado izquierdo por el factor $\frac{1}{4\pi\varepsilon_0}$. Este factor se obtiene a partir de la conversión, de la susceptibilidad eléctrica ($\chi^{SI} = 4\pi\chi^G$) y la constante dieléctrica ($\varepsilon^{SI} = \varepsilon_0\varepsilon^G$), de unidades gaussianas al sistema internacional. La ecuación 51 es la que se usa para calcular la constante dieléctrica como el promedio acumulado en la trayectoria de DM (ver anexos 7.5, 7.6 y 7.7)¹⁰⁶⁻¹⁰⁸.

$$\varepsilon = 1 + \frac{\langle M^2 \rangle}{3VTk_B\varepsilon_0} \quad (51)$$

Donde V es el volumen de la celda de simulación, T la temperatura absoluta, k_B la constante de Boltzmann y ε_0 la permitividad del vacío.

En la imagen 17, se muestra la gráfica de ε en función del tiempo de simulación para el bulto con los tres potenciales de agua. Se observa que el tiempo de relajación del sistema es diferente para cada modelo: con TIP4P-FB se necesitan 4 ns para tener un valor casi constante y en los modelos flexibles el tiempo es mayor que 10 ns.

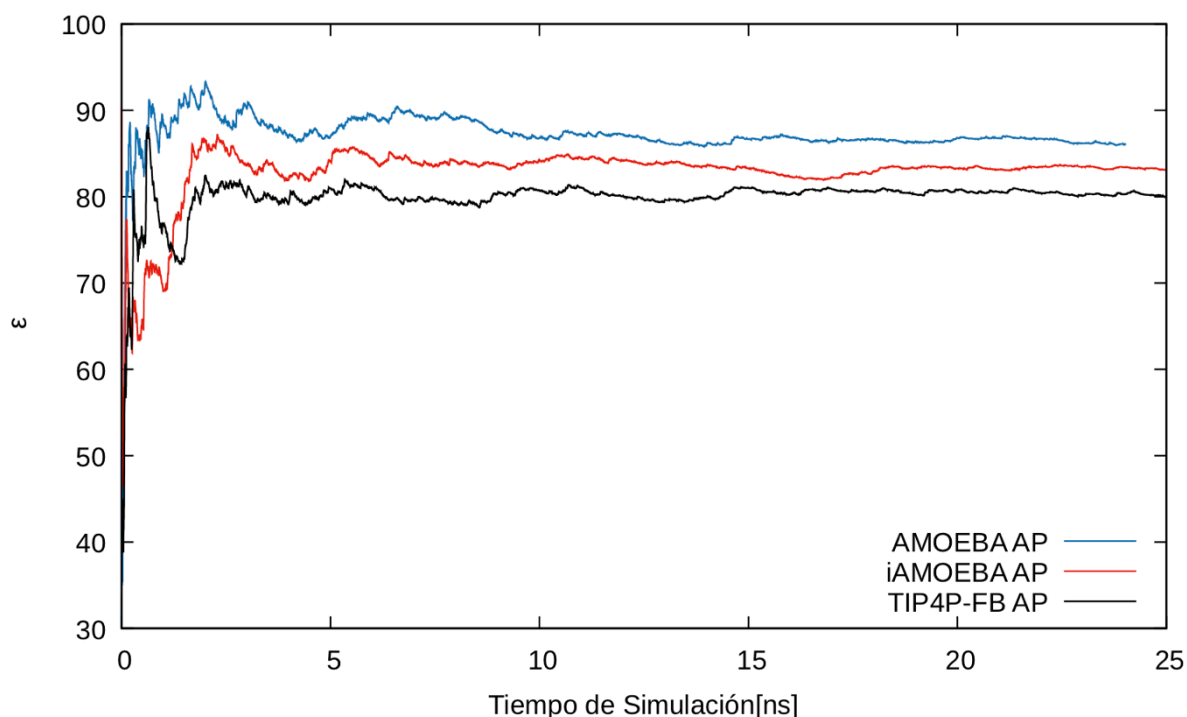


Figura 17 Promedio acumulado de la constante dieléctrica en función del tiempo de simulación.

Por un lado, el valor de ε para el modelo TIP4P-FB ha convergido a un valor cercano del experimental, ver tabla 8. Por el contrario, los modelos flexibles aún están por arriba tanto del valor reportado como del experimental, pero se ha reportado que esta propiedad converge muy lentamente¹⁰⁹. En la siguiente tabla se muestran los valores de la constante dieléctrica calculados en el periodo de 10 a 15 ns.

MODELO DE AGUA	ϵ VALOR CALCULADO	ϵ VALOR REPORTADO
AMOEBA	86.8 ± 0.5	81.4
iAMOEBA	83.9 ± 0.4	80.7
TIP4P-FB	80.3 ± 0.5	78.4

Tabla 8 Constante dieléctrica del bulto de los tres potenciales de agua utilizados.

Existe otra metodología, propuesta por Thomas Simonson para calcular ϵ , sin embargo, la geometría esférica del sistema juega un papel importante, ya que de ello dependen las características de la simulación^{110,111}. Por ejemplo, en la siguiente sección se detalla el protocolo propuesto para estudiar interfases acuosas: la interfase sólido-líquido.

3.6 Protocolo de Simulación para interfases acuosas

A continuación, se describen los pasos a seguir para la puesta en marcha del cálculo de trayectorias por dinámica molecular de agua bulto y agua ante superficies sin estructura.

1. Equilibrar agua con TIP4P-FB durante 100 *ns*, verificando que las propiedades que requieren mayor tiempo de simulación como la constante dieléctrica hayan convergido (ver anexo 7.5, 7.5 y 7.21).
2. Las dinámicas moleculares con los potenciales agua-superficie requieren que se inicie con una configuración de agua equilibrada (tomar la última configuración del paso anterior), y para ello, es necesario activar un potencial menos repulsivo al menos un par de centenas de *ps*, que desplace el agua lejos de las superficies; el único objetivo es alejar a las moléculas de la zona altamente repulsiva, y así, evitar que en la trayectoria las fuerzas sean muy grandes y generen errores numéricos. Los potenciales sugeridos para cada superficie son los siguientes:

$$V_{w-s1} = 70.3515e^{-12.4223y} \quad (52)$$

$$V_{w-s2} = 70.3515e^{-12.4223(l_y-y)} \quad (53)$$

3. Activar los potenciales: hidrofóbico e hidrofílico para el Pt y, equilibrar un tiempo de simulación mayor que 60 *ns* con TIP4P-FB (ver sección 3.2.3) para asegurar que el perfil de densidad tendrá pendiente cerca de cero. El sistema con las superficies cargadas requiere una barrera física (como las expresiones 52 y 53), porque el potencial está definido para actuar únicamente de 0 a l_y ; no hacerlo permite que las moléculas salgan de la celda de simulación en la dirección Y . El tiempo para equilibrar sistemas de este tipo debe ser mayor a 200 *ns*, se sugiere utilizar el potencial rígido para equilibrar y asegurar perfiles de densidad convergidos (ver anexo 7.20).
4. Tomar la última configuración del paso anterior para calcular trayectorias con los modelos iAMOEBA, AMOEBA y TIP4P-FB por un tiempo de 25 *ns* (ver anexo 7.11 y 7.12).

CAPÍTULO CUATRO

RESULTADOS Y DISCUSIÓN

4. RESULTADOS Y DISCUSIÓN

Los resultados que a continuación se presentan fueron hechos analizando el comportamiento en toda la celda de simulación, sin embargo, se hicieron dos análisis como función de la distancia a la superficie (bloques): los perfiles de densidad y la distribución de las moléculas de agua.

4.1 Entalpía de vaporización

En la tabla 9, se muestra la entalpía de vaporización del agua en bulto y ante las cinco interfases acuosas. La ΔH_V calculada para el sistema con superficies hidrofóbicas es, para todos los modelos, menor que la del bulto ($\approx -0.19\%$). Por el contrario, la superficie hidrofílica conduce a valores mayores de ΔH_V con todos los modelos, esto se debe a la atracción que ejerce sobre las moléculas de agua lo que hace que se requiera más de aproximadamente 1.4% más de energía para hacer el cambio de fase. En los sistemas con superficies cargadas eléctricamente se requiere menor energía en comparación con el bulto ($\approx -0.13\%$), pero más energía que en la superficie hidrofóbica ($\approx -0.05\%$). No se observó efecto sobre esta propiedad como función del campo eléctrico aplicado.

MODELO DE AGUA	ΔH_V Bulto [kcal/mol]	ΔH_V HHFO [kcal/mol]	ΔH_V HHFI [kcal/mol]	ΔH_V 0.2V [kcal/mol]	ΔH_V 0.5V [kcal/mol]	ΔH_V 0.8V [kcal/mol]
AMOEBA	10.45	10.43 (-0.21)	10.61 (1.50)	10.43 (-0.16)	10.43 (-0.16)	10.43 (-0.16)
iAMOEBA	10.84	10.82 (-0.19)	10.99 (1.43)	10.83 (-0.12)	10.83 (-0.12)	10.83 (-0.12)
TIP4P-FB	10.85	10.83 (-0.16)	11.03 (1.63)	10.84 (-0.11)	10.84 (-0.11)	10.84 (-0.11)

Tabla 9 Entalpía de vaporización de agua líquida con tres tipos de superficies; hidrofóbica (HHFO), hidrofílica (HHFI) y cargada eléctricamente: 0.2V, 0.5V y 0.8V. Entre paréntesis, está la diferencia porcentual entre el bulto y cada superficie.

4.2 Funciones de distribución radial

A continuación, se presentan las FDR de los pares atómicos O – O para los tres modelos de agua simulados en las cinco diferentes condiciones. En general, no se observaron diferencias significativas con respecto a la $g(O-O)$ del bulto pero la posición y forma del primer mínimo refleja algunos ligeros cambios que se muestran

en los recuadros de cada figura. La superficie hidrofóbica presenta un aumento de la probabilidad en el primer mínimo. Este comportamiento, en mayor magnitud, también sucede en las trayectorias con superficies cargadas.

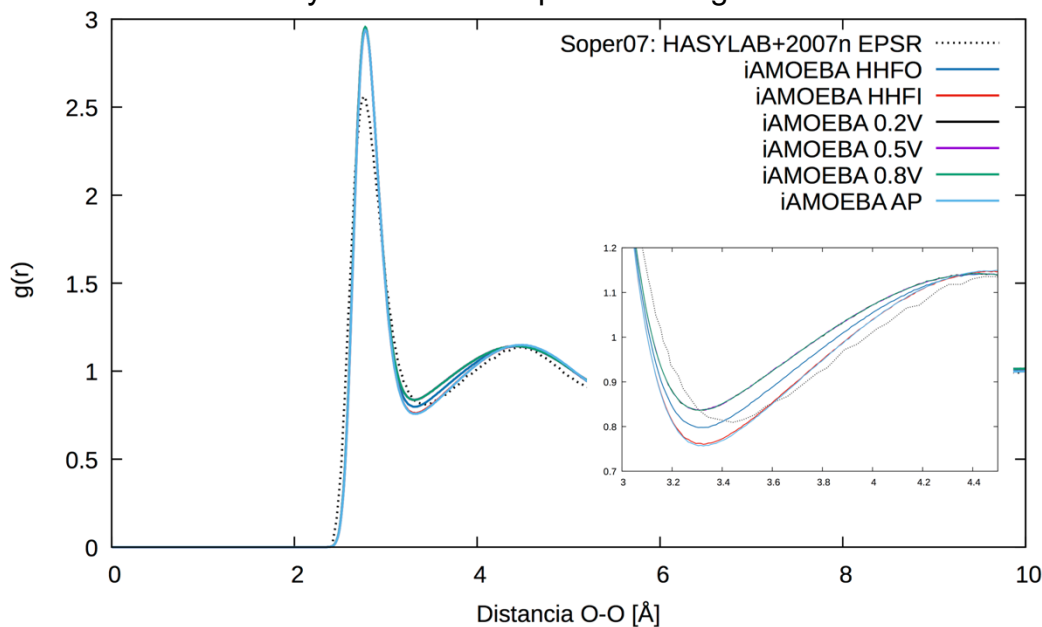


Figura 19 Función de distribución radial del par atómico O – O del modelo iAMOEBA y los cinco tipos de superficie. superficie hidrofóbica en color azul rey (HHFO); hidrofílica en rojo (HHFI); cargada con un potencial de 0.2 V en color negro, 0.5 V en color morado y 0.8 V en color verde; el bulto en color azul cielo y la referencia experimental en línea punteada. El gráfico más pequeño es un aumento de la zona del primer mínimo de la FDR.

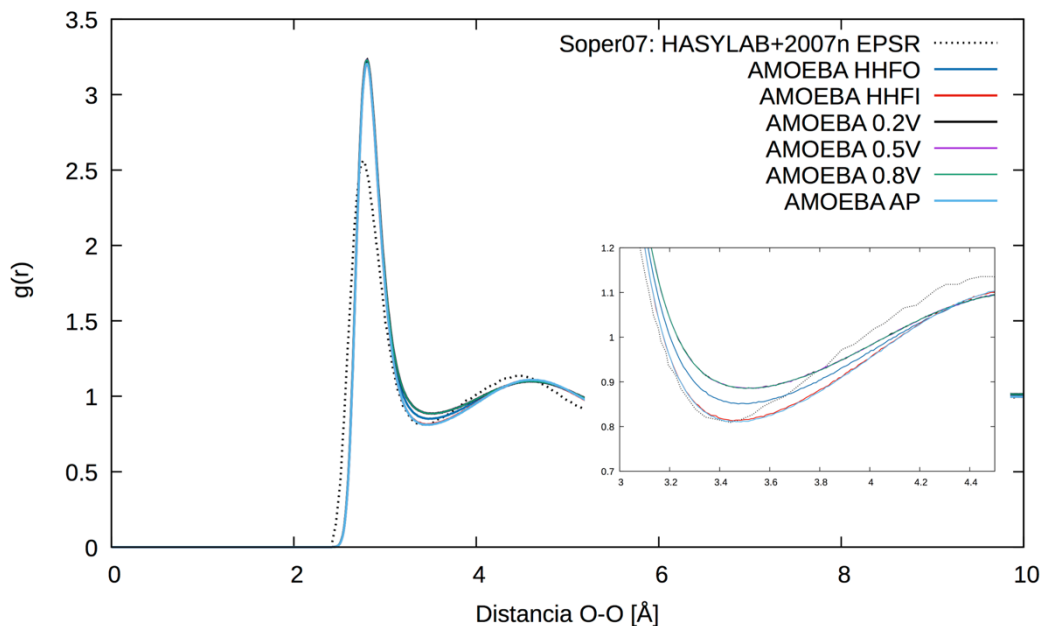


Figura 18 Función de distribución radial del par atómico O – O del modelo AMOEBA y los cinco tipos de superficie. El gráfico más pequeño es un aumento de la zona del primer mínimo de la FDR.

Al igual que en la figura 18, el potencial AMOEBA no presenta diferencias significativas en la FDR (ver figura 19), pero ocurre un aumento de la probabilidad en la zona del primer mínimo para la superficie HHFO y las superficies cargadas. La siguiente FDR refleja el mismo comportamiento que los modelos anteriores, no hay diferencias con respecto al bulto, sólo para la superficie hidrofílica.

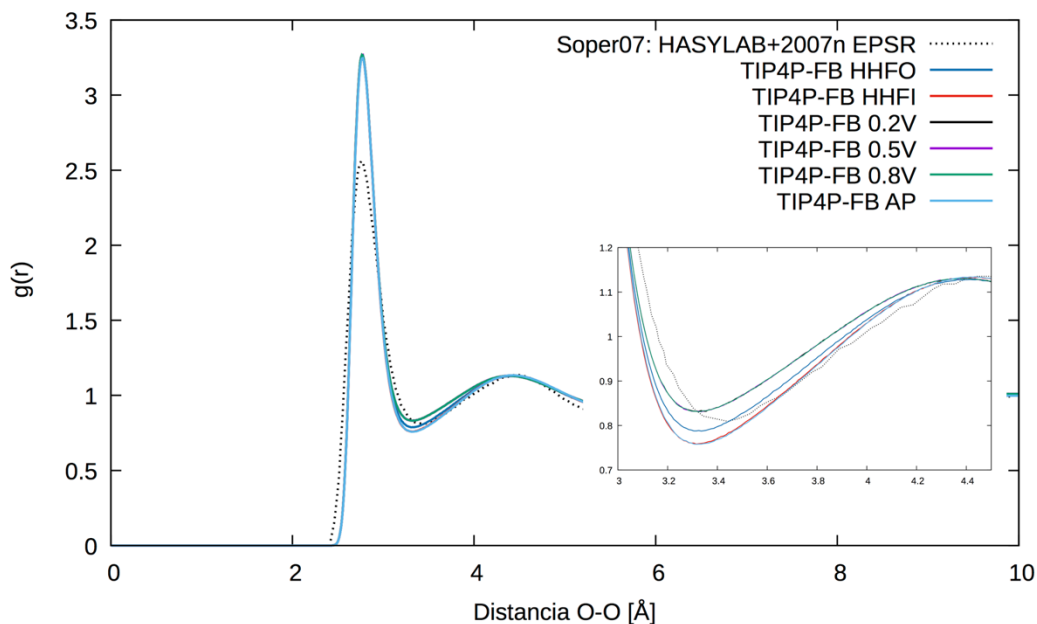


Figura 20 Función de distribución radial del par atómico O – O del modelo TIP4P-FB y los cinco tipos de superficie. El gráfico más pequeño es un aumento de la zona del primer mínimo de la FDR.

4.3 Perfiles de densidad

En este análisis se eligió dividir la celda en bloques de tamaño igual a la distancia de la posición del segundo mínimo en la FDR para el par atómico O – O de agua bulto, 5.6 Å de espesor.

En los perfiles de densidad que se muestran en las figuras 21, 22 y 23, se observa que el efecto del potencial HHFO y las superficies cargadas, sobre las moléculas de agua es el desplazamiento de estas hacia el centro de la celda de simulación. Las simulaciones con paredes cargadas eléctricamente conducen a un aumento de la densidad hacia el centro de la celda más marcado que el observado en el caso HHFO.

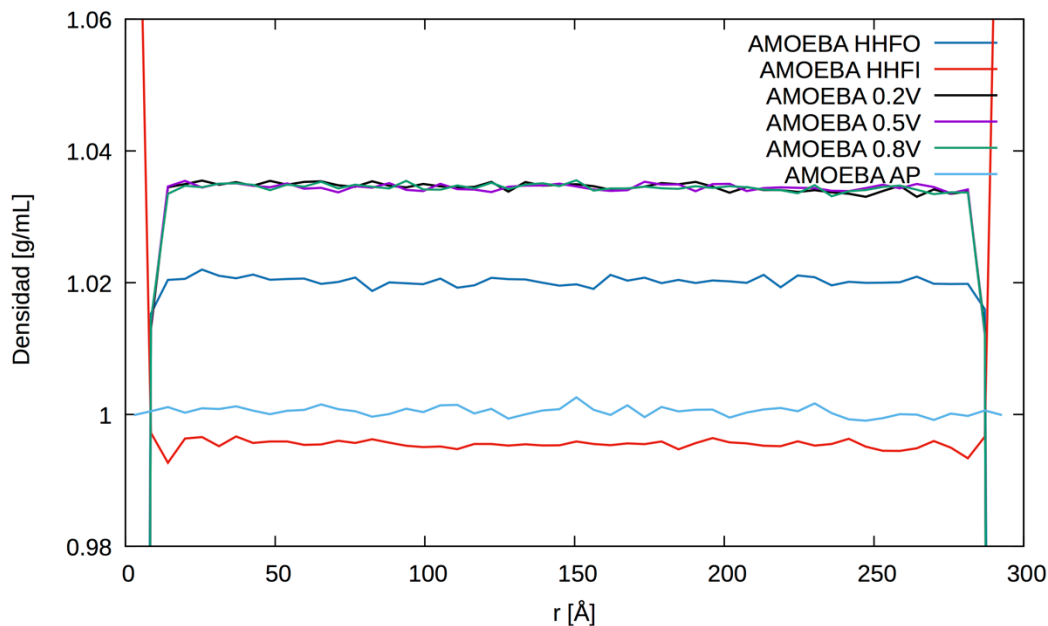


Figura 22 Perfiles de densidad del modelo de agua AMOEBA. El código de colores para identificar cada sistema es: HHFO en azul rey; HHFI en rojo; superficie cargada con diferente potencial: 0.2 V en color negro, 0.5 V en morado y 0.8 V en verde, y el bulto en color azul cielo. La diferencia principal entre las superficies es que la HHFI aumenta más del 6% en el primer bloque y en bloques posteriores la densidad es menor al bulto y sucede lo contrario en las otras superficies, donde la acumulación es en toda la celda.

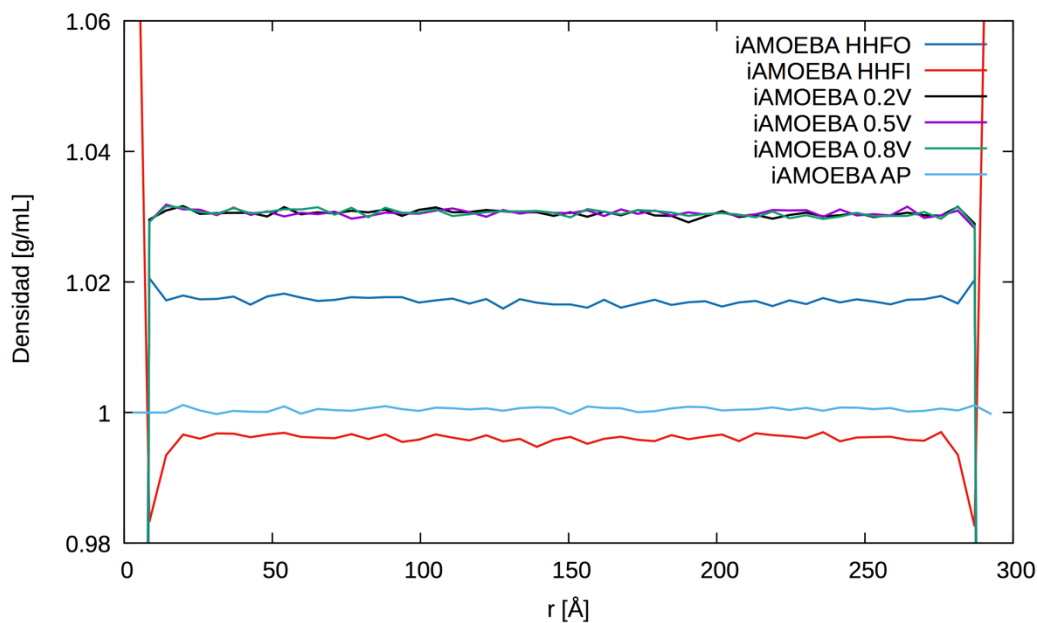


Figura 21 Perfiles de densidad del modelo de agua iAMOEBA. El código de colores corresponde al mencionado en la figura 22. Tanto la superficie HHFI como la superficie HHFO presentan un aumento de la densidad en el primer bloque, aunque en la hidrofóbica es en menor magnitud y se acumula en forma homogénea a lo largo de la celda. En la pared HHFI la densidad es menor que la del bulto a partir del segundo bloque. En las superficies cargadas, lo observado es similar que en el modelo AMOEBA, pero en menor magnitud.

En los tres modelos de agua, se observa que cerca de la superficie hidrofílica hay un aumento en el número de moléculas (densidad mayor 1.06 g/mL), que se traduce en una disminución en la densidad hacia el centro de la celda.

En los casos HHFO y superficies cargadas es posible distinguir diferencias en el comportamiento debidas a la naturaleza de cada uno de los modelos. En las paredes hidrofóbicas la densidad promedio aumenta porcentualmente en 1.3 para TIP4P-FB, 1.7 para iAMOEBA y 2.0 para AMOEBA. Las superficies cargadas incrementan la densidad a lo largo de la celda en 2.8, 3.1 y 3.4% para TIP4P-FB, iAMOEBA y AMOEBA, respectivamente. Por otra parte, los tres modelos confirman la acumulación de agua cerca de la superficie hidrofílica en cantidades muy similares $\approx 10\%$.

La acumulación cerca de las superficies (electrodos) que el modelo TIP4P-FB presenta, en el caso HHFO parece ser consecuencia de un modelo sin polarización ya que el modelo iAMOEBA lo presenta en menor magnitud, y el modelo con polarización mutua no lo presenta en absoluto.

Las moléculas TIP4P-FB cerca del electrodo actuarían como una pantalla de la superficie hacia el bulto. Al no polarizarse, no se modifica la interacción entre ellas y sólo existe una respuesta estructural a la heterogeneidad cerca del electrodo y así, amortiguan el efecto de éste hacia los vecinos en segundos o terceros bloques.

La polarización de las moléculas conduce a una interacción más fuerte entre ellas (enlaces de hidrógeno más cortos) que resulta en una densidad acumulada importante a lo largo de toda la celda (ver imágenes 18,19 y 20). Esto se ve reflejado en las trayectorias con superficies cargadas, donde el aumento es mayor que en la superficie HHFO (ver figuras 21, 22 y 23).

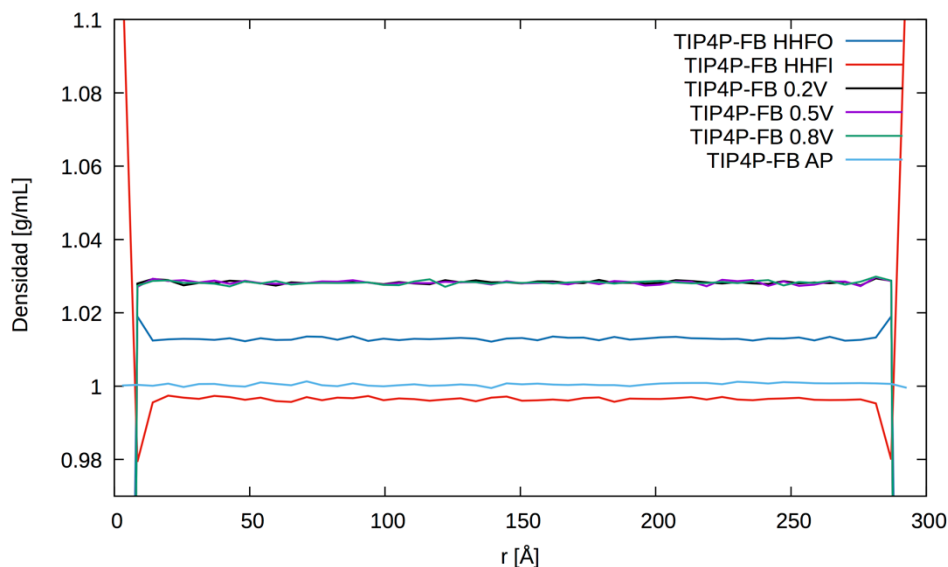


Figura 23 Perfiles de densidad del modelo de agua TIP4P-FB. El código de colores corresponde al mencionado en la figura 22. Tanto la superficie HHFI como la superficie HHFO presentan un comportamiento como el modelo iAMOEBA: mayor densidad en el primer bloque que en los bloques posteriores. Las superficies solo desplazan a las moléculas hacia el centro de la celda.

4.4 Distribución de la orientación del momento dipolar

En la hidratación hidrofóbica (ver la imagen 25), la orientación más probable de las moléculas cercanas a la superficie es aquella en la que el dipolo apunta hacia afuera de la superficie formando un ángulo promedio de 78° , sin embargo, la forma del gráfico sugiere una distribución de orientaciones entre $60 - 100^\circ$. Lo mismo sucede en el gráfico pequeño de la figura 25, que corresponde a la distribución del ángulo formado entre el vector de enlace OH y la normal al plano (véase la figura 24) en donde es posible apreciar que el ángulo más probable tiene valores de aproximadamente 100 o 0° . Este efecto disminuye conforme se alejan de la superficie, porque en el bloque número dos (línea a trozos) y tres (línea punteada), el perfil se comporta como el del bulto.

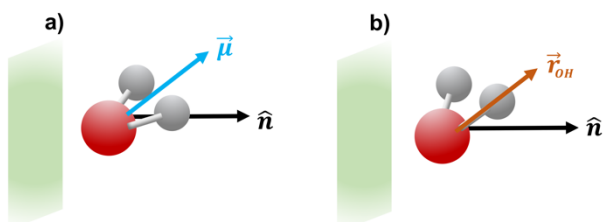


Figura 24 Definición de los vectores de momento dipolar a) y el vector de enlace OH b), que forman el ángulo θ respecto al vector normal a la superficie.

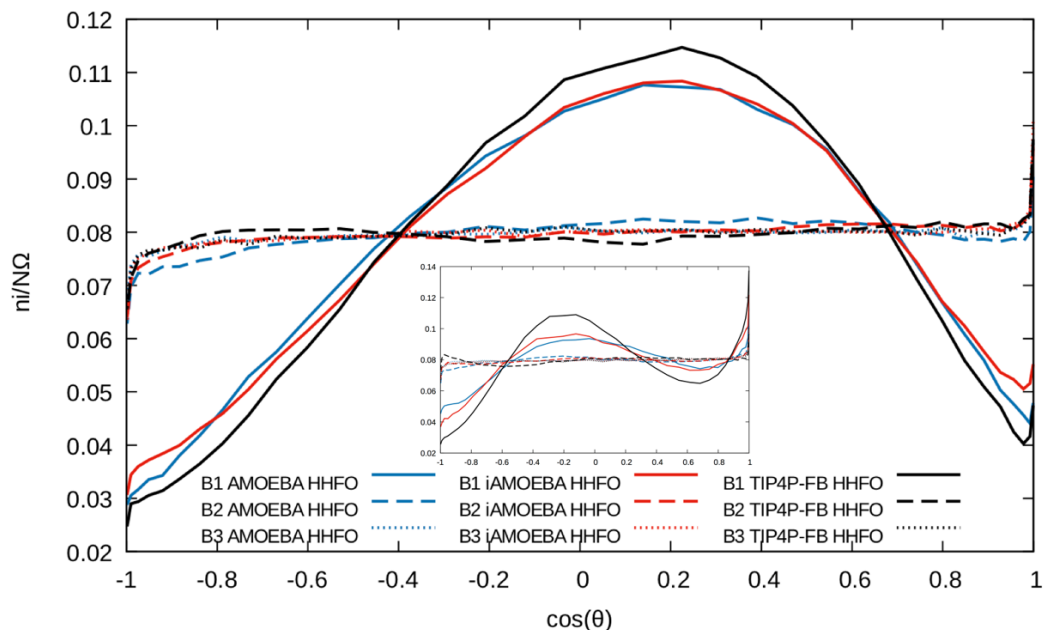


Figura 26 Orientaciones de las moléculas de agua en presencia de una superficie HHFO. Los bloques 1, 2 y 3, se representan con línea continua, línea a trozos y línea punteada, respectivamente. El modelo AMOEBA en color azul, en rojo el iAMOEBA y en negro el TIP4P-FB. En el gráfico más pequeño se presenta la distribución del vector de enlace OH y en el gráfico principal, la distribución para el momento dipolar de la molécula de agua.

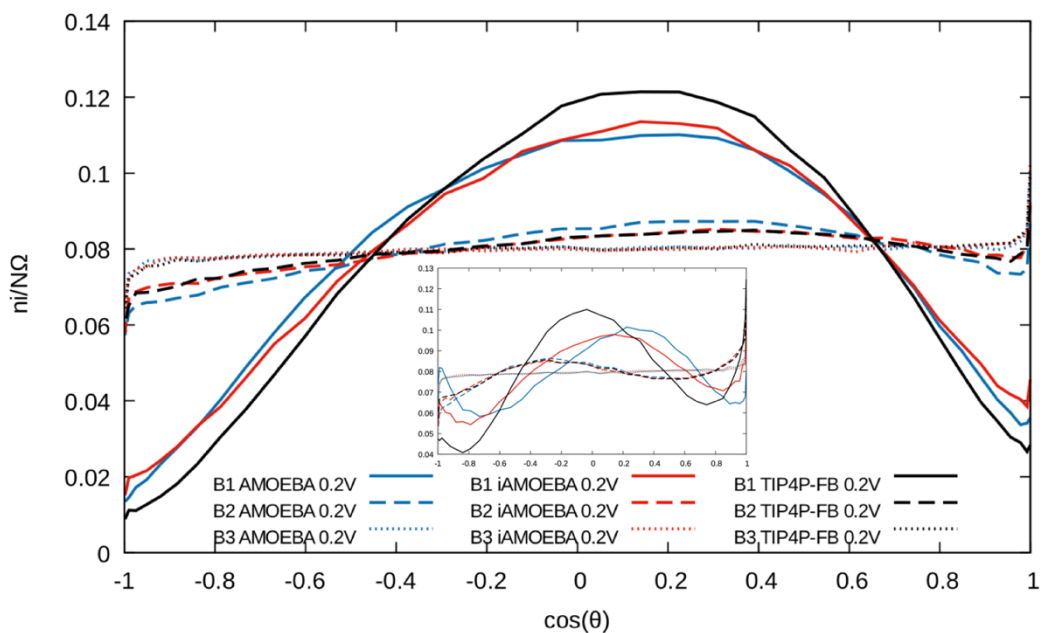


Figura 25 Orientaciones de las moléculas de agua en presencia de superficies con potencial de 0.2 V. Los bloques 1, 2 y 3, se representan con línea continua, línea a trozos y línea punteada, respectivamente. El modelo AMOEBA en color azul, en rojo el iAMOEBA y en negro el TIP4P-FB. En el gráfico más pequeño se presenta la distribución del vector de enlace OH y en el gráfico principal, la distribución para el momento dipolar.

Las figuras 26, 27 y 28 corresponden a los gráficos de las orientaciones del momento dipolar del agua y en los recuadros de cada uno, la orientación del vector de enlace OH. Las tres distribuciones muestran un comportamiento muy similar tanto para la orientación del dipolo del agua como para el vector de enlace OH. Es posible notar que a mayor campo (0.8V) la distribución se desplaza hacia valores ligeramente más grandes de $\cos(\theta)$ lo que sugeriría un mayor número de moléculas alineadas con el campo. El efecto de las paredes cargadas es de mayor alcance que el de la pared hidrofóbica. Es posible observar que en el caso HHFO, en el bloque 2 se ha recuperado el comportamiento del bulto mientras que en los sistemas sujetos a un campo eléctrico, el perfil de orientaciones del bloque 2 todavía no se comporta como el bulto. Esta diferencia se magnifica en la orientación del vector OH que se muestra en los gráficos más pequeños. En el bloque 1, los modelos flexibles tienen una respuesta completamente opuesta a la del modelo TIP4P-FB, esto se atribuye al tipo de polarización que cada modelo tiene y que está siendo perturbada por las densidades de carga superficial, por ejemplo, los enlaces OH del

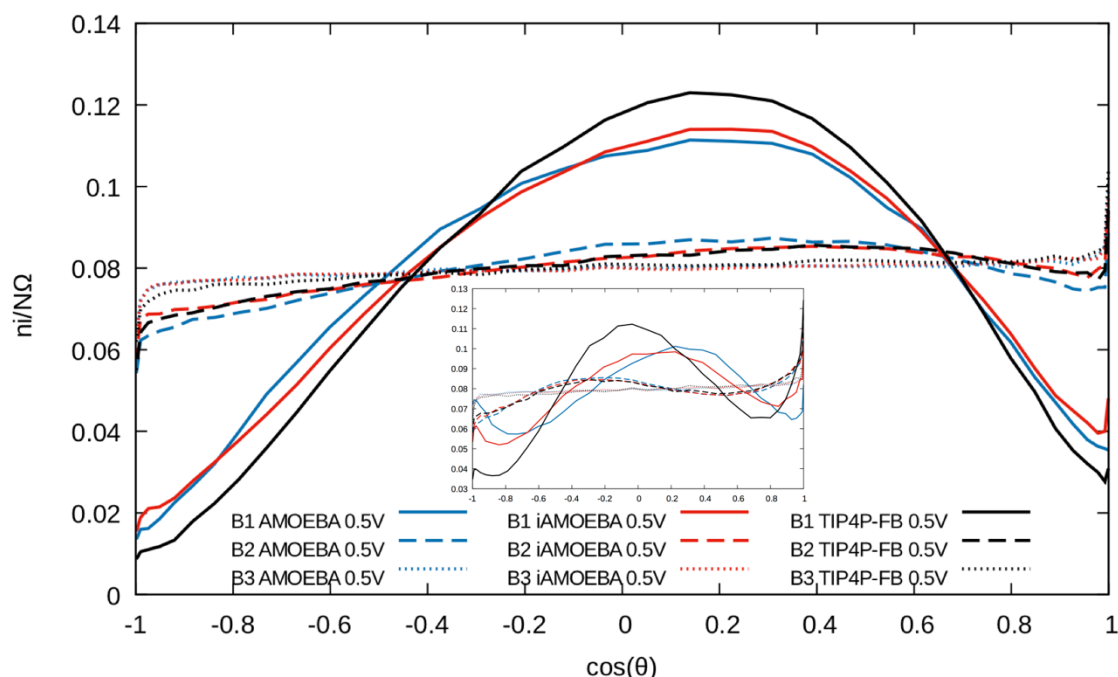


Figura 27 Orientaciones de las moléculas de agua en presencia de una superficie con potencial de 0.5 V. Los bloques 1, 2 y 3, se representan con línea continua, línea a trozos y línea punteada, respectivamente. El modelo AMOEBA en color azul, en rojo el iAMOEBA y en negro el TIP4P-FB. En el gráfico más pequeño se presenta la distribución del vector de enlace OH y en el gráfico principal, la distribución para el momento dipolar de la molécula de agua

modelo con polarización mutua, AMOEBA, se orientan preferentemente hacia fuera de la superficie y esto es menos marcado al utilizar el modelo iAMOEBA.

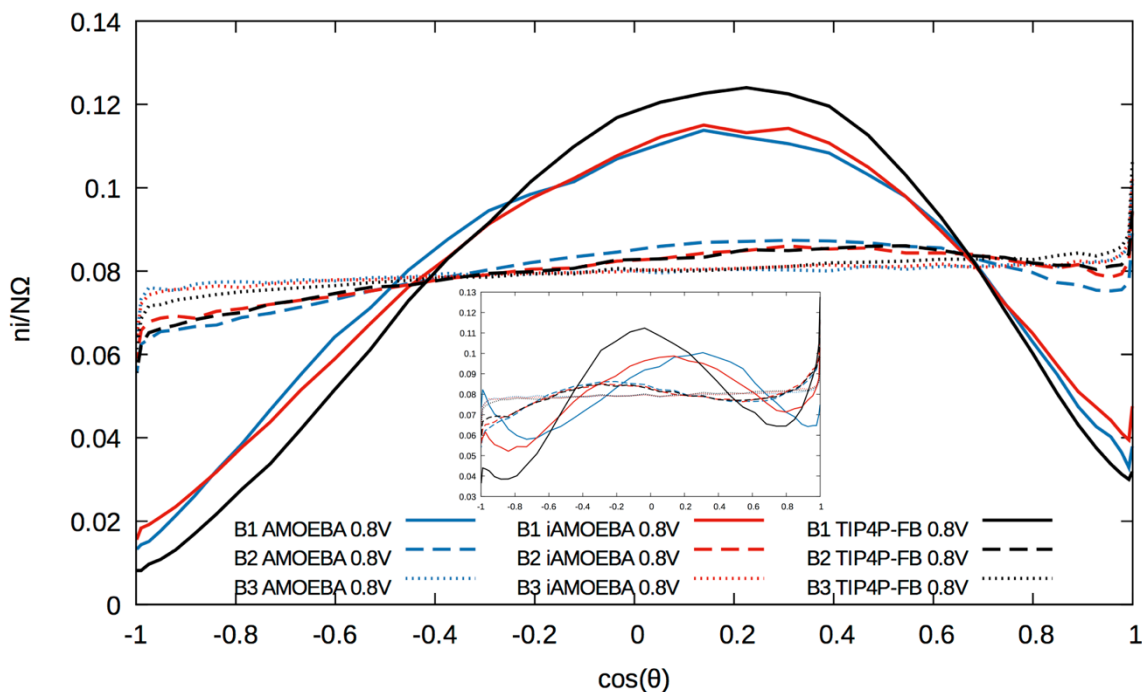


Figura 28 Orientaciones de las moléculas de agua en presencia de una superficie con potencial de 0.8 V. Los bloques 1, 2 y 3, se representan con línea continua, línea a trozos y línea punteada, respectivamente. El modelo AMOEBA en color azul, en rojo el iAMOEBA y en negro el TIP4P-FB. En el gráfico más pequeño se presenta la distribución del vector de enlace OH y en el gráfico principal, la distribución para el momento dipolar de la molécula de agua

La hidratación hidrofílica (Figura 29) es un caso especial, ya que las moléculas cercanas a la superficie tienen dos orientaciones preferenciales. Las distribuciones son angostas, lo que indica que los dipolos están más ordenados en comparación con las superficies anteriores. En el modelo TIP4P-FB, el dipolo está paralelo a la superficie y hay dos posibilidades de la orientación de los hidrógenos: 1) los dos están paralelos al plano o 2), solo uno apunta hacia afuera. También puede suceder que el dipolo apunte hacia afuera de la superficie, es decir, los dos enlaces OH estarían apuntando hacia el segundo bloque.

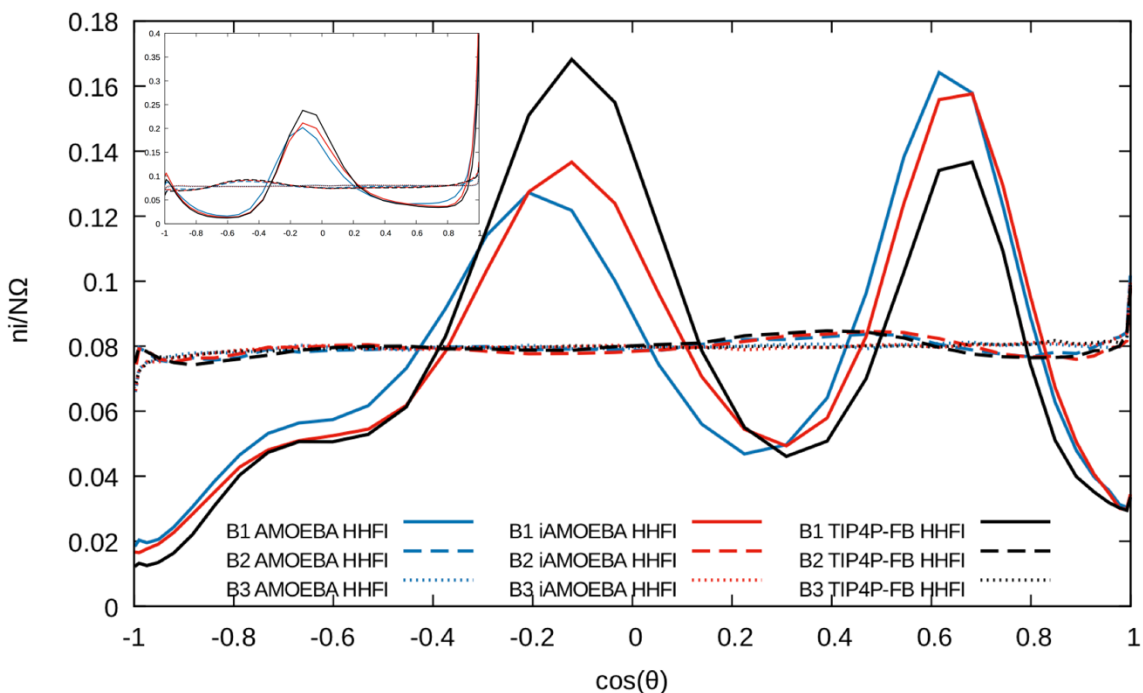


Figura 29 Orientaciones de las moléculas de agua en presencia de una superficie H₂F₂. Los bloques 1, 2 y 3, se representan con línea continua, línea a trazos y línea punteada, respectivamente. El modelo AMOEBa en color azul, en rojo el iAMOEBa y en negro el TIP4P-FB. En el gráfico más pequeño se presenta la distribución del vector de enlace OH y en el gráfico principal, la distribución para el momento dipolar de la molécula de agua

En los modelos flexibles sucede lo contrario, es más probable encontrar dipolos apuntando hacia fuera de la superficie, con un OH perpendicular al plano y el otro casi paralelo al plano. Las moléculas que aparecen en el segundo bloque, líneas a trazos, no tienen un comportamiento de bulto y podría suponerse que se debe a su papel como moléculas de intercambio, es decir, son aquellas que entran y salen de la primera capa de solvatación de la superficie.

4.5 Coeficiente de auto-difusión

El coeficiente de auto-difusión fue calculado para la celda con cada uno de los modelos de superficie. Se observa que en los tres potenciales de agua la diferencia porcentual es del 62 al 70%; esto indica que las superficies se oponen al desplazamiento de las moléculas en la dirección Y , por lo que no pueden moverse como en el bulto porque el volumen disponible es menor que en agua pura.

MODELO DE AGUA	D Bulto [cm ² /s]	D HHFO [cm ² /s]	D HHFI [cm ² /s]	D 0.2 V [cm ² /s]	D 0.5 V [cm ² /s]	D 0.8 V [cm ² /s]
AMOEBA	2.0x10 ⁻⁵	7.7 (-62)	7.7 (-62)	7.6 (-62)	7.7 (-62)	7.8 (-61)
iAMOEBA	2.2x10 ⁻⁵	7.4 (-63)	7.1 (-65)	7.1 (-65)	7.3 (-64)	7.5 (-63)
TIP4P-FB	2.2x10 ⁻⁵	6.3 (-70)	6.5 (-69)	6.5 (-69)	6.5 (-69)	6.6 (-69)

Tabla 10 Coeficiente de auto-difusión de agua líquida y de los tipos de superficies: hidrofóbica (HHFO); hidrofílica (HHFI); cargada eléctricamente con potenciales de 0.2 V, 0.5 V y 0.8 V. Entre paréntesis, se muestra la diferencia porcentual entre el bulto y el agua entre las superficies. Todos los valores de las superficies deben multiplicarse por el factor 1×10^{-6} .

4.6 Constante Dieléctrica

La respuesta dieléctrica depende de la fluctuación del momento dipolar del sistema. En la tabla 11 se muestran los valores de la constante dieléctrica siguiendo la metodología propuesta por Neumann. De acuerdo con los análisis de orientaciones y del perfil de densidad, se observa que el efecto generado por las superficies hacia el disolvente es de confinamiento. Los dipolos moleculares tienen menos libertad de movimiento en comparación con el bulto, es decir, oscilan menos; esto se traduce en tener dipolos alineados con las superficies y, por lo tanto, la ϵ es menor que en el bulto (ver imágenes 29, 30 y 31).

Por un lado, en los tres modelos con superficies HHFO o HHFI, se observa que la resistividad del medio disminuye del 23 al 26% en comparación con el bulto. Por el otro, en las superficies cargadas hay una relación directa entre el campo generado y la constante dieléctrica, es decir, a menor voltaje la ϵ es más pequeña que a campos mayores. Los modelos flexibles presentan este comportamiento, pero siempre están por debajo del valor para el bulto. A diferencia del modelo TIP4P-FB, que en la superficie con 0.8 V la ϵ es mayor que en el bulto (+3%).

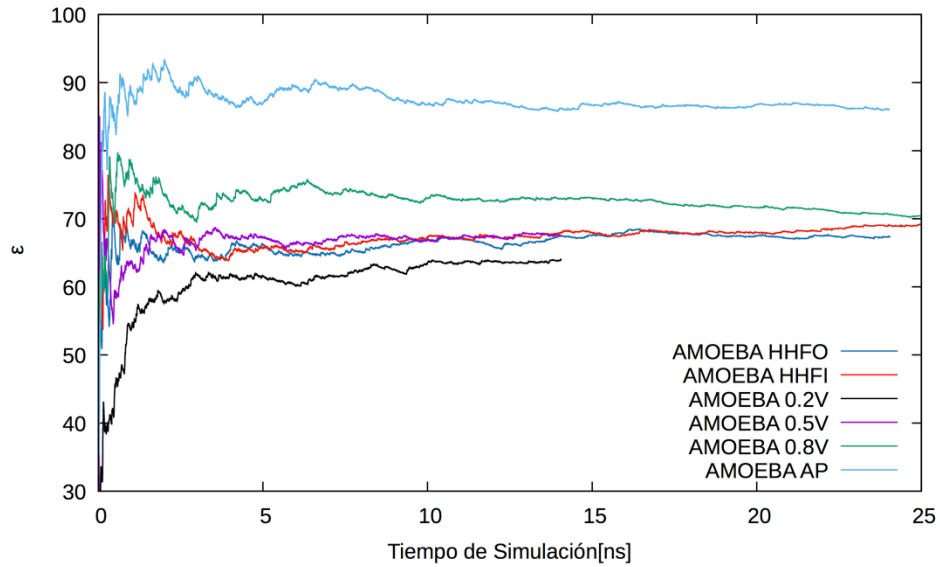


Figura 30 Constante dieléctrica del modelo AMOEBA contra el tiempo de simulación. En color azul rey se muestra el promedio acumulado de la ϵ en el sistema con superficie hidrofóbica; en rojo la hidrofílica; en negro la superficie con potencial 0.2 V; en morado con 0.5 V y en verde 0.8 V. En color azul se grafica la ϵ para el agua bulto.

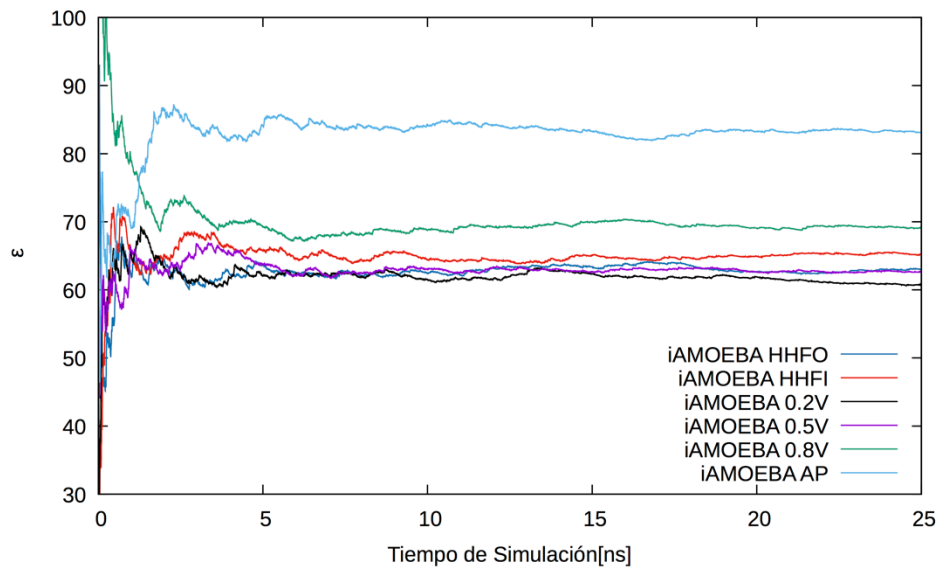


Figura 31 Promedio acumulado de la constante dieléctrica del modelo iAMOEBA contra el tiempo de simulación. El código de colores es el siguiente: en color azul rey para el sistema con superficie hidrofóbica; en rojo la hidrofílica; en negro con potencial de 0.2 V; en morado con 0.5 V y en verde 0.8 V. En color azul cielo se grafica la ϵ para el agua bulto.

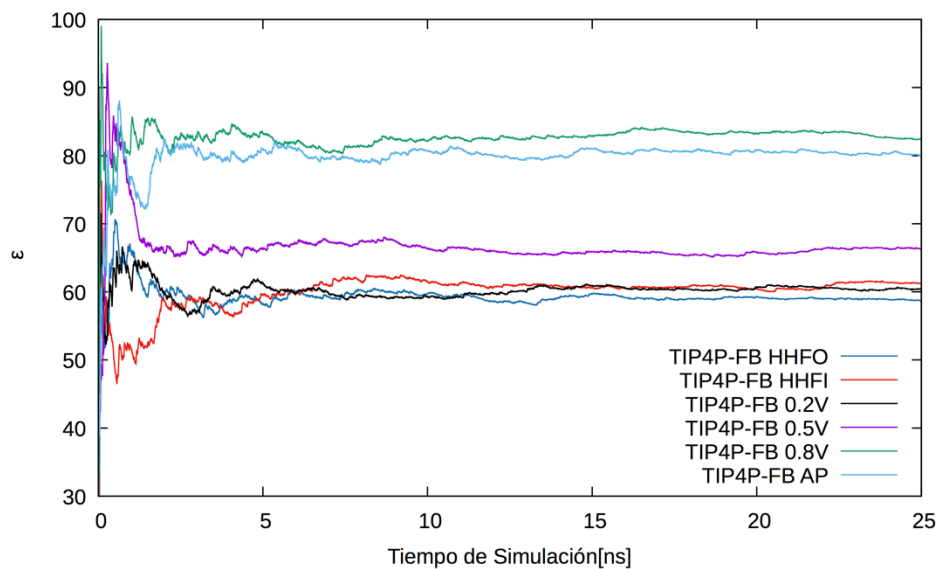


Figura 32 Constante dieléctrica del modelo TIP4P-FB contra el tiempo de simulación. El código de colores es el siguiente: en color azul rey el promedio acumulado de la ϵ en el sistema con superficie hidrofóbica; en rojo la hidrofílica; en negro con potencial de 0.2 V; en morado con 0.5 V y en verde, 0.8 V. La ϵ del agua bulto se grafica en color azul cielo.

MODELO DE AGUA	ϵ Bulto	ϵ HHFO	ϵ HHFI	ϵ 0.2 V	ϵ 0.5 V	ϵ 0.8 V
AMOEBA	86.7 ± 0.5	66.7 ± 0.5	67.4 ± 0.4	63.5 ± 0.5	67.3 ± 0.3	72.9 ± 0.2
		(-23.1)	(-22.3)	(-26.8)	(-22.4)	(-15.9)
iAMOEBA	83.9 ± 0.4	63.0 ± 0.5	64.5 ± 0.4	62.1 ± 0.6	62.9 ± 0.2	69.2 ± 0.4
		(-24.9)	(-23.)	(-26.0)	(-25.0)	(-17.5)
TIP4P-FB	80.2 ± 0.5	59.2 ± 0.5	61.1 ± 0.4	59.9 ± 0.6	66.0 ± 0.5	82.6 ± 0.2
		(-26.2)	(-23.8)	(-25.3)	(-17.7)	(+3.0)

Tabla 11 Constante dieléctrica del bulto; las superficies hidrofóbica (HHFO) e hidrofílica (HHFI) y las superficies cargadas por un potencial de 0.2 V, 0.5 V y 0.8 V. La diferencia porcentual entre el valor calculado para la superficie y el bulto esta entre paréntesis. Los valores mostrados se obtuvieron en el lapso de 10 a 15 ns en los promedios acumulados de la constante dieléctrica.

4.7 Mapas Estructurales

En la siguiente imagen, se muestran los vecinos que hidratan a la superficie a una distancia máxima de 5 Å de ella: a) hidrofóbica y b) hidrofílica (línea en color azul). (ver anexo 7.26).

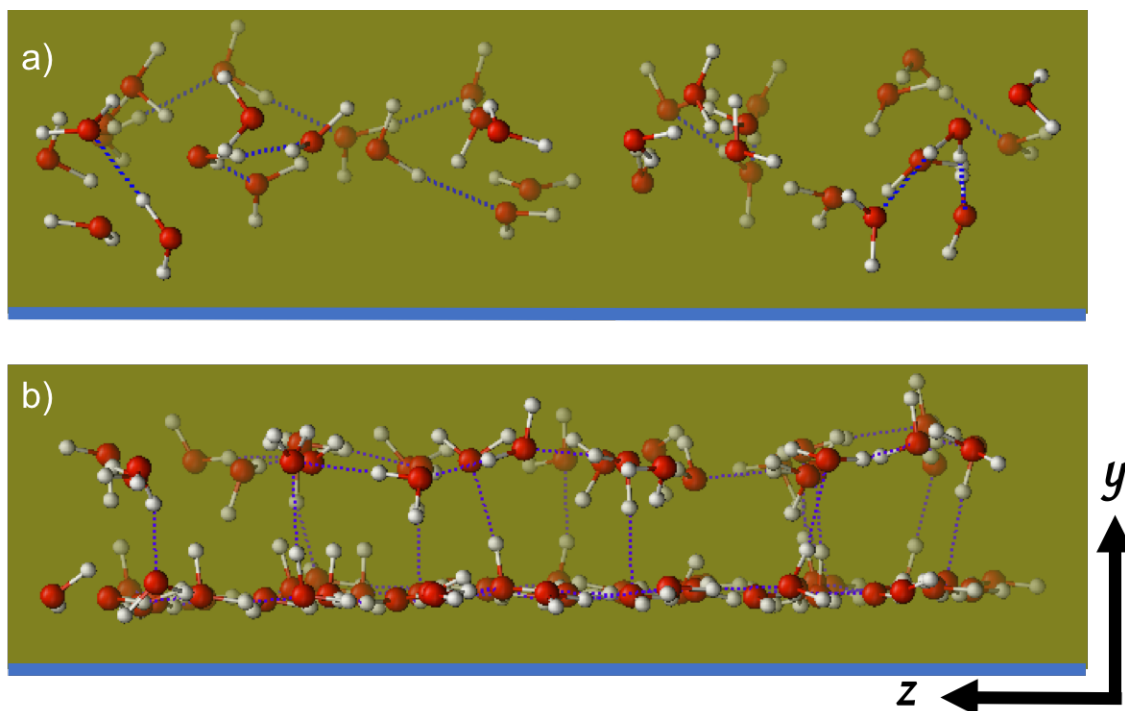


Figura 33 Distribución de las moléculas de agua cerca de la superficie (línea en color azul): a) superficie hidrofóbica y b) superficie hidrofílica.

En la imagen anterior (imágenes obtenidas con VMD¹¹²), se observa que en la superficie hidrofílica hay una primera capa de vecinos bien definida, se formó una red de enlaces de hidrógeno entre primeros vecinos, que presentan una orientación tipo “*dangling proton*”, con una segunda capa. En 2017, Willard *et al.* encontraron que el cambio de moléculas de agua entre la primera y segunda capa es un evento raro, ya que las aguas en primera capa permanecen allí durante casi 40 ns¹¹³. En la siguiente imagen (34) se muestra que, en la superficie hidrofílica (gráfico del lado derecho), las moléculas de agua permanecen algunos pares de ns en la primera capa de solvatación, sin embargo, los tiempos son menores en comparación con lo

reportado por Willard. Lo anterior se atribuye a dos cosas: 1) el modelo de electrodo propuesto tiene estructura y 2) la fase sólida responde a la fase líquida y viceversa. Por el contrario, en la superficie hidrofóbica (gráfico del lado izquierdo), el cambio entre las moléculas de primera capa y capas subsecuentes sucede con mayor frecuencia.

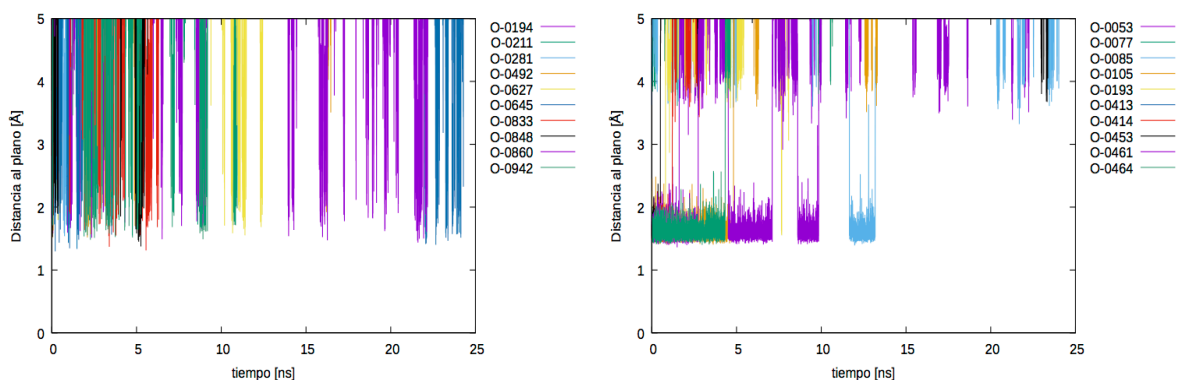


Figura 34 Distancia a la pared contra el tiempo de simulación. Se grafican las distancias de diez átomos de oxígeno que están en la primera configuración de toda la trayectoria. En la gráfica del lado izquierdo, se muestran las distancias a la superficie hidrofóbica y del lado derecho, las distancias a la superficie hidrofílica. Los oxígenos de cada molécula son diferentes para cada superficie.

En los modelos de electrodo implementados en este proyecto no se considera la respuesta ante la fase líquida.

En las figuras 35 y 36, se muestra la probabilidad de encontrar una molécula de agua cerca de las caras X , Z de la celda de simulación. La gráfica de la izquierda corresponde al análisis hecho para la superficie en el plano π_1 y la imagen de la derecha para el plano π_2 (ver sección 3.3). Las caras se dividieron en una malla de 38×38 y se consideró la posición de los oxígenos que están a una distancia menor de 3 \AA de la superficie, es decir, aquellas moléculas que pertenecen a la primera capa de hidratación (ver anexo 7.25). En la figura 35, se observa que en los tres modelos de agua hay regiones donde es más probable encontrar moléculas de agua cerca de la superficie. Esto se atribuye a características intrínsecas del potencial, es decir, es la propia respuesta de cada potencial para minimizar el efecto de las paredes sobre la fase líquida.

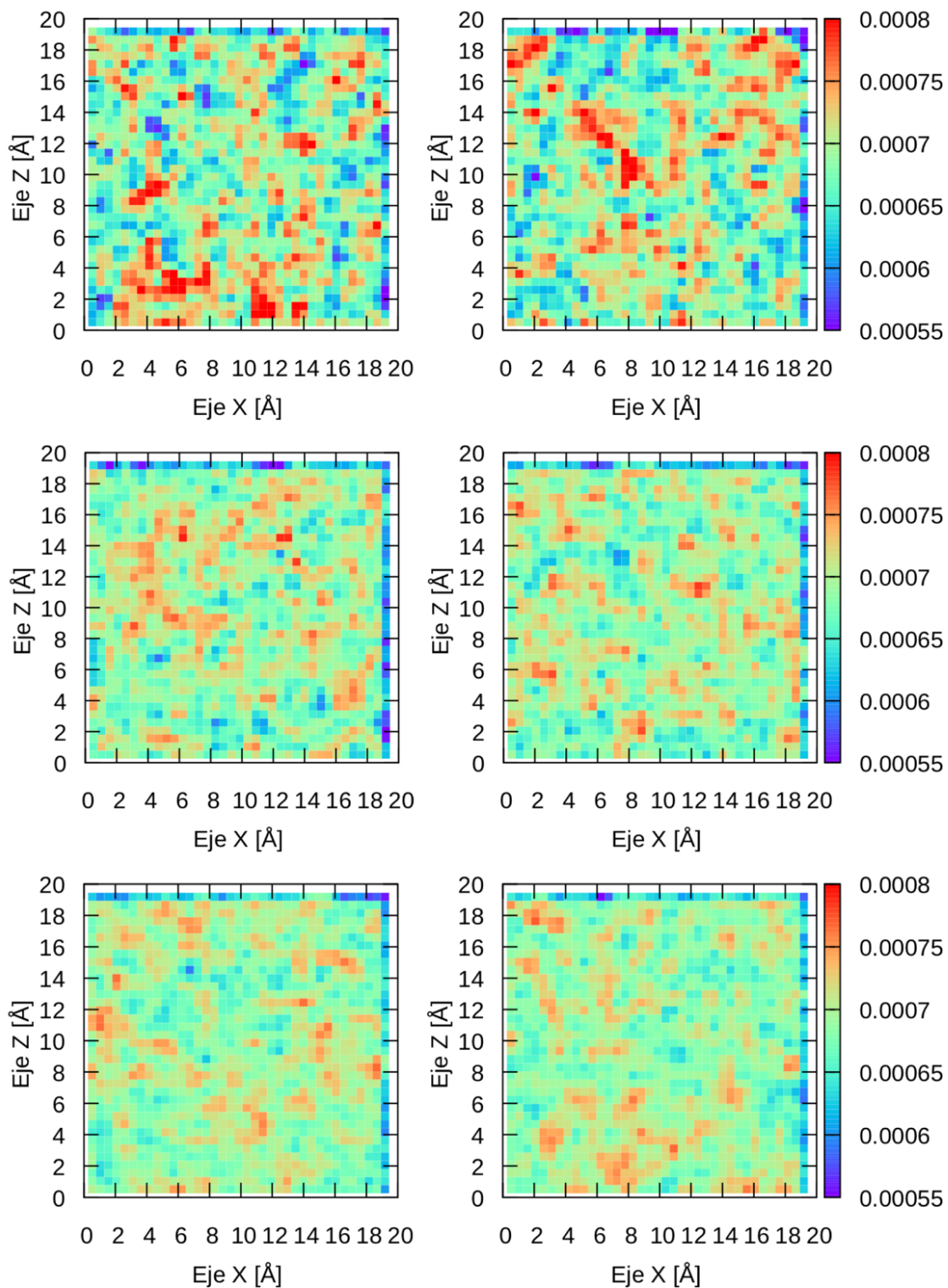


Figura 35 Mapas bidimensionales que muestran la estructura del agua líquida ante las superficies hidrofóbicas. El gráfico del lado izquierdo corresponde al análisis hecho para la superficie en $y = 0$ y del lado derecho la superficie en $y = l_y$. Los gráficos superiores corresponden al modelo AMOEBA, en el medio al modelo iAMOEBA y los inferiores al TIP4P-FB.

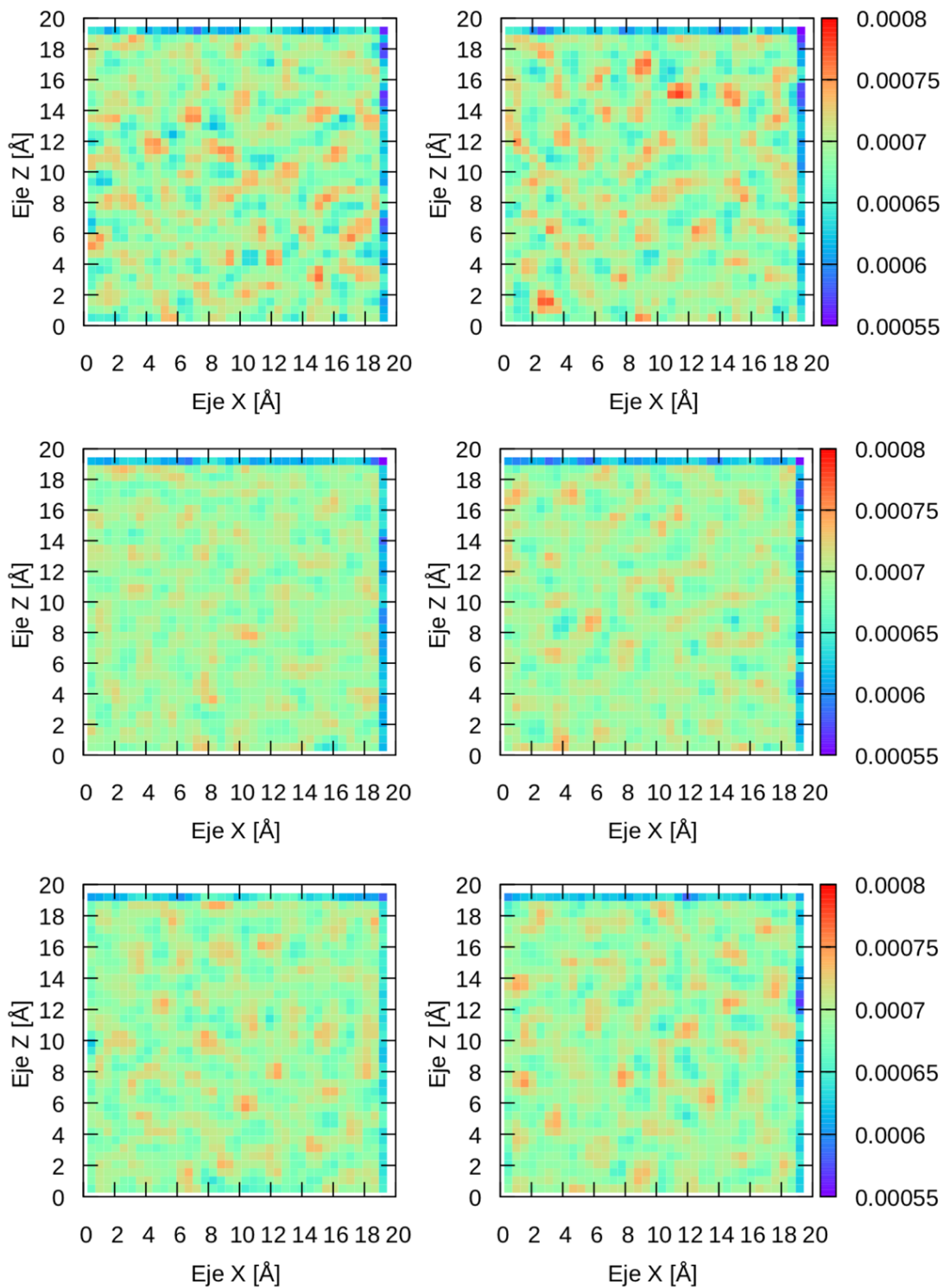


Figura 36 Mapas bidimensionales que muestran la estructura del agua líquida ante las superficies hidrofílicas. El gráfico del lado izquierdo corresponde al análisis hecho para la superficie en $y = 0$ y del lado derecho la superficie en $y = l_y$. Los gráficos superiores corresponden al modelo AMOEBA, en el medio al modelo iAMOEBA y los inferiores al TIP4P-FB.

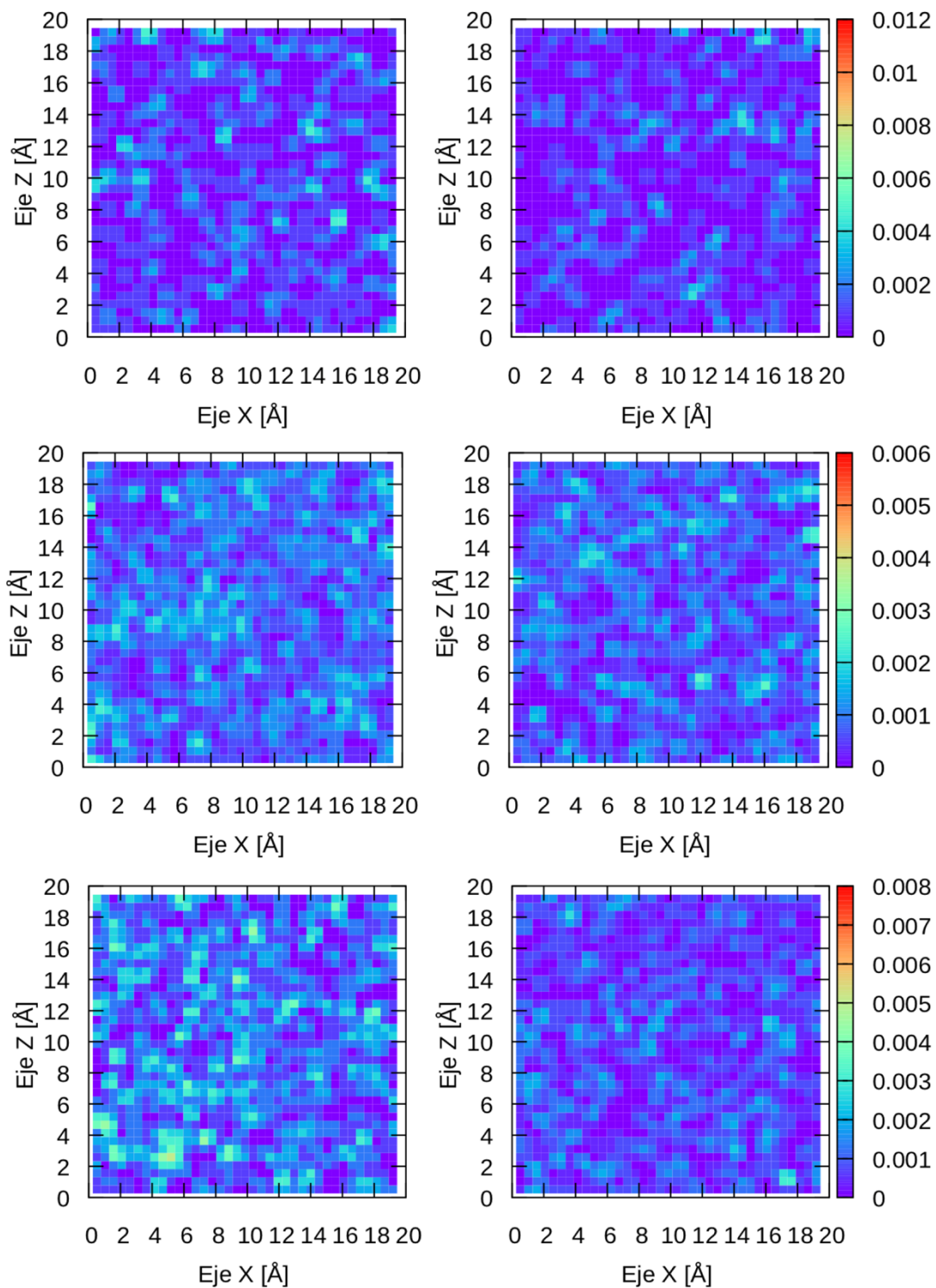


Figura 37 Mapas bidimensionales que muestran la estructura del agua líquida ante las superficies cargadas con el potencial de 0.5 V. El gráfico del lado izquierdo corresponde al análisis hecho para la superficie en $y = 0$ y del lado derecho la superficie en $y = l_y$. Los gráficos superiores corresponden al modelo AMOEBA, en el medio al modelo iAMOEBA y los inferiores al TIP4P-FB.

En las figuras 36 y 37, se observa que hay zonas predominantes donde están las aguas, pero los patrones no son semejantes entre sí. En los mapas de la superficie cargada se muestra que las probabilidades son menores en comparación con la superficie HHFI y la HHFO, esto se debe a que hay un menor número de aguas en la distancia máxima de análisis que se consideró.

En los tres mapas bidimensionales mostrados se puede decir que, las zonas con mayor probabilidad contiguas forman enlaces de hidrógeno bidimensionales, sin embargo, este análisis no es suficiente para mostrarlo. Por ejemplo, Bellarosa *et al.* estudiaron por DM la interfase metal-agua y caracterizaron la estructura en primera capa aplicando el método de Voronoi (triangulación de puntos); en esa región encontraron que las moléculas de agua forman polígonos irregulares de entre 4 y 7 lados¹⁴.

CAPÍTULO CINCO

CONCLUSIONES

5. CONCLUSIONES

La metodología resultante de este proyecto se alcanzó después de numerosas pruebas y tiene las siguientes ventajas:

- La forma en que se implementan los potenciales de interacción de la superficie con el disolvente en OpenMM favorece la prueba de distintas expresiones.
- La versatilidad de los modelos de agua implementados es importante en los casos en los que se desea conocer el efecto de algún grado de libertad particular sobre el fenómeno de estudio.

En el caso particular que estudiamos:

- Se han determinado los tiempos necesarios para alcanzar el equilibrio de sistemas ante superficies con diferentes características.
- Se obtuvieron configuraciones iniciales, de los sistemas de estudio, donde diferentes propiedades han alcanzado el equilibrio.

El análisis de los diferentes modelos de agua ante superficies (con características diferentes de solvatación) mostró lo siguiente:

- La hidratación de la superficie puede ser de tipo hidrofóbico, donde las moléculas de agua son desplazadas hacia el seno de la disolución y la hidratación hidrofílica, que compite contra la red tridimensional de enlaces de hidrógeno, porque genera una primera capa de vecinos bien definida y el efecto de este orden influye en la formación de la red de enlaces de hidrógeno para capas posteriores y en la respuesta global medida con diferentes propiedades.
- La respuesta del disolvente, en este caso analizada como función de la distancia a la superficie sólida muestra que, la FDR por celda no refleja cambios significativos en comparación con la FDR del bulbo; esto se debe a que el efecto de la pared es de corto alcance ($<13 \text{ \AA}$) y no tiene suficiente peso en el promedio estadístico, sin embargo, se observaron diferencias sutiles.

- La energía necesaria para cambiar de fase líquida a gas, en el sistema con superficies hidrofílicas, requiere más del 1.4% de energía comparada con el bulto y con las otras paredes. Entre las paredes opuestas de la celda se reduce el volumen disponible en 1.86% y, la respuesta estructural depende de las características del modelo de agua. Los modelos rígidos requieren de un radio efectivo cercano al valor del enlace O-H; al disminuir el volumen disponible aumenta la densidad en el centro de la celda, pero el efecto de acumulación depende del tipo de superficie. Tanto la superficie HHFO como la HHFI, muestran que el aumento de densidad es más pronunciado en zonas cercanas a la superficie; sin embargo, las superficies cargadas generan un efecto únicamente de desplazamiento. Por el contrario, los modelos flexibles responden homogéneamente a la acumulación. Lo anterior es menos marcado para la superficie HHFI, porque la primera capa amortigua el efecto de la pared y en capas subsecuentes, la densidad es menor a la del bulto.
- Debido a que la pared HHFI impone la primera capa, hay dos orientaciones preferenciales en esta región: 1) la orientación donde las moléculas crean una red bidimensional de enlaces de hidrógeno (más probable para TIP4P-FB) y, 2) donde las aguas se orientan hacia afuera de la superficie y favorecen la formación de la red tridimensional (más probable en los modelos polarizables). No hay una orientación del dipolo más probable en las superficies cargadas y la HHFO, ya que los picos son más anchos y hay más orientaciones disponibles. Sin embargo, se cree que la orientación de los hidrógenos es el resultado de considerar la interacción de vdW y una descripción rigurosa de la polarización en los modelos de agua. Por lo tanto, los estudios previos hechos con modelos rígidos que no consideran el tratamiento de la polarización, no tienen una descripción completa de lo que sucede en la interfase agua-sólido.
- Las superficies restringen el movimiento de las moléculas en una dirección y esa restricción es tan marcada que conduce a un valor promedio de toda la celda un 70% menos. Tanto la disminución del movimiento y del volumen

efectivo como la polarización de los modelos de agua generan fluctuaciones menores en la orientación de las moléculas. La respuesta dieléctrica del medio es $\approx 20\%$ menor que en el bulto, es decir, permiten que la corriente eléctrica fluya más rápido en sistemas con superficies que en agua bulto.

En sistemas de agua ante superficies, estudiados por DM, no es posible, todavía, hacer un análisis por bloque para cualquier propiedad debido a la forma en que se calculan y la absoluta necesidad de contar con suficiente estadística para que el cálculo tenga sentido. Sin embargo, la metodología y las herramientas de análisis desarrolladas (ver sección 7) sirven para caracterizar con detalle molecular la estructura y dinámica de interfases acuosas.

CAPÍTULO SEIS

BIBLIOGRAFÍA

6. BIBLIOGRAFÍA

1. Butt, H.-J., Graf, K. & Kappl, M. *Física y Química de Interfases*. (2003).
2. Edwards, M., Triantafyllidou, S. & Best, D. Elevated Blood Lead in Young Children Due to Lead-Contaminated Drinking Water: Washington, DC, 2001–2004. *Environ. Sci. Technol.* **43**, 1618–1623 (2009).
3. Kesavan, D., Gopiraman, M. & Sulochana, N. Green inhibitors for corrosion of metals: A review. *Chem. Sci. Rev. Lett* **1**, 1–8 (2012).
4. Rani, B. E. A. & Basu, B. B. J. Green Inhibitors for Corrosion Protection of Metals and Alloys: An Overview. *Int. J. Corros.* **2012**, 1–15 (2012).
5. Conway, B. E. Transition from “Supercapacitor” to “Battery” Behavior in Electrochemical Energy Storage. *J. Electrochem. Soc.* **138**, 1539 (1991).
6. Harnett, C. K., Templeton, J., Dunphy-Guzman, K. A., Senousy, Y. M. & Kanouff, M. P. Model based design of a microfluidic mixer driven by induced charge electroosmosis. *Lab Chip* **8**, 565 (2008).
7. Liu, Y., Wiek, A., Dzhagan, V. & Holze, R. Improved Electrochemical Behavior of Amorphous Carbon-Coated Copper/CNT Composites as Negative Electrode Material and Their Energy Storage Mechanism. *J. Electrochem. Soc.* **163**, A1247–A1253 (2016).
8. Damaskin, B. B. & Petrii, O. A. Historical development of theories of the electrochemical double layer. *J. Solid State Electrochem.* **15**, 1317–1334 (2011).
9. Schmickler, W. Electronic Effects in the Electric Double Layer. 3177–3200 (1996).
10. Bockris, J. O. & Reddy, A. K. N. *Electroquímica Moderna*. (Editorial Reverté S.A., 2003).
11. Taylor, C. D. & Neurock, M. Theoretical insights into the structure and reactivity of the aqueous/metal interface. *Curr. Opin. Solid State Mater. Sci.* **9**,

- 49–65 (2005).
12. Wilson, M. A., Nguyen, T. H. & Pohorille, A. Combining molecular dynamics and an electrodiffusion model to calculate ion channel conductance. *J. Chem. Phys.* **141**, (2014).
 13. Spohr, E. Some recent trends in computer simulations of aqueous double layers. **49**, 23–27 (2003).
 14. Yeh, K.-Y., Janik, M. J. & Maranas, J. K. Molecular dynamics simulations of an electrified water/Pt(111) interface using point charge dissociative water. *Electrochim. Acta* **101**, 308–325 (2013).
 15. Reymond, F., Fermín, D., Lee, H. J. & Girault, H. H. Electrochemistry at liquid/liquid interfaces: methodology and potential applications. *Electrochim. Acta* **45**, 2647–2662 (2000).
 16. Guidelli, R. & Schmickler, W. Recent developments in models for the interface between a metal and an aqueous solution. *Electrochim. Acta* **45**, 2317–2338 (2000).
 17. Shin, S. & Willard, A. P. Characterizing Hydration Properties Based on the Orientational Structure of Interfacial Water Molecules. *J. Chem. Theory Comput.* **14**, 461–465 (2018).
 18. Schnur, S. & Groß, A. Properties of metal–water interfaces studied from first principles. *New J. Phys.* **11**, 125003 (2009).
 19. Li, P. & Merz, K. M. Metal Ion Modeling Using Classical Mechanics. *Chem. Rev.* **117**, 1564–1686 (2017).
 20. Guillot, B. A reappraisal of what we have learnt during three decades of computer simulations on water. *J. Mol. Liq.* **101**, 219–260 (2002).
 21. Onufriev, A. V. & Izadi, S. Water models for biomolecular simulations. *Wiley Interdiscip. Rev. Comput. Mol. Sci.* e1347 (2017). doi:10.1002/wcms.1347
 22. Saint-Martin, H., Hernández-Cobos, J., Bernal-Uruchurtu, M. I., Ortega-Blake, I. & Berendsen, H. J. C. A mobile charge densities in harmonic oscillators

- (MCDHO) molecular model for numerical simulations: The water–water interaction. *J. Chem. Phys.* **113**, 10899–10912 (2000).
23. Ren, P. & Ponder, J. W. Polarizable Atomic Multipole Water Model for Molecular Mechanics Simulation. *J. Phys. Chem. B* **107**, 5933–5947 (2003).
 24. Pauling, L. *General chemistry*. (W. H. Freeman and Company, 1988).
 25. Bernal, J. D. & Fowler, R. H. A Theory of Water and Ionic Solution, with Particular Reference to Hydrogen and Hydroxyl Ions. *J. Chem. Phys.* **1**, 515–548 (1933).
 26. Willard, A. P., Reed, S. K., Madden, P. A. & Chandler, D. Water at an electrochemical interface—a simulation study. *Faraday Discuss.* **141**, 423–441 (2009).
 27. Jedlovsky, P., Předota, M. & Nezbeda, I. Hydration of Apolar Solutes of Varying Size: a Systematic Study. *Mol. Phys.* **104**, 2465–2476 (2006).
 28. Guymon, C. G., Rowley, R. L., Harb, J. N. & Wheeler, D. R. Simulating an electrochemical interface using charge dynamics. **8**, 335–356 (2005).
 29. Chang, R. & College, W. *Química*. (Mc Graw Hill, 2002).
 30. Kohlmeyer, A., Hartnig, C. & Spohr, E. Orientational correlations near interfaces. Computer simulations of water and electrolyte solutions in confined environments. *J. Mol. Liq.* **78**, 233–253 (1998).
 31. Björneholm, O. *et al.* Water at Interfaces. *Chem. Rev.* **116**, 7698–7726 (2016).
 32. Lee, C., McCammon, J. A. & Rossky, P. J. The structure of liquid water at an extended hydrophobic surface. *J. Chem. Phys.* **80**, 4448–4455 (1984).
 33. Stillinger, F. H. & Rahman, A. Improved simulation of liquid water by molecular dynamics. *J. Chem. Phys.* **60**, 1545–1557 (1974).
 34. Marcus, Y. Effect of Ions on the Structure of Water: Structure Making and Breaking. *Chem. Rev.* **109**, 1346–1370 (2009).
 35. Spohr, E. & Heinzinger, K. Molecular dynamics simulation of a water/metal

- interface. *Chem. Phys. Lett.* **123**, 218–221 (1986).
36. Kong, C. L. Combining rules for intermolecular potential parameters. II. Rules for the Lennard-Jones (12–6) potential and the Morse potential. *J. Chem. Phys.* **59**, 2464–2467 (1973).
 37. Jorgensen, W. L., Chandrasekhar, J., Madura, J. D., Impey, R. W. & Klein, M. L. Comparison of simple potential functions for simulating liquid water. *J. Chem. Phys.* **79**, 926–935 (1983).
 38. Halicioglu, T. & Pound, G. M. Calculation of potential energy parameters from crystalline state properties. *Phys. Status Solidi* **30**, 619–623 (1975).
 39. Spohr, E. Computer simulation of the water/platinum interface. *J. Phys. Chem.* **93**, 6171–6180 (1989).
 40. Bopp, P., Jancsó, G. & Heinzinger, K. An improved potential for non-rigid water molecules in the liquid phase. *Chem. Phys. Lett.* **98**, 129–133 (1983).
 41. Hautman, J., Halley, J. W. & Rhee, Y. -J. Molecular dynamics simulation of water between two ideal classical metal walls. *J. Chem. Phys.* **91**, 467–472 (1989).
 42. Toukan, K. & Rahman, A. Molecular-dynamics study of atomic motions in water. *Phys. Rev. B* **31**, 2643–2648 (1985).
 43. Spohr, E. Molecular simulation of the electrochemical double layer. *Electrochim. Acta* **44**, 1697–1705 (1999).
 44. Bernal-Uruchurtu, M. I. & Ortega-Blake, I. A refined Monte Carlo study of Mg²⁺ and Ca²⁺ hydration. *J. Chem. Phys.* **103**, 1588–1598 (1995).
 45. Mao, Y., Demerdash, O., Head-Gordon, M. & Head-Gordon, T. Assessing Ion–Water Interactions in the AMOEBA Force Field Using Energy Decomposition Analysis of Electronic Structure Calculations. *J. Chem. Theory Comput.* **12**, 5422–5437 (2016).
 46. Martínez, J. M., Pappalardo, R. R. & Sánchez Marcos, E. First-Principles Ion–Water Interaction Potentials for Highly Charged Monatomic Cations.

- Computer Simulations of Al³⁺, Mg²⁺, and Be²⁺ in Water. *J. Am. Chem. Soc.* **121**, 3175–3184 (1999).
47. Jedlovszky, P., Vincze, A. & Horvai, G. New insight into the orientational order of water molecules at the water/1,2-dichloroethane interface: A Monte Carlo simulation study. *J. Chem. Phys.* **117**, 2271 (2002).
 48. Wang, L.-P. *et al.* Systematic Improvement of a Classical Molecular Model of Water. *J. Phys. Chem. B* **117**, 9956–9972 (2013).
 49. Fuentes-Azcatl, R. & Alejandre, J. Non-polarizable force field of water based on the dielectric constant: TIP4P/ε. *J. Phys. Chem. B* **118**, 1263–72 (2014).
 50. Wang, L.-P., Martinez, T. J. & Pande, V. S. Building Force Fields: An Automatic, Systematic, and Reproducible Approach. *J. Phys. Chem. Lett.* **5**, 1885–1891 (2014).
 51. Izadi, S., Anandakrishnan, R. & Onufriev, A. V. Building Water Models: A Different Approach. *J. Phys. Chem. Lett.* **5**, 3863–3871 (2014).
 52. Xiao, S., Figge, F., Stirnemann, G., Laage, D. & McGuire, J. A. Orientational Dynamics of Water at an Extended Hydrophobic Interface. *J. Am. Chem. Soc.* **138**, 5551–5560 (2016).
 53. Duboué-Dijon, E., Fogarty, A. C., Hynes, J. T. & Laage, D. Dynamical Disorder in the DNA Hydration Shell. *J. Am. Chem. Soc.* **138**, 7610–7620 (2016).
 54. Laage, D., Elsaesser, T. & Hynes, J. T. Water Dynamics in the Hydration Shells of Biomolecules. *Chem. Rev.* acs.chemrev.6b00765 (2017). doi:10.1021/acs.chemrev.6b00765
 55. Abascal, J. L. F., Sanz, E., García Fernández, R. & Vega, C. A potential model for the study of ices and amorphous water: TIP4P/Ice. *J. Chem. Phys.* **122**, 234511 (2005).
 56. Kiss, P. T. & Baranyai, A. Sources of the deficiencies in the popular SPC/E and TIP3P models of water. *J. Chem. Phys.* **134**, 054106 (2011).
 57. Jensen, F. *Introduction to Computational Chemistry*. (John Wiley & Sons, Inc,

- 2007).
58. McQuarrie, D. A. *Statistical Thermodynamics*. (Harper & Row, 1973).
 59. Young, D. C. *Computational Chemistry: a Practical Guide for Applying Techniques to Real-World Problems*. (John Wiley & Sons, Inc, 2001).
 60. Frenkel, D. & Smit, B. *Understanding Molecular Simulation from Algorithms to Application*. (Academic Press, 2002).
 61. Grant, G. H. & Richards, W. G. *Computational Chemistry*. (Oxford Science Publication, 1998).
 62. Pathria, R. K. *Statistical Mechanics*. (A. Wheaton & Co. Ltd., 1986).
 63. Leach, A. R. *Molecular Modelling Principles and Applications*. (Pearson Educación S. A., 2001).
 64. Allen, M. P. & Tildesley, D. J. *Computer simulation of liquids*. (Oxford University Press, 1991).
 65. Beale, P. D. & Pathria, R. K. *Statistical Mechanics*. (Elsevier, 2011).
 66. Schlick, T. *Molecular Modeling and Simulation: an Interdisciplinary Guide*. (Springer, 2010).
 67. Tuckerman, M. E. *Statistical Mechanics: Theory and Molecular Simulation*. (Oxford University Press Inc., 2010).
 68. Horn, H. W. *et al.* Development of an improved four-site water model for biomolecular simulations: TIP4P-Ew. *J. Chem. Phys.* **120**, 9665–9678 (2004).
 69. Kaplan, I. G. *Intermolecular Interactions: Physical Picture, Computational Methods and Model Potentials*. (John Wiley & Sons, Ltd, 2006).
 70. Goodman, J. M. *Chemical Applications of Molecular Modelling*. (The Royal Society of Chemistry, 1998).
 71. Halgren, T. A. Potential Energy Functions. *Curr. Opin. Struct. Biol.* **5**, 205–210 (1995).
 72. Darden, T., York, D. & Pedersen, L. Particle mesh Ewald: An $N \cdot \log(N)$

- method for Ewald sums in large systems. *J. Chem. Phys.* **98**, 10089–10092 (1993).
73. Essmann, U. *et al.* A smooth particle mesh Ewald method. *J. Chem. Phys.* **103**, 8577–8593 (1995).
74. Vega, C. & Abascal, J. L. F. Simulating water with rigid non-polarizable models: a general perspective. *Phys. Chem. Chem. Phys.* **13**, 19663 (2011).
75. Laury, M. L., Wang, L.-P., Pande, V. S., Head-Gordon, T. & Ponder, J. W. Revised Parameters for the AMOEBA Polarizable Atomic Multipole Water Model. *J. Phys. Chem. B* **119**, 9423–9437 (2015).
76. Abascal, J. L. F. & Vega, C. A general purpose model for the condensed phases of water: TIP4P/2005. *J. Chem. Phys.* **123**, 234505 (2005).
77. Article, C. Simulating water with rigid non-polarizable models: a general perspective w. **13**, (2011).
78. Wang, L.-P., Chen, J. & Van Voorhis, T. Systematic Parametrization of Polarizable Force Fields from Quantum Chemistry Data. *J. Chem. Theory Comput.* **9**, 452–460 (2013).
79. Wagner, W. & Pruß, A. The IAPWS Formulation 1995 for the Thermodynamic Properties of Ordinary Water Substance for General and Scientific Use. *J. Phys. Chem. Ref. Data* **31**, 387–535 (2002).
80. Fuentes-Azcatl, R. & Alejandre, J. Non-Polarizable Force Field of Water Based on the Dielectric Constant: TIP4P/ε. *J. Phys. Chem. B* **118**, 1263–1272 (2014).
81. Halgren, T. A. The representation of van der Waals (vdW) interactions in molecular mechanics force fields: potential form, combination rules, and vdW parameters. *J. Am. Chem. Soc.* **114**, 7827–7843 (1992).
82. Lacava, F. *Classical Electrodynamics*. (Springer International Publishing, 2016). doi:10.1007/978-3-319-39474-9
83. Shi, Y. *et al.* Polarizable Atomic Multipole-Based AMOEBA Force Field for Proteins. *J. Chem. Theory Comput.* **9**, 4046–4063 (2013).

84. Hugh D., Y. & Freedman, R. A. *Física universitaria, con física moderna volumen 2*. (Pearson Educación S. A., 2009).
85. Tipler, P. A. & Mosca, G. *Physics for Scientists and Engineers*. (W. H. Freeman and Company, 2008).
86. Eastman, P. *et al.* OpenMM 4: A Reusable, Extensible, Hardware Independent Library for High Performance Molecular Simulation. *J. Chem. Theory Comput.* **9**, 461–469 (2013).
87. Eastman, P. *et al.* OpenMM 7: Rapid development of high performance algorithms for molecular dynamics. *PLOS Comput. Biol.* **13**, e1005659 (2017).
88. Lindert, S., Bucher, D., Eastman, P., Pande, V. & McCammon, J. A. Accelerated Molecular Dynamics Simulations with the AMOEBA Polarizable Force Field on Graphics Processing Units. *J. Chem. Theory Comput.* **9**, 4684–4691 (2013).
89. Eastman, P. & Pande, V. Accelerating Development and Execution Speed with Just-in-Time GPU Code Generation. in *GPU Computing Gems Jade Edition* 399–407 (Elsevier, 2012). doi:10.1016/B978-0-12-385963-1.00029-0
90. Friedrichs, M. S. *et al.* Accelerating molecular dynamic simulation on graphics processing units. *J. Comput. Chem.* **30**, 864–872 (2009).
91. Eastman, P. & Pande, V. S. Efficient nonbonded interactions for molecular dynamics on a graphics processing unit. *J. Comput. Chem.* NA-NA (2009). doi:10.1002/jcc.21413
92. Wang, J. & Hou, T. Application of Molecular Dynamics Simulations in Molecular Property Prediction. 1. Density and Heat of Vaporization. *J. Chem. Theory Comput.* **7**, 2151–2165 (2011).
93. Caldwell, J. W. & Kollman, P. A. Structure and Properties of Neat Liquids Using Nonadditive Molecular Dynamics: Water, Methanol, and N-Methylacetamide. *J. Phys. Chem.* **99**, 6208–6219 (1995).
94. Abascal, J. L. F. & Vega, C. A general purpose model for the condensed

- phases of water: TIP4P/2005. *J. Chem. Phys.* **123**, 234505 (2005).
95. Berendsen, H. J. C., Grigera, J. R. & Straatsma, T. P. The missing term in effective pair potentials. *J. Phys. Chem.* **91**, 6269–6271 (1987).
 96. Leontyev, I. V. & Stuchebrukhov, A. A. Electronic Polarizability and the Effective Pair Potentials of Water. *J. Chem. Theory Comput.* **6**, 3153–3161 (2010).
 97. Hinchliffe, A. *Molecular Modelling for Beginners*. (John Wiley & Sons, Ltd, 2013).
 98. Haile, J. M. *Molecular Dynamics Simulation: elementary methods*. (John Wiley & Sons, Inc, 1992).
 99. Ferrara, C. G. & Grigera, T. S. Dynamics and structural behavior of water in large confinement with planar amorphous walls. *J. Chem. Phys.* **147**, 024705 (2017).
 100. Zlenko, D. V. Computing the self-diffusion coefficient for TIP4P water. *Biophysics (Oxf)*. **57**, 127–132 (2012).
 101. Izadi, S., Anandakrishnan, R. & Onufriev, A. V. *Building Water Models : A Different Approach*. (2014).
 102. Fuentes-Azcatl, R., Mendoza, N. & Alejandre, J. Improved SPC force field of water based on the dielectric constant: SPC/?? *Phys. A Stat. Mech. its Appl.* **420**, 116–123 (2015).
 103. Elton, D. C. & Fernández-Serra, M.-V. Polar nanoregions in water: A study of the dielectric properties of TIP4P/2005, TIP4P/2005f and TTM3F. *J. Chem. Phys.* **140**, 124504 (2014).
 104. Joshi, R. P., Qian, J., Schoenbach, K. H. & Schamiloglu, E. Microscopic analysis for water stressed by high electric fields in the prebreakdown regime. *J. Appl. Phys.* **96**, 3617–3625 (2004).
 105. Neumann, M. Dipole moment fluctuation formulas in computer simulations of polar systems. *Mol. Phys.* **50**, 841–858 (1983).

106. Abeyrathne, C. D., Halgamuge, M. N., Farrell, P. M. & Skafidas, E. An ab-initio Computational Method to Determine Dielectric Properties of Biological Materials. *Sci. Rep.* **3**, 1796 (2013).
107. Neumann, M. The dielectric constant of water. Computer simulations with the MCY potential. *J. Chem. Phys.* **82**, 5663–5672 (1985).
108. Neumann, M. Dielectric relaxation in water. Computer simulations with the TIP4P potential. *J. Chem. Phys.* **85**, 1567–1580 (1986).
109. Wu, Y., Tepper, H. L. & Voth, G. A. Flexible simple point-charge water model with improved liquid-state properties. *J. Chem. Phys.* **124**, 024503 (2006).
110. Simonson, T. & Perahia, D. Internal and Interfacial Dielectric Properties of Cytochrome c from Molecular Dynamics in Aqueous Solution. *Natl. Acad. Sci.* **92**, 1082–1086 (1995).
111. Simonson, T. Accurate calculation of the dielectric constant of water from simulations of a microscopic droplet in vacuum. *Chem. Phys. Lett.* **250**, 450–454 (1996).
112. Humphrey, W., Dalke, A. & Schulten, K. VMD - Visual Molecular Dynamics. 33–38 (1996).
113. Limmer, D. T., Willard, A. P., Madden, P. A. & Chandler, D. Water Exchange at a Hydrated Platinum Electrode is Rare and Collective. *J. Phys. Chem. C* **119**, 24016–24024 (2015).
114. Bellarosa, L., García-Muelas, R., Revilla-López, G. & López, N. Diversity at the Water–Metal Interface: Metal, Water Thickness, and Confinement Effects. *ACS Cent. Sci.* **2**, 109–116 (2016).

CAPÍTULO SIETE

ANEXOS

7 ANEXOS

7.1 Script de python para calcular dinámicas moleculares en OpenMM

```
1 from simtk.openmm.app import *
2 from simtk.openmm import *
3 from simtk.unit import *
4 import os
5 import sys
6 from simtk.openmm.app.clasesReporteros import *
7 from simtk.openmm.app.funcionesMomentosDip import *
8 # Parameters
9 #ffield amoeba2013.xml, iamoeba.xml, tip4pfb.xml
10 #en consola: python nvt.py tip4pfb.xml HHFO 0.002 500 25000
11 forceField = sys.argv[1]
12 Hidratacion = sys.argv[2]
13 switch_width = 1.0 * angstroms
14 cutoff = 9.0 * angstroms
15 use_switch = True
16 timestep= float(sys.argv[3])
17 temperatura=298.15
18 stepImp= int(sys.argv[4])
19 pasosTotales=int(sys.argv[5])
20 computer = sys.argv[6]
21 volt = float(sys.argv[7])
22 elec = 1*elementary_charge
23 e = elec.value_in_unit(coulombs)
24
25 #Seleccion tipo de hidratacion y configuracion de inicio
26 if Hidratacion == "HHFO":
27     if computer == "local":
28         pdb = PDBFile('/home/anthoni/Documents/AGUA_OPENMM/ESFERA/INPUTS_CONF_INICIAL/
29 HHFO_1micros.pdb')
30     elif computer == "yoltla":
31         pdb = PDBFile('/LUSTRE/home/lancad/2018/mabel/alumnos/toni/INPUTS/HHFO_1micros
32 .pdb')
33     elif computer == "abacus":
34         pdb = PDBFile('/lustre/home/CE-2-2017/EISL/aalcaraz/scratch/INPUTS/
35 HHFO_1micros.pdb')
36     else:
37         computer = ""
38 elif Hidratacion == "HHFI":
39     if computer == "local":
40         pdb = PDBFile('/home/anthoni/Documents/AGUA_OPENMM/ESFERA/INPUTS_CONF_INICIAL/
41 HHFI_1micros.pdb')
42     elif computer == "yoltla":
43         pdb = PDBFile('/LUSTRE/home/lancad/2018/mabel/alumnos/toni/INPUTS/HHFI_1micros
44 .pdb')
45     elif computer == "abacus":
46         pdb = PDBFile('/lustre/home/CE-2-2017/EISL/aalcaraz/scratch/INPUTS/
47 HHFI_1micros.pdb')
48     else:
49         computer = ""
50 elif Hidratacion == "CHARGE":
51 #0.8, 0.5 y 0.2 son las DM que estan equilibradas 500 ns
52 if computer == "local":
53     if volt == 0.8 or volt == 0.5 or volt == 0.2:
54         fileinput = '/home/anthoni/Documents/AGUA_OPENMM/ESFERA/
55 INPUTS_CONF_INICIAL/{0}v.pdb'.format(volt)
56     else:
57         fileinput = '/home/anthoni/Documents/AGUA_OPENMM/ESFERA/
58 INPUTS_CONF_INICIAL/0.5v.pdb'
59     pdb = PDBFile(fileinput)
60 elif computer == "yoltla":
61     if volt == 0.8 or volt == 0.5 or volt == 0.2:
```

7 ANEXOS

7.1 Script de python para calcular dinámicas moleculares en OpenMM

```
1 from simtk.openmm.app import *
2 from simtk.openmm import *
3 from simtk.unit import *
4 import os
5 import sys
6 from simtk.openmm.app.clasesReporteros import *
7 from simtk.openmm.app.funcionesMomentosDip import *
8 # Parameters
9 #ffield amoeba2013.xml, iamoeba.xml, tip4pfb.xml
10 #en consola: python nvt.py tip4pfb.xml HHFO 0.002 500 25000
11 forceField = sys.argv[1]
12 Hidratacion = sys.argv[2]
13 switch_width = 1.0 * angstroms
14 cutoff = 9.0 * angstroms
15 use_switch = True
16 timestep= float(sys.argv[3])
17 temperatura=298.15
18 stepImp= int(sys.argv[4])
19 pasosTotales=int(sys.argv[5])
20 computer = sys.argv[6]
21 volt = float(sys.argv[7])
22 elec = 1*elementary_charge
23 e = elec.value_in_unit(coulombs)
24
25 #Seleccion tipo de hidratacion y configuracion de inicio
26 if Hidratacion == "HHFO":
27     if computer == "local":
28         pdb = PDBFile('/home/anthoni/Documents/AGUA_OPENMM/ESFERA/INPUTS_CONF_INICIAL/
29 HHFO_1micros.pdb')
30     elif computer == "yoltla":
31         pdb = PDBFile('/LUSTRE/home/lancad/2018/mabel/alumnos/toni/INPUTS/HHFO_1micros.
32 pdb')
33     elif computer == "abacus":
34         pdb = PDBFile('/lustre/home/CE-2-2017/EISL/aalcaraz/scratch/INPUTS/HHFO_1micros.
35 pdb')
36     else:
37         computer = ""
38 elif Hidratacion == "HHFI":
39     if computer == "local":
40         pdb = PDBFile('/home/anthoni/Documents/AGUA_OPENMM/ESFERA/INPUTS_CONF_INICIAL/
41 HHFI_1micros.pdb')
42     elif computer == "yoltla":
43         pdb = PDBFile('/LUSTRE/home/lancad/2018/mabel/alumnos/toni/INPUTS/HHFI_1micros.
44 pdb')
45     elif computer == "abacus":
46         pdb = PDBFile('/lustre/home/CE-2-2017/EISL/aalcaraz/scratch/INPUTS/HHFI_1micros.
47 pdb')
48     else:
49         computer = ""
50 elif Hidratacion == "CHARGE":
51     #0.8, 0.5 y 0.2 son las DM que estan equilibradas 500 ns
52     if computer == "local":
53         if volt == 0.8 or volt == 0.5 or volt == 0.2:
54             fileinput = '/home/anthoni/Documents/AGUA_OPENMM/ESFERA/INPUTS_CONF_INICIAL
55 /{0}v.pdb'.format(volt)
56         else:
57             fileinput = '/home/anthoni/Documents/AGUA_OPENMM/ESFERA/INPUTS_CONF_INICIAL/0
58 .5v.pdb'
59         pdb = PDBFile(fileinput)
60     elif computer == "yoltla":
61         if volt == 0.8 or volt == 0.5 or volt == 0.2:
```

```

54     fileinput = '/LUSTRE/home/lancad/2018/mabel/alumnos/toni/INPUTS/{0}v.pdb'.
format(volt)
55     else:
56         fileinput = '/LUSTRE/home/lancad/2018/mabel/alumnos/toni/INPUTS/0.5v.pdb'
57         pdb = PDBFile(fileinput)
58     elif computer == "abacus":
59         if volt == 0.8 or volt == 0.5 or volt == 0.2:
60             fileinput = '/lustre/home/CE-2-2017/EISL/aalcaraz/scratch/INPUTS/{0}v.pdb'.
format(volt)
61         else:
62             fileinput = '/lustre/home/CE-2-2017/EISL/aalcaraz/scratch/INPUTS/0.5v.pdb'
63             pdb = PDBFile(fileinput)
64         else:
65             computer = ""
66 elif Hidratacion == "AGP":
67     if computer == "local":
68         pdb = PDBFile('/home/anthoni/Documents/AGUA_OPENMM/ESFERA/INPUTS_CONF_INICIAL/
AguaPura100ns.pdb')
69     elif computer == "yoltla":
70         pdb = PDBFile('/LUSTRE/home/lancad/2018/mabel/alumnos/toni/INPUTS/AguaPura100ns.
pdb')
71     elif computer == "abacus":
72         pdb = PDBFile('/lustre/home/CE-2-2017/EISL/aalcaraz/scratch/INPUTS/AguaPura100ns.
pdb')
73     else:
74         computer = ""
75 else:
76     print "La hidratacion no fue seleccionada, la eleccion es: HHFO, HHFI,CHARGE o AGP"
77     sys.exit(0)
78
79 #Seleccion del campo de fuerzas
80 forcefield = ForceField(forceField)
81 modeller = Modeller(pdb.topology, pdb.positions)
82 modeller.addExtraParticles(forcefield)
83
84 #Crear Sistema dependiendo del campo de fuerzas
85 if forceField == "tip4pfb.xml":
86     system = forcefield.createSystem(modeller.topology, nonbondedMethod=PME,
nonbondedCutoff=0.7*nanometer, vdwCutoff=0.9*nanometer, constraints=HBonds, rigidWater
=True)
87     chargeH = 0.5258681106763*e
88     chargeO = -1.0517362213526*e
89     # se aplica la carga de la particula extra(PE) en el oxigeno, porque no influye en el
calculo del potencial, solo se va calculando de las posiciones de O, e H's
90 elif forceField == "amoeba2013.xml":
91     system = forcefield.createSystem(modeller.topology, nonbondedMethod=PME,
nonbondedCutoff=0.7*nanometer, vdwCutoff=0.9*nanometer, constraints=None, rigidWater=
False, polarization='mutual', mutualInducedTargetEpsilon=0.00001)
92     chargeO = -0.51966*e
93     chargeH = 0.25983*e
94 elif forceField == "iamoeba.xml":
95     system = forcefield.createSystem(modeller.topology, nonbondedMethod=PME,
nonbondedCutoff=0.7*nanometer, vdwCutoff=0.9*nanometer, constraints=None, rigidWater=
False, polarization='direct')
96     chargeO = -0.594024*e
97     chargeH = 0.297012*e
98 else:
99     print "El potencial seleccionado no tiene un sistema creado"
100     sys.exit(0)
101
102 #Potencial Externo que depende del tipo de hidratacion
103 if Hidratacion == "CHARGE":
104     boxVector=(1.97056,30.55846,1.97056)
105 #Potencial tipo hidrofobico para barrera fisica
106     force1 = CustomExternalForce('79.7884*exp(-12.4225*r);r=y')
107     force2 = CustomExternalForce('79.7884*exp(-12.4225*r2);r2=29.5584-y')

```

```

108 #Potencial de superficie cargada
109 forceO = CustomExternalForce('f*{0}*(ly-2*y); f=volt*(6.022E20)/(2*ly); ly=29.5584; volt
={1}'.format(chargeO, volt))
110 forceH = CustomExternalForce('f*{0}*(ly-2*y); f=volt*(6.022E20)/(2*ly); ly=29.5584; volt
={1}'.format(chargeH, volt))
111 system.addForce(force1)
112 system.addForce(force2)
113 system.addForce(forceO)
114 system.addForce(forceH)
115
116 for i in range(system.getNumParticles()):
117     force1.addParticle(i,[])
118     force2.addParticle(i,[])
119     at2 = system.getParticleMass(i).value_in_unit(dalton)
120     if at2 >= 1.007 and at2 <= 1.009:
121         #print 'Es hidrogeno'
122         forceH.addParticle(i,[])
123     elif at2 >= 15.0 and at2 <= 16.0:
124         #print 'Es Oxigeno'
125         forceO.addParticle(i,[])
126     else:
127         nada = 0
128 elif Hidratacion == "HHFO":
129     boxVector=(1.97056,30.55846,1.97056)
130     force1 = CustomExternalForce('a*exp(-b*r)-c*exp(-d*r)+e*exp(-f*r); a=126763;b=88.7494;
c=119802;d=89.3316;e=128810;f=88.7093;r=y')
131     force2 = CustomExternalForce('a*exp(-b*r)-c*exp(-d*r)+e*exp(-f*r); a=126763;b=88.7494;
c=119802;d=89.3316;e=128810;f=88.7093;r=ly-y; ly=29.5584')
132     system.addForce(force1)
133     system.addForce(force2)
134
135     for i in range(system.getNumParticles()):
136         force1.addParticle(i,[])
137         force2.addParticle(i,[])
138 elif Hidratacion == "HHFI":
139     boxVector=(1.97056,30.55846,1.97056)
140     forceH1 = CustomExternalForce('a*exp(-b*r)-c*exp(-d*r)+e*exp(-f*r); a=126763;b=88.7494
;c=119802;d=89.3316;e=128810;f=88.7093;r=y')
141     forceH2 = CustomExternalForce('a*exp(-b*r)-c*exp(-d*r)+e*exp(-f*r); a=126763;b=88.7494
;c=119802;d=89.3316;e=128810;f=88.7093;r=ly-y; ly=29.5584')
142     forceO1 = CustomExternalForce('a*exp(-b*r)-c*exp(-d*r)+e*exp(-f*r); a=152785;b=94.
7616;c=35653400;d=100.7009;e=438.194;f=15.1075;r=y')
143     forceO2 = CustomExternalForce('a*exp(-b*r)-c*exp(-d*r)+e*exp(-f*r); a=152785;b=94.
7616;c=35653400;d=100.7009;e=438.194;f=15.1075;r=ly-y; ly=29.5584')
144     system.addForce(forceH1)
145     system.addForce(forceO1)
146     system.addForce(forceH2)
147     system.addForce(forceO2)
148
149     for i in range(system.getNumParticles()):
150         at2 = system.getParticleMass(i).value_in_unit(dalton)
151         if at2 >= 1.007 and at2 <= 1.009:
152             #print 'Es hidrogeno'
153             forceH1.addParticle(i,[])
154             forceH2.addParticle(i,[])
155         elif at2 >= 15 and at2 <= 16:
156             #print 'Es Oxygeno'
157             forceO1.addParticle(i,[])
158             forceO2.addParticle(i,[])
159         else:
160             nada = 0
161             #print 'Problema con: ',i,system.getParticleMass(i)
162 elif Hidratacion == "AGP":
163     boxVector=(1.97056,29.55846,1.97056)
164 else:
165 #seleccion para sistema sin potenciales externos

```



```

166     nada = 0
167
168 #Selección de plataforma y número de GPU's
169 platform = Platform.getPlatformByName('CUDA')
170 if computer == "local":
171     properties = {'CudaPrecision': 'double'}
172 elif computer == "yoltla" or computer == "abacus":
173     properties = {'CudaPrecision': 'double', 'CudaDeviceIndex': '0,1'}
174 else:
175     computer = ""
176
177 #system.addForce(MonteCarloBarostat(presion*atmospheres, temperatura*kelvin,
178     intervaloBarost))
179 integrator = LangevinIntegrator(temperatura*kelvin, 1/picosecond, timestep*picoseconds)
180 #integrator = VerletIntegrator(timestep*picoseconds)
181
182 #Tolerancia en restricción de enlace
183 if forceField == "tip4pfb.xml":
184     integrator.setConstraintTolerance(1e-8)
185 else:
186     var = "no se necesita"
187
188 #Creación del contexto de simulación
189 simulation = app.Simulation(modeller.topology, system, integrator, platform)
190 simulation.context.setPositions(modeller.positions)
191 simulation.context.setVelocitiesToTemperature(temperatura*kelvin)
192
193 #Impresión de momento multipolar para iamoeba y amoeba
194 if forceField == "iamoeba.xml" or forceField == "amoeba2013.xml":
195     forces = [system.getForce(force_index) for force_index in range(system.getNumForces())]
196     forces = [force for force in forces if isinstance(force, openmm.AmoebaMultipoleForce)]
197     force = forces[0]
198     #fileInducedDipole = open('DipoloInducido.txt', 'w')
199     #fileTotDipole = open('DipolosTotales.txt', 'w')
200     fileSysMomMultipolar = open('MomentoMultipolarSistema.txt', 'w')
201     #filePermanentDipoles = open('DipolosPermanentes.txt', 'w')
202 if forceField == "tip4pfb.xml":
203 #Modificación NonbondedForce
204     forcs = { system.getForce(index).__class__.__name__ : system.getForce(index) for
205         index in range(system.getNumForces()) }
206     f = forcs['NonbondedForce']
207     f.setCutoffDistance(cutoff)
208     f.setSwitchingDistance(cutoff - switch_width)
209     f.setUseDispersionCorrection(False)
210     f.setUseSwitchingFunction(use_switch)
211 else:
212     var2 = "no implementado para otro potencial"
213
214 #Reiniciación de simulación a partir del contexto guardado
215 #simulation.loadState('Input.xml')
216
217 simulation.context.setPeriodicBoxVectors(Vec3(boxVector[0], 0, 0), Vec3(0, boxVector[1], 0),
218     Vec3(0, 0, boxVector[2]))
219 #file1 = open('posiciones.xyz', 'w')
220 #simulation.reporters.append(PosReporter('velocidades.dat', stepImp))
221 #simulation.reporters.append(ForceReporter('fuerzas.dat', stepImp))
222 simulation.reporters.append(PDBReporter('trayectoria.pdb', stepImp))
223 simulation.reporters.append(StateDataReporter('dinamica.dat', stepImp, step=True,
224     potentialEnergy=True, kineticEnergy=True, totalEnergy=True, temperature=True, volume=True,
225     density=True, speed=True, time=True, remainingTime=True, totalSteps=pasosTotales,
226     separator='\t'))
227
228 for i in range(pasosTotales):

```

```

224     simulation.saveState('output.xml')
225     simulation.step(stepImp)
226     #state1 = simulation.context.getState(getPositions=True, enforcePeriodicBox = False,
227     #groups={0})
228     #file1.write("%d\n\n" % (system.getNumParticles()))
229     #pos1=state1.getPositions().value_in_unit(nanometers)
230     #i=0
231     #for pos in pos1:
232     #     at2 = system.getParticleMass(i).value_in_unit(dalton)
233     #     if at2 >= 1.007 and at2 <= 1.009:
234     #         symbol = "H"
235     #     elif at2 >= 15 and at2 <= 16:
236     #         symbol = "O"
237     #     elif at2 == 0.0:
238     #         symbol = "M"
239     #     else:
240     #         nada = 0
241     #     i=i+1
242     #     file1.write("{:} \t{:+20.3f}\t{:+20.3f}\t{:+20.3f}\n".format(symbol, pos[0]*10,
243     #     pos[1]*10, pos[2]*10))
244
245     if forceField == "iamoeba.xml" or forceField == "amoeba2013.xml":
246         #Dipolos inducidos
247         #     inducedDipoleMoments = force.getInducedDipoles(simulation.context)
248         #     imprimeMultipolos(fileInducedDipole, inducedDipoleMoments, simulation.currentStep,
249         #     timestep)
250
251         #Dipolos totales
252         #     totaldipoles = force.getTotalDipoles(simulation.context)
253         #     imprimeMultipolos(fileTotDipole, totaldipoles, simulation.currentStep, timestep)
254
255         #Momento multipolar del sistema
256         systemMultipolarMoment = force.getSystemMultipoleMoments(simulation.context)
257         imprimeMomentoMultipolar(fileSystMomMultipolar, systemMultipolarMoment, simulation.
258         currentStep, timestep)
259
260         #Dipolos Permanentes
261         #     permanentDipole = force.getLabFramePermanentDipoles(simulation.context)
262         #     imprimeMultipolos(filePermanentDipoles, permanentDipole, simulation.currentStep,
263         #     timestep)
264     else:
265         var2 = ""

```

7.2 Subrutina del cálculo de los perfiles de densidad

```

1 #include "librerias.h"
2
3 //la unidad de medida de la caja es en angstroms
4 #define SideX 19.7056
5 #define SideY 295.5846
6 #define SideZ 19.7056
7
8 int main(int argc, char** argv){
9     //Archivo xyz
10    strcpy(Archivo, argv[1]);
11
12    //Coordenada de analisis
13    strcpy(Coordinate, argv[2]);
14
15    //Divisiones a considerar
16    Bins=atoi(argv[3]);
17
18    //Atomo a considerar
19    strcpy(TypeAtomsConsider, argv[4]);

```

```

20
21 //Atomo a considerar numero
22 AssignProfile();
23
24 //Coordenada de analisis
25 SelectCoordinate();
26
27 //Lineas de archivo
28 LinesFile = LongitudArchivo(Archivo);
29
30 //Asigna numero de configuraciones
31 fileParticlesConfiguration(Archivo);
32
33 //Alertas tamaño de arreglos
34 if(Alerts()!=2){return 0;}
35
36 //Analiza trayectoria
37 file_xyz=fopen(Archivo,"r");
38
39     for(Replicas=0;Replicas<Configuration;Replicas++){
40 //Asigna valores a arreglos
41     ReadFileValues();
42
43         //Calcula densidad
44         AssignDensity();
45     }
46 //Imprime perfil de densidad
47 PrintProfile();
48
49     fclose(file_xyz);
50
51     return 0;
52 }
53

```

7.3 Subrutina del cálculo de la orientación

```

1 #include "librerias.h"
2
3 //la unidad de medida de la caja es en angstroms
4 #define SideX 19.7056
5 #define SideY 295.5846
6 #define SideZ 19.7056
7
8 int main(int argc, char** argv){
9 //Archivo xyz //argv[contador] empieza en 1 porque cero es el ejecutable
10 strcpy(Archivo, argv[1]);
11
12 //Coordenada de analisis
13 strcpy(Coordinate, argv[2]);
14
15 //Divisiones del eje de analisis
16 Bins=atoi(argv[3]);
17
18 //Atomo a considerar, siempre O
19 strcpy(TypeAtomsConsider, argv[4]);
20
21 //Atomo a considerar, numero
22 AssignProfile();
23
24 //seleccion de la coordenada de analisis
25 SelectCoordinate();
26
27 //Calcula las lineas del archivo

```

```

28 LinesFile = LongitudArchivo(Archivo);
29
30 //Calcula el numero de configuraciones
31 fileParticlesConfiguration(Archivo);
32
33 //Verifica que el tamaño de los arreglos
34 if(Alerts()!=2){return 0;}
35
36 //Analiza la trayectoria
37 file_xyz=fopen(Archivo,"r");
38
39     for(Replicas=0;Replicas<Configuration;Replicas++){
40         //Asigna coordenadas a los arreglos
41         ReadFileValues();
42         //Calcula angulos //asigna valores de cada replica
43         AssignAngles();
44     }
45
46     //Imprime Angulos
47     PrintProfileAngles();
48
49     fclose(file_xyz);
50
51     return 0;
52
53 }

```

7.4 Subrutina del cálculo del coeficiente de auto-difusión

```

1 #include "librerias.h"
2
3 //la unidad de medida de la caja es en angstroms
4 #define SideX 19.7056
5 #define SideY 295.5846
6 #define SideZ 19.7056
7
8 int main(int argc,char** argv){
9     //argv[contador] empieza en 1 porque cero es el ejecutable
10    //Asigna valores leidos
11
12    //Archivo a analizar
13    strcpy(Archivo,argv[1]);
14
15    //tiempo de simulacion en ns
16    timeSimul = atof(argv[2]);
17
18    //pasos de guardado en la trayectoria
19    Steps = atof(argv[3]);
20
21    //Delta t recibido en ps
22    Deltat = atof(argv[4]);
23
24    //Delta t en ns
25    Deltat = Deltat/1000;
26
27    //Coordenada de analisis
28    strcpy(Coordinate,argv[5]);
29
30    //seleccion de coordenada
31    SelectCoordinate();
32
33    //lee lineas totales, calcula el numero de configuraciones
34    LinesFile=LongitudArchivo(Archivo);
35

```

```

36 //Asigna el numero de configuraciones
37 fileParticlesConfiguration(Archivo);
38
39 //TypeAtoms es igual a numero de atomos por molecula
40 NumberOfMolec = Particles/TypeAtoms;
41
42 //Alertas si pasa el tamaño de arreglos
43 if(Alerts()!=2){return 0;}
44
45 //Analiza el archivo
46 file_xyz=fopen(Archivo,"r");
47 for(Replicas=0;Replicas<Configuration;Replicas++){
48     //Asigna valores de coordenadas a los arreglos
49     ReadFileValues();
50
51     //Asigna la configuracion inicial
52     if(Replicas == 0){
53         //asigna valores de cada replica
54         AssignRinicial();
55     }
56     else{
57         AssignRtemp();
58     }
59     //Calcula la diferencia entre los vectores
60     ComputeDifference();
61
62     //Tiempo en el que se calculo la replica
63     // 1(500)(0.002) = 1e-3 [ns]
64     tiempoVar = (Replicas + 1)*Steps*Deltat;
65
66     //Imprime el MSD por componente y total en cada replica
67     PrintProfileCD();
68 }
69
70 // Calcula el MSD final por componente y total
71 //MSD promedio
72 MSD = MSD/Configuration;
73 //MSD = sqrtl(MSD);
74
75 //MSD promedio por componente
76 for(int j=0;j<3;j++){
77     MSD_comp[j] = MSD_comp[j]/Configuration;
78     //MSD_comp[j] = sqrtl(MSD_comp[j]);
79 }
80
81 //Datos MSD total de la trayectoria
82 cout << "MSD: " << AngCua2CmCua(MSD) << "\t ln(D) [cm^2/s]: " << log(AngCua2CmCua(MSD)
83 / (6*Ns2s(timeSimul)));
84 cout << "\t D [cm^2/s]: " << AngCua2CmCua(MSD)/(6*Ns2s(timeSimul))<<endl;
85
86 //Datos MSD por componente de la trayectoria
87 for(int j=0;j<3;j++){
88     cout << "MSD componente: " << j+1 << "\t" << MSD_comp[j] << "\t ln(D) [cm^2/s]: " <<
89     log(AngCua2CmCua(MSD_comp[j])/(6*Ns2s(timeSimul)));
90     cout << "\t D [cm^2/s]: " << AngCua2CmCua(MSD_comp[j])/(6*Ns2s(timeSimul)) << endl;
91 }
92
93 fclose(file_xyz);
94
95     return 0;
96 }

```

7.5 Subrutina del cálculo de la constante dieléctrica para modelos rígidos

```
1 #include "librerias.h"
2
3 //la unidad de medida de la caja es en angstroms
4 #define SideX 19.7056
5 #define SideY 295.5846
6 #define SideZ 19.7056
7
8 int main(int argc, char** argv){
9
10 //Archivo xyz
11 strcpy(Archivo, argv[1]);
12
13 //Modelo de agua
14 strcpy(WaterModel, argv[2]);
15
16 //Replicas sin considerar
17 NumberOfReplica=atoi(argv[3]);
18
19 //Calcula lineas de archivo
20 LinesFile=LongitudArchivo(Archivo);
21
22 //Calcula el numero de configuraciones
23 fileParticlesConfiguration(Archivo);
24
25 //Detiene el programa si pasa limites de arreglos
26 if(Alerts()!=2){return 0;}
27
28 //Coordenada de analisis
29 CoordinateSelection();
30
31 //volumen por celda y volumen de la celda
32 ComputeDelta(valor);
33
34 //Seleccion del modelo y cargas
35 ModelSelection();
36
37 //Creacion archivo de salida
38 strcat(Output, "Dielectrica.dat");
39 OutPut.open(Output, std::ofstream::out | std::ofstream::trunc);
40
41 //Analiza los n puntos de la trayectoria
42 file_xyz=fopen(Archivo, "r");
43
44 for(Replicas=0; Replicas<Configuration; Replicas++){
45 //Asigna coordenadas a los arreglos
46 ReadFileValues();
47
48 //Replicas sin considerar
49 if(Replicas >= NumberOfReplica){
50 ComputeDipoleMomentSystem();
51 //Imprime constante dielectrica en funcion del tiempo
52 PrintProfileDielectricConstant();
53 }
54 }
55
56 //Imprime perfil de constante dielectrica
57 //PrintProfileDielectricConstant();
58
59 fclose(file_xyz);
60 OutPut.close();
61
62 return 0;
63
```

```
64 }
```

7.6 Subrutina del cálculo de la constante dieléctrica para modelos flexibles

```
1 #include "librerias.h"
2
3 //la unidad de medida de la caja es en angstroms
4 #define SideX 19.7056
5 #define SideY 295.5846
6 #define SideZ 19.7056
7
8 int main(int argc, char** argv){
9     int lineaInteres = 0;
10    char ArchivoSalida[100]="";
11    //Archivo xyz
12    strcpy(Archivo, argv[1]);
13
14    //Linea donde se encuentran las coordenadas del momento dipolar
15    lineaInteres = atoi(argv[2]);
16
17    //Replicas sin considerar
18    NumberOfReplica=atoi(argv[3]);
19
20    //numero de datos por bloque
21    //bloque = atoi(argv[4]);
22
23    //Calcula lineas de archivo
24    LinesFile=LongitudArchivo(Archivo);
25
26    //7 es el numero de lineas del archivo
27    Configuration = LinesFile/7;
28
29    file_xyz = fopen(Archivo, "r");
30
31    //Crea archivo de salida
32    strcat(Output, "Dielectrica.dat");
33    OutPut.open(Output, std::ofstream::out | std::ofstream::trunc);
34
35    //analiza archivo
36    for(Replicas=0; Replicas<Configuration; Replicas++){
37
38        //Obtiene Momento dipolar
39        MomentoDipolarModeloFlexible(lineaInteres);
40
41        if(Replicas >= NumberOfReplica){
42            //Imprime constante dielectrica en funcion del tiempo
43            PrintProfileDielectricConstant();
44        }
45    }
46
47    //Cierra el archivo de lectura y el de escritura
48    fclose(file_xyz);
49    OutPut.close();
50
51    return 0;
52
53 }
```

7.7 Subrutina del cálculo de la Función de distribución radial

```
1 /*****
```

```

2 * calculate radial distribution function g(r)
3 * of ensemble configurations in "configuration.xyz"
4 * output results in "gr.dat"
5 * Kai Zhang, Duke University, 2011
6 * Calculate rdf only of 2 atoms and you can give its symbol
7 * Anthoni Alcaraz Torres CIQ, UAEM 2015
8 *****/
9 #include <stdio.h>
10 #include <stdlib.h>
11 #include <math.h>
12 #include <string.h>
13 /**
14 *Datos que se modifican
15 */
16 #define MAXConfig 150000
17 #define MAXEqui 30000
18 #define MAXNumberOfParticles 50000
19 #define MAXNumberOfBins 10000
20 #define SideY 295.5846
21 #define SideZ 19.7056
22 #define SideX 19.7056 //la unidad de medida de la caja es en angstroms
23
24 #define SQR(x) ((x)*(x))
25 #define CUB(x) ((x)*(x)*(x))
26 //Apuntador a la ruta donde se encuentra el archivo con la trayectoria de la DM con las
    coordenadas en xyz
27 char dirArchivoDinamica[100];
28 char *dirArchivogrAB="gAB2.dat";
29 int getLength(char*);
30 int main(int argc, char** argv){
31     int NumberOfConfig, NumberOfEqui, NumberOfParticles;
32     int SampleNumber;
33     int snapshot, line;
34     double rho, vol;
35     double dr;
36     double g[MAXNumberOfBins], gAB[MAXNumberOfBins];
37     int NumberOfBins, NA, NB;
38     int i, j, k, l, NumLineas;
39     double dx, dy, dz;
40     double rij;
41     char AtomID[MAXNumberOfParticles][4], AtomA[4], AtomB[4], lineaUsada[100];
42     FILE *fpxyz;
43     FILE *fpoutput;
44     FILE *fpoutput2;
45     double x[MAXNumberOfParticles], y[MAXNumberOfParticles], z[MAXNumberOfParticles];
46     vol = SideX*SideY*SideZ;
47     //printf("***** 3D g(r) *****\n"
    );
48     strcpy(dirArchivoDinamica, argv[1]);
49     //printf("Number of Equilibrations ?\n");
50     NumberOfEqui = atoi(argv[5]);
51     //printf("Number of bins of the histogram ?\n");
52     dr = atof(argv[4]);
53     //printf("Number of atoms of A in each configuration\n");
54     NA = atoi(argv[6]);
55     //printf("Number of atoms of B in each configuration\n");
56     NB = atoi(argv[7]);
57     //printf("Symbol of atom A\n");
58     strcpy(AtomA, argv[2]);
59     //printf("Symbol of atom B\n");
60     strcpy(AtomB, argv[3]);
61     NumberOfBins = (int)(15.0/dr);
62     int contadorAtomA[NA+1], contadorAtomB[NB+1], asignaA=1, asignaB=1;
63     SampleNumber = 0;
64     for(i=0; i<NumberOfBins; i++){
65         g[i] = 0;

```



```

66     gAB[i] = 0;
67     }
68     SampleNumber = 0;
69     NumLineas=getLength(dirArchivoDinamica); //printf("Lineas %d\n",NumLineas);
70     fpxyz = fopen(dirArchivoDinamica,"r");
71     fgets(lineaUsada,100,fpxyz); sscanf(lineaUsada,"%d",&NumberOfParticles);
72     fclose(fpxyz);
73     rho = NumberOfParticles/vol;
74     NumberOfConfig=NumLineas/(NumberOfParticles+2); //printf("Configuraciones %d \n",
        NumberOfConfig);
75     fpxyz = fopen(dirArchivoDinamica,"r");
76     for(snapshot=0; snapshot<NumberOfConfig; snapshot++){
77         fgets(lineaUsada,100,fpxyz); fgets(lineaUsada,100,fpxyz);
78         for(line=0; line<NumberOfParticles; line++){
79             fgets(lineaUsada,100,fpxyz);
80             sscanf(lineaUsada,"%s %d %d %d",AtomID[line],&x[line],&y[line],&z[line]);
81             //printf("%d \t %s %10.6lf %10.6lf %10.6lf\n",line,AtomID[line],x[line],y[line],z[line])
            ;
82         }
83         //Busca en el arreglo donde se encuentra el atomo A para tener coordenadas
84         if(snapshot == 0){
85             printf("Entro\n");
86             for(i=0; i<NumberOfParticles; i++){
87                 if(strstr(AtomID[i],AtomA)!=0){
88                     if(asignaA<=NA){
89                         contadorAtomA[asignaA]=i;
90                         //printf("A %s \t %d \t %d\n",AtomID[i],i, contadorAtomA[asignaA]);
91                         asignaA++;
92                     }
93                 }
94                 if(strstr(AtomID[i],AtomB)!=0){
95                     if(asignaB<=NB){
96                         contadorAtomB[asignaB]=i;
97                         //printf("B %s \t %d \t %d\n",AtomID[i],i, contadorAtomB[asignaB]);
98                         asignaB++;
99                     }
100                }
101            }
102            printf("salio\n");
103        }
104
105        if((snapshot+1) > NumberOfEqui){
106            SampleNumber++;
107            for(k=1; k<=NA; k++){
108                for(l=k+1; l<=NB; l++){
109                    i=contadorAtomA[k];
110                    j=contadorAtomB[l];
111                    dx = x[i] - x[j];
112                    dx = dx - SideX*round(dx/SideX);
113
114                    dy = y[i] - y[j];
115                    dy = dy - SideY*round(dy/SideY);
116
117                    dz = z[i] - z[j];
118                    dz = dz - SideZ*round(dz/SideZ);
119
120                    rij = sqrt(SQR(dx)+SQR(dy)+SQR(dz));
121
122                    gAB[(int)(rij/dr)] += 2.0;
123                }
124            }
125        }
126    }
127    fclose(fpxyz);
128
129    fopen2 = fopen(dirArchivogrAB,"w");

```

```

130 for (i=0; i<NumberOfBins; i++){
131     gAB[i] /= SampleNumber;
132     gAB[i] /= 4.0*M_PI/3.0*(CUB(i+1)-CUB(i))*CUB(dr);
133     fprintf(fpoutput2, "%f\t %f\n", (i+0.5)*dr, gAB[i]*vol/(NA*NB));
134 }
135 fclose(fpoutput2);
136 return 0;
137 }
138 int getLength(char* dir){
139     FILE *f;
140     //obtiene la cantidad de lineas del archivo
141     int l=0;
142     char linea[100];
143     f=fopen(dir, "r");
144     if (f!=NULL){
145         while (!feof(f)){
146             fgets(linea, 100, f);
147             l++;
148         }
149         fclose(f);
150     }
151     return l-1;
152 }

```

7.8 Subrutina para convertir de formato PDB a XYZ

```

1 /*
2 Esta rutina convierte un archivo.pdb a un archivo.xyz de N moléculas de un solo tipo, por
3 ejemplo agua.
4 ++Si el PDB tiene más de un tipo de molécula no lo hará bien, porque cuando llama a la
5 subrutina ReadingChange()
6 esta depende de dos parámetros (AtomsByMol y OneLine). Estos parámetros indican hasta que
7 línea del archivo PDB algunos datos se juntarán. Por ejemplo:
8 #HETATM 1 H1 HOH A 1 5.444 37.814 6.499 1.00 0.00 H
9 En la línea anterior, los 12 datos tienen un espacio que los separa, pero cuando el
10 número de la molécula ocupa más de 3 espacios; dos datos
11 se juntan y la línea se parece a esto:
12 #HETATM 1 H1 HOH A1000 5.444 37.814 6.499 1.00 0.00 H
13 La línea anterior indica que 1000 moléculas han sido asignadas, pero al leerla se analiza
14 si es un entero (número de la molécula) o
15 si es una cadena (A). Cuando se junta, se convierte en una cadena y, la forma en que se
16 lee ya no es correcta. Justo para esa parte de la línea
17 se pasa de leer ("%s %d") a ("%s").
18 ##### S O L U C I O N E S #####
19 SOLUCION 1: Si hay >= 1000 moléculas con más átomos, entonces se pueden dejar las
20 moléculas con menos átomos al final y debe funcionar.
21 Por ejemplo, 1000 H2O primero y luego los N iones.
22 SOLUCION 2: En la línea 35, cambiar <<ReadingChange(Archivo)>> por el número del último
23 átomo que pertenece a la molécula 999. Por ejemplo, si el átomo 3996 es el último
24 átomo de la molécula 999, entonces el cambio sería así:
25 OneLine = ReadingChange(Archivo); por OneLine = 3996;
26 */
27 #include "librerias.h"
28 int main(int argc, char** argv){
29     char salidaPDB[100]="";
30     //Archivo.pdb a Analizar
31     strcpy(Archivo, argv[1]);
32
33     //Líneas de archivo
34     LinesFile=LongitudArchivo(Archivo);
35
36     //Configuraciones
37     fileParticlesConfigurationPDB(Archivo);

```

```

31  /*Los datos se juntan en el PDB, solo debe tener 3 lineas basura al inicio :
32      REMARK CRYST1 y MODEL, si no eliminar las sobrantes o poner lineas en blanco.
33      Por ejemplo si esta la linea Title de más, no funciona correctamente
34      */
35  OneLine = ReadingChange(Archivo);
36
37  //Archivo de Salida
38  strcat(salidaPDB, Archivo);
39  strcat(salidaPDB, "2.xyz"); cout<<"Guardado en: "<<salidaPDB<<endl;
40
41  //input y output
42  freopen(salidaPDB, "w", stdout);
43  file_pdb=fopen(Archivo, "r");
44
45  //Dos lineas basura, REMARK y CRYT1
46  fgets(LineRead, 100, file_pdb); fgets(LineRead, 100, file_pdb);
47
48  //analiza archivo pdb
49  for(Replicas=0; Replicas<Configuration; Replicas++){
50
51      //Las dos primeras lineas de un archivo xyz
52      cout<<Particles<<endl<<endl;
53
54      //Asinga valores de cada replica
55      ReadFileValuesPDB();
56
57      }
58  //Cierra archivo de lectura y de escritura
59  fclose(file_pdb);
60  fclose(stdout);
61  return 0;
62
63 }

```

7.9 Librerías de subrutinas de análisis de propiedades

```

1  /*****
2  * Anthoni Alcaraz Torres CIQ, UAEM 2018
3  * Maestría en Ciencias
4  * anthoni.alcaraztor@uaem.edu.mx
5  * toni_surfin@hotmail.com
6  *==== Desarrollo de herramientas metodológicas
7  * de simulación numérica para el estudio
8  * de interfases acuosas =====
9  *****/
10
11 #include <iostream>
12 #include <string>
13 #include <iomanip>
14 #include <math.h>
15 #include <string.h>
16 #include <stdio.h>
17 #include <stdlib.h>
18 #include <fstream>
19 using namespace std;
20
21 //Datos a Modificar
22 //la unidad de medida de la caja es en angstroms
23 #define SideX 19.7056
24 #define SideY 295.5846
25 #define SideZ 19.7056
26 #define MaxConfigur 150000
27 #define MaxParticles 20000
28 #define MaxOfBins 200

```

```

29 #define MasH 1.0079
30 #define MasO 15.999
31 #define MasAgua 18.0148
32 #define TypeAtoms 3
33 #define AvogNumber 6.020140857e23
34 #define DeltaDegree 5
35 #define TotalAngles 360
36 #define HalfAngles 180
37 #define ElectronCharge 1.602176565E-19 //C
38 #define KBJ 1.380648813E-23 //J/K
39 #define KBeVK 8.617332478E-5 //eV/K
40 #define eps0 8.8541878176E-12 //C2/Nm2 || F/m
41
42 //funciones
43
44 void fileParticlesConfiguration(char*);
45 void fileParticlesConfigurationPDB(char*);
46 void ReadFileValues();
47 void ReadFileValuesVelocities();
48 void SelectCoordinate();
49 void AssignDensity();
50 void AssignAngles();
51 void DensityX();
52 void DensityY();
53 void DensityZ();
54 void AnglesX();
55 void AnglesY();
56 void AnglesZ();
57 void ComputeDelta(int);
58 void CalcAngles();
59 void CalcDensity();
60 void RestartVal();
61 void PrintProfile();
62 void PrintProfileAngles();
63 void PrintDistribution();
64 void FormatPrint();
65 void PerfilByAtom(int, int);
66 void AssignProfile();
67 void ProfileSelected(int);
68 void AssignVector(double, double, double, double, double, double, double, double, double,
double);
69 void AssignCount();
70 void AssignRinicial();
71 void AssignRtemp();
72 void ComputeDifference();
73 void ComputeRCMass(int);
74 void PrintProfileCD();
75 void PrintProfileDielectricConstant();
76 void ComputeDipoleMomentSystem();
77 void ComputeDipoleMoment(int, double []);
78 void DefineCharges(int);
79 void ValuesToCero();
80 void TranslatefullBox();
81 void CoordinateSelection();
82 void TranslateBox();
83 void PrintTip4pToTip3p();
84 void distance_pbc(double [3], int);
85 void ProductVectorByScalar(double [3], double);
86 void ModelSelection();
87 void DipoleMomentBySliceFunction(double [3], int, double [3]);
88 void MomentoDipolarModeloFlexible(int);
89 void ImprimeBines();
90 void Distances();
91 void PrintDistance(int, double [2]);
92 void DistanceToWall(double [2]);
93 void DivideMolecules();

```

```

94 void ReadFileDataGraph ();
95 void HeaderGnuplot (int);
96 void FooterGnuplot (int ,int);
97 void GridWall (int);
98 void MapGrid ();
99 void FileGnuplotGrid ();
100 void ComputeDeltaGrid ();
101 void PrintGrid ();
102 void PrintGridGnuplot ();
103 double DotProduct (double [3],double [3]);
104 double CosineAngle (double [3],double [3]);
105 double AssignBinrCM ();
106 double MagnitudeVector (double [3]);
107 int Alerts ();
108 int ReadDataAndAssignBlock ();
109 int LongitudArchivo (char*);
110 int ReadingChange (char*);
111
112 //files to write something
113
114 ofstream OutPut;
115 ofstream OutPut2;
116 ofstream OutPutBins;
117 ofstream Densidades;
118 ofstream Densidad;
119 ofstream FileSalida;
120
121 #define SQR(x) ((x)*(x))
122 #define CUB(x) ((x)*(x)*(x))
123 #define Deg2Rad(x) (((x)*(M_PI))/180)
124 #define Rad2Deg(x) (((x)*(180))/M_PI)
125 #define AngCua2CmCua(x) (x*(1.0E-8)*(1.0E-8))
126 #define Ang2cm(x) (x*(1.0E-8))
127 #define Ang2m(x) (x*(1.0E-10))
128 #define Ang32m3(x) (x*((1.0E-10)*(1.0E-10)*(1.0E-10)))
129 #define Ns2s(x) (x*(1.0E-9))
130 #define ps2s(x) (x*(1.0E-12))
131 #define Debye2CM(x) (x*(3.34E-30))
132 #define Debye22Cm2(x) (x*(3.34E-30)*(3.34E-30))
133 #define Cm2Debye(x) (x/(3.34E-30))
134
135 //contadores
136
137 int AtomsByMol=0,OneLine=0,bloque=0,Bini, Binj;
138 int Configuration, LinesFile, Particles, Replicas=0,i=0;
139 int NumAtoms[TypeAtoms], RefBin=0,RefBinAng,atoms[MaxParticles];
140 int valor, Bins=0,NumAtomConsider, distribution[MaxParticles];
141 int contadorReplicas=0,NumberOfReplica=0,ContadorRep[MaxOfBins]={0};
142
143 //Dobles
144
145 //El respDen tiene tyatoms +1 porque son los tipos de atomos mas uno donde uno almacena
146 //la masa total de cada delta
147 double x[MaxParticles], y[MaxParticles], z[MaxParticles], Density[MaxOfBins], Delta,
148 //DeltaVolumen;
149 double MasTypeAtoms[TypeAtoms+1]={MasO,MasH,MasH,0},AngPMHs[3],AngWall[3],AngH1[3],AngH2
150 [3];
151 double vel[MaxParticles], cinetica=0,Cos[TypeAtoms], DeltaAngle=Deg2Rad(DeltaDegree),
152 //tiempoVar;
153 double acumulador=0, AcumulaConteo[MaxOfBins][TypeAtoms+1];
154 double AcumulaAnglesHist[MaxOfBins][TypeAtoms+1][HalfAngles/DeltaDegree]={0.0};
155 double repH1[MaxOfBins]={0.0},repH2[MaxOfBins]={0.0};
156 double AcumulaAngles[MaxOfBins][TypeAtoms+1]={0.00},RespDen[MaxOfBins][TypeAtoms+1], rep[
157 //MaxOfBins]={0.00};
158 double r_temp[MaxParticles][3], r_inic[MaxParticles][3], r_dif[MaxParticles][3];

```

```

154 double MSD=0.0,MSDTemp=0.0, timeSimul,NumberOfMolec, rCM[3]={0.0},MSD_comp[3]={0.0},
      MSDTemp_comp[3]={0.0};
155 double MSD_Average = 0.0, MSD_comp_Average[3]={0.0};
156 double Steps, Deltat,MSD_comp_bin[3][MaxOfBins]={0.0},MSD_bin[MaxOfBins]={0.0};
157 double NumberOfMolec_bin[MaxOfBins]={0.0},MSDTemp_bin[MaxOfBins]={0.0},MSDTemp_comp_bin
      [3][MaxOfBins]={0.0};
158 double DipoleMomentByCell[2] = {0.0,0.0}, DipoleMomentBySlice[MaxOfBins][3] = {0.0};
159 double DMomentTotalBySlice[MaxOfBins][2] = {0.0};
160 double MMP=0,SumXZY[3]={0.0,0.0,0.0},Sum2XZY[3]={0.0,0.0,0.0};
161 double charge[3]={0.0,0.0,0.0},MomDipolar[3]={0.0};
162 double Mesh[MaxOfBins][MaxOfBins]={0.0},limite;
163 double ContadorPunto[2][MaxOfBins][MaxOfBins]={0.0},ContadorPuntoTotal[2]={0.0};
164
165 //Caracteres
166
167 FILE* file_xyz;
168 FILE* file_pdb;
169 char LineRead[100], AtomID[MaxParticles][4], WaterModel[12]="";
170 char AtomSearch[TypeAtoms+1][5]={{ "O" },{ "H" },{ "N" },{ "all" }};
171 char Archivo[100], Coordinate[4], TypeAtomsConsider[5];
172 char Output1[]="PerfDensidad";
173 char Output[100];
174 char Output2[]="PerAngDipol";
175 char Output3[]="PerDielectricConstant";
176
177 //ESTRUCTURAS
178
179 typedef struct charges{
180 double ChargeO, ChargeH, ChargeM;
181 }modelo;
182
183 modelo iamoeba, amoeba, tip4pfb;
184
185 void PrintGridGnuplot(){
186 //Graficar dos distribuciones en una misma grafica
187 OutPut.open("input.gpl",std::ofstream::out | std::ofstream::trunc);
188 OutPut << "set encoding iso_8859_1" << endl;
189 OutPut << "set terminal pdf enhanced" << endl;
190 OutPut << "set output \"MallaSup.pdf\" " << endl;
191 OutPut << "set lmargin at screen 0.15" << endl;
192 OutPut << "set rmargin at screen 0.45" << endl;
193 OutPut << "set tmargin at screen 0.95" << endl;
194 OutPut << "set multiplot layout 1,2 rowsfirst" << endl;
195 OutPut << "set size square" << endl;
196 OutPut << "set pm3d map" << endl;
197 OutPut << "set cbrange[0.00055:0.0008]" << endl;
198 OutPut << "set palette rgb 33,13,10" << endl;
199 OutPut << "set xlabel \"Eje X [{"\305}] \" " << endl;
200 OutPut << "set ylabel \"Eje Z [{"\305}] \" " << endl;
201 OutPut << "unset colorbox" << endl;
202 OutPut << "splot \"MallaSuperficie1.dat\" notitle" << endl;
203 OutPut << "set lmargin at screen 0.55" << endl;
204 OutPut << "set rmargin at screen 0.85" << endl;
205 OutPut << "set tmargin at screen 0.95" << endl;
206 OutPut << "set colorbox" << endl;
207 OutPut << "splot \"MallaSuperficie2.dat\" notitle" << endl;
208 OutPut.close();
209 }
210
211 void PrintGrid(){
212 //Imprime valores del mapa para las dos superficies
213 OutPut.open("MallaSuperficie1.dat",std::ofstream::out | std::ofstream::trunc);
214 FileSalida.open("MallaSuperficie2.dat",std::ofstream::out | std::ofstream::trunc);
215 FormatPrint();
216 for(int i=0;i<Bini;i++){
217     for(int j=0;j<Binj;j++){

```

```

218     OutPut << Delta*(i+.5) << "\t" << Delta*(j+0.5) << "\t" << ContadorPunto[0][i][j]/
ContadorPuntoTotal[0] << endl;
219     FileSalida << Delta*(i+.5) << "\t" << Delta*(j+0.5) << "\t" << ContadorPunto[1][i][
j]/ContadorPuntoTotal[1] << endl;
220     }
221     OutPut << endl;
222     FileSalida << endl;
223     }
224     OutPut.close();
225     FileSalida.close();
226     }
227
228 void FileGnuplotGrid(){
229     //imprime archivos para graficar
230     PrintGrid();
231     //imprime input para gnuplot
232     PrintGridGnuplot();
233     }
234
235 void ComputeDeltaGrid(){
236     switch(valor){
237         //Para X
238         case 1:
239             if(SideY <= SideZ) {
240                 Delta = SideY/Bins;
241                 Bini = Bins;
242                 Binj = int(SideZ/Delta);
243             }
244             else{
245                 Delta = SideZ/Bins;
246                 Bini = Bins;
247                 Binj = int(SideY/Delta);
248             }
249             break;
250         //Para Y
251         case 2:
252             if(SideX <= SideZ) {
253                 Delta = SideX/Bins;
254                 Bini = Bins;
255                 Binj = int(SideZ/Delta);
256             }
257             else{
258                 Delta = SideZ/Bins;
259                 Bini = Bins;
260                 Binj = int(SideX/Delta);
261             }
262             break;
263         //Para Z
264         case 3:
265             if(SideX <= SideY) {
266                 Delta=SideX/Bins;
267                 Bini = Bins;
268                 Binj = int(SideY/Delta);
269             }
270             else{
271                 Delta=SideY/Bins;
272                 Bini = Bins;
273                 Binj = int(SideX/Delta);
274             }
275             break;
276         default:
277             cout << "No se asigno la cara de la celda" << endl;
278             break;
279     }
280 }
281

```

```

282 void GridWall(int i){
283 //Compara si el atomo esta en el intervalo de analisis
284 switch(valor){
285 //Para X
286 case 1:
287     if(x[i] <= limite){
288         //contador de atomos en la region
289         ContadorPuntoTotal[0]++;
290         //Contador de atomo por cuadrícula de la malla
291         ContadorPunto[0][int(y[i]/Delta)][int(z[i]/Delta)]++;
292     }
293     if(x[i] >= SideX-limite){
294         //contador de atomos en la region
295         ContadorPuntoTotal[1]++;
296         //Contador de atomo por cuadrícula de la malla
297         ContadorPunto[1][int(y[i]/Delta)][int(z[i]/Delta)]++;
298     }
299     break;
300 //Para Y
301 case 2:
302     if(y[i] <= limite){
303         //contador de atomos en la region
304         ContadorPuntoTotal[0]++;
305         //Contador de atomo por cuadrícula de la malla
306         ContadorPunto[0][int(x[i]/Delta)][int(z[i]/Delta)]++;
307     }
308     if(y[i] >= SideY-limite){
309         //contador de atomos en la region
310         ContadorPuntoTotal[1]++;
311         //Contador de atomo por cuadrícula de la malla
312         ContadorPunto[1][int(x[i]/Delta)][int(z[i]/Delta)]++;
313     }
314     break;
315 //Para Z
316 case 3:
317     if(z[i] <= limite){
318         //contador de atomos en la region
319         ContadorPuntoTotal[0]++;
320         //Contador de atomo por cuadrícula de la malla
321         ContadorPunto[0][int(x[i]/Delta)][int(y[i]/Delta)]++;
322     }
323     if(z[i] >= SideZ-limite){
324         //contador de atomos en la region
325         ContadorPuntoTotal[1]++;
326         //Contador de atomo por cuadrícula de la malla
327         ContadorPunto[1][int(x[i]/Delta)][int(y[i]/Delta)]++;
328     }
329     break;
330 default:
331     cout << "No se asigno átomo a la malla" << endl;
332     break;
333 }
334 }
335
336 void MapGrid(){
337     for(int i=0;i<Particles;i++){
338         //Busca el atomo a localizar en la malla
339         if(strcmp(AtomID[i],TypeAtomsConsider)==0){
340             //analiza si el atomo esta en la region de analisis
341             GridWall(i);
342         }
343     }
344 }
345
346 void HeaderGnuplot(int Bloque){
347 //opciones para gnuplot

```



```

348 OutPut << "set encoding iso_8859_1" << endl;
349 OutPut << "set terminal pdf enhanced" << endl;
350     OutPut << "set output \"Bloque\" << Bloque << ".pdf\" " << endl;
351     OutPut << "set xlabel \"tiempo [ns]\" " << endl;
352     OutPut << "set yrange[0:5]" << endl;
353     OutPut << "set ylabel \"Distancia al plano [{}\305]\" " << endl;
354     OutPut << "set key outside right top vertical Right noreverse enhanced" << endl;
355 }
356
357 void FooterGnuplot(int Bloque,int BT){
358     //Crea instrucción para graficar en gnuplot
359     char imprime[500] = "";
360     char Numero[100] = "";
361     char cadenaAuxiliar[100] = "";
362     char AtomoAuxiliar[100] = "Atomo";
363     char title[100] = "";
364     char Graf[100] = " u ($1/1000):2 w l t ";
365     strcat(imprime,"p ");
366     /*cambia el tamaño de bloque solo la cantidad de elementos
367     * no es suficiente para el número de elementos requeridos
368     * por bloque y que solo haga los elementos disponibles.*/
369     if(Bloque+1 == BT && LinesFile %bloque != 0){
370         bloque = LinesFile %bloque;
371     }
372     //bloque es el tamaño de los elementos del Bloque
373     for(int i=0; i<bloque; i++){
374         sprintf(Numero,"%d",atoms[Bloque*bloque+i]);
375         strcat(cadenaAuxiliar,"\"");
376         strcat(cadenaAuxiliar,AtomoAuxiliar);
377         strcat(cadenaAuxiliar,Numero);
378         strcat(title,"\"O-");
379         sprintf(Numero,"%04d",atoms[Bloque*bloque+i]);
380         strcat(title,Numero);
381         strcat(title,"\"");
382         strcat(cadenaAuxiliar,".dat\"");
383         strcat(imprime,cadenaAuxiliar);
384         strcat(imprime,Graf);
385         strcat(imprime,title);
386         if(i == (bloque-1)){
387             strcat(imprime," ");
388         }
389         else{
390             strcat(imprime,",");
391         }
392
393         //Borra el contenido de la cadena
394         strcpy(cadenaAuxiliar,"");
395         strcpy(title,"");
396     }
397     OutPut << imprime << endl;
398     OutPut << endl;
399
400 }
401
402 int ReadDataAndAssignBlock(){
403     int bloquesTotales=0;
404     //determina el numero de bloques que contiene n átomos
405     bloquesTotales = (int)(LinesFile/bloque);
406
407     if( LinesFile %bloque != 0){
408         bloquesTotales++;
409     }
410     file_xyz=fopen(Archivo,"r");
411     //lee datos de atomos a analizar
412     ReadFileDataGraph();
413     fclose(file_xyz);

```

```

414     return bloquesTotales;
415 }
416
417 void DivideMoleculas(){
418     //clasifica oxigenos por secciones de acuerdo a su posicion
419     char OutputBin[100]="";
420     char OutputNumber []="Conj";
421     int seccion=0,atomo=0;
422     double bin[4];
423     //bin[0] = SideY/4;
424     bin[0] = 5;
425     bin[1] = 2*SideY/4;
426     bin[2] = 3*SideY/4;
427     bin[3] = SideY;
428
429     for(int i=0;i<Particles;i++){
430         //busca oxigenos
431         if(strcmp(AtomID[i],"O")==0){
432             atomo++;
433             //A superficie positiva
434             if(y[i] < bin[1]){
435                 if(y[i] < bin[0]){
436                     seccion = 1;
437                 }
438                 else{
439                     seccion = 2;
440                 }
441             }
442             //A superficie negativa
443             else{
444                 if(y[i] < bin[2]){
445                     seccion = 3;
446                 }
447                 else{
448                     seccion = 4;
449                 }
450             }
451             sprintf(OutputNumber,"%d",seccion);
452             strcat(OutputBin,"Seccion");
453             strcat(OutputBin,OutputNumber);
454             strcat(OutputBin,".dat");
455             OutPut.open(OutputBin, std::ofstream::out | std::ofstream::app);
456             OutPut << atomo << endl;
457             OutPut.close();
458             strcpy(OutputBin,"");
459         }
460     }
461 }
462
463
464 void PrintDistance(int archivo, double D[2]){
465     //archivo: tiene distancias de cada n átomo
466     char OutputBin[100]="";
467     char OutputNumber []="Conj";
468
469     sprintf(OutputNumber,"%d",archivo);
470     strcat(OutputBin,"Atomo");
471     strcat(OutputBin,OutputNumber);
472     strcat(OutputBin,".dat");
473     //guarda en el mismo archivo (app)
474     OutPut.open(OutputBin, std::ofstream::out | std::ofstream::app);
475     OutPut << Replicas+1 << "\t" << D[0] << "\t" << D[1] << endl;
476     OutPut.close();
477     strcpy(OutputBin,"");
478 }
479

```

```

480 void Distances () {
481 //calcula distancia solo de oxigenos
482 double distancias [2]={0.0};
483 //contador de oxigenos
484 int Oxigeno = 0;
485 for (int i=0; i<Particles; i++){
486 if (strcmp (AtomID [i], "O")==0){
487 //asigna la coordenada y al elemento 1 del arreglo
488 distancias [0] = y [i];
489 DistanceToWall (distancias);
490 Oxigeno++;
491 PrintDistance (Oxigeno, distancias);
492 }
493 }
494 }
495
496 void DistanceToWall (double d [2]) {
497 //Calcula la distancia a cada superficies
498 //d [0]: superficie izquierda
499 //d [1]: superficie derecha
500 //Guarda la coordenada
501 double y = d [0];
502
503 //distancia al plano y=0
504 d [0] = y;
505
506 //distancia al plano y=SideY
507 d [1] = SideY - y;
508
509 }
510
511 void ImprimeBines () {
512 //Imprime las moléculas que están en y menor a 10 solo para una configuración
513 for (int i=0; i<Particles; i++){
514 if (strcmp (AtomID [i], "O")==0 && y [i]>290.584){
515 cout << AtomID [i-1] << "\t" << x [i-1] << "\t" << y [i-1] << "\t" << z [i-1]
516 << endl;
517 cout << AtomID [i] << "\t" << x [i] << "\t" << y [i] << "\t" << z [i] << endl;
518 cout << AtomID [i+1] << "\t" << x [i+1] << "\t" << y [i+1] << "\t" << z [i+1]
519 << endl;
520 }
521 }
522 }
523
524 void DefineCharges (int forcefield) {
525 //Define las cargas por modelo
526 switch (forcefield) {
527 case 1:
528 amoeba.ChargeO = -0.594024*ElectronCharge;
529 amoeba.ChargeH = 0.297012*ElectronCharge;
530 break;
531 case 2:
532 amoeba.ChargeO = -0.51966*ElectronCharge;
533 amoeba.ChargeH = 0.25983*ElectronCharge;
534 break;
535 case 3:
536 tip4pfb.ChargeO = 0.0;
537 tip4pfb.ChargeH = 0.527*ElectronCharge;
538 tip4pfb.ChargeM = -1.054*ElectronCharge;
539 break;
540 default:
541 cout << "No se asignaron las cargas, ";
542 cout << "los modelos disponibles son: ";
543 cout << "iamoeba, tip4pfb y amoeba" << endl;
544 break;
545 }
546 }

```

```

544 }
545 }
546
547 void ModelSelection () {
548     int opcion=0;
549
550     if (strcmp (WaterModel, "iamoeba")==0) {
551         opcion=1;
552         DefineCharges (opcion);
553         charge [0] = iamoeba .ChargeO;
554         charge [1] = iamoeba .ChargeH;
555     }
556
557     if (strcmp (WaterModel, "amoeba")==0) {
558         opcion=2;
559         DefineCharges (opcion);
560         charge [0] = amoeba .ChargeO;
561         charge [1] = amoeba .ChargeH;
562     }
563
564     if (strcmp (WaterModel, "tip4pfb")==0) {
565         opcion=3;
566         DefineCharges (opcion);
567         charge [0] = tip4pfb .ChargeO;
568         charge [1] = tip4pfb .ChargeH;
569         charge [2] = tip4pfb .ChargeM;
570     }
571 }
572
573 void ComputeDipoleMomentSystem () {
574
575     ComputeDipoleMoment (valor , charge );
576
577 }
578
579 void ComputeDipoleMoment (int value , double Char []) {
580     /*Direccion de Analisis , x=1,y=2, z=3
581     * Carga del modelo, Char[0] Oxigeno , Char[1] Hidrogeno y Char[2] M
582     * */
583
584     double DipoleMoment [3]={0.0,0.0,0.0};
585     double r [3] = {0.0,0.0,0.0};
586     double r2 [3] = {0.0,0.0,0.0};
587     double Magnitude;
588
589     //Suma qr para todos los atomos
590     for (int i=0; i<Particles; i++){
591         // coordenadas convertidas a metros
592         r [0] = Ang2m (x [i] );
593         r [1] = Ang2m (y [i] );
594         r [2] = Ang2m (z [i] );
595         r2 [0] = x [i] ;
596         r2 [1] = y [i] ;
597         r2 [2] = z [i] ;
598         //Producto qr si es oxigeno
599         if (strcmp (AtomID [i] , "O")==0) {
600             ProductVectorByScalar (r , Char [0] );
601             //DipoleMomentBySliceFunction (r2 , value , r);
602             for (int j=0; j<3; j++){
603                 DipoleMoment [j] = DipoleMoment [j] + r [j] ;
604             }
605         }
606         //Producto qr si es hidrogeno
607         if (strcmp (AtomID [i] , "H1")==0 ||
608             strcmp (AtomID [i] , "H2")==0 ||
609             strcmp (AtomID [i] , "H")==0) {

```

```

610         ProductVectorByScalar(r, Char[1]);
611         //DipoleMomentBySliceFunction(r2, value, r);
612         for(int j=0; j<3; j++){
613             DipoleMoment[j] = DipoleMoment[j] + r[j];
614         }
615     }
616     //Producto qr si es Sitio Virtual
617     if(strcmp(AtomID[i], "M")==0){
618         ProductVectorByScalar(r, Char[2]);
619         //DipoleMomentBySliceFunction(r2, value, r);
620         for(int j=0; j<3; j++){
621             DipoleMoment[j] = DipoleMoment[j] + r[j];
622         }
623     }
624 }
625 //Convierte a Debye
626 Magnitude = Cm2Debye(MagnitudeVector(DipoleMoment));
627
628 /*
629 //Imprime Momento Dipolar Total en Debye
630 cout << Replicas+1 << "\t";
631 Magnitude = Cm2Debye(MagnitudeVector(DipoleMoment));
632 cout << Magnitude << endl;*/
633
634 /*****/
635 //Imprime Momento Dipolar Total por Bloque en archivos diferentes
636 int numArchivo = 0;
637 char OutputBin[100]="";
638 char OutputNumber[]="Conj";
639 //Bins es el numero de division
640 numArchivo = (Replicas+1)%bloque;
641 //cout << numArchivo << endl;
642 if(numArchivo == 0) numArchivo = bloque;
643 sprintf(OutputNumber, "%d", numArchivo);
644 strcat(OutputBin, "MomDip");
645 strcat(OutputBin, OutputNumber);
646 strcat(OutputBin, ".txt");
647 OutPut.open(OutputBin, std::ofstream::out | std::ofstream::app);
648 OutPut << Replicas+1 << "\t" << Magnitude << endl;
649 OutPut.close();
650 strcpy(OutputBin, "");
651
652
653 //Momento dipolar por rebanada
654 /*
655 for(int i=0; i<Bins; i++){
656     Magnitude = Cm2Debye(MagnitudeVector(DipoleMomentBySlice[i]));
657     cout << Magnitude << "\t";
658 }*/
659
660 DipoleMomentByCell[0] = DipoleMomentByCell[0] + Magnitude;
661 DipoleMomentByCell[1] = DipoleMomentByCell[1] + Magnitude*Magnitude;
662
663 //Reinicia los valores para cada bin a cero
664 /*
665 for(int i=0; i<Bins; i++){
666     for(int j=0; j<3; j++){
667         DipoleMomentBySlice[i][j] = 0.0;
668     }
669 }*/
670
671 }
672
673 void MomentoDipolarModeloFlexible(int lin){
674     /*
675     * Esta funcion lee las componentes del dipolo

```

```

676      * de los modelos flexibles calculados en OpenMM
677      */
678
679      char linea[100];
680      char OutputBin[100]="";
681      char OutputNumber []="Conj";
682      double MomDipLocal=0.0;
683      int numArchivo=0;
684      lin--;
685      //Son 7 porque el bloque es de 7 lineas
686      for(int i=0; i<7 ;i++){
687          fgets (linea ,100 ,file_xyz );
688          if(i == lin){
689              sscanf (linea , "%f %f %f",&MomDipolar [0] ,&MomDipolar [1] ,&MomDipolar [2] );
690              MomDipLocal = MagnitudeVector (MomDipolar );
691              //printf("%d \t %f \n",Replicas+1,MomDipLocal);
692          }
693      }
694      if (Replicas >= NumberOfReplica) {
695          //En Debye
696          DipoleMomentByCell [0] = DipoleMomentByCell [0] + MomDipLocal;
697          DipoleMomentByCell [1] = DipoleMomentByCell [1] + MomDipLocal*MomDipLocal;
698      }
699
700      strcat (OutputBin , "MomDip. dat");
701      OutPut2.open (OutputBin ,std :: ofstream :: out | std :: ofstream :: app);
702      OutPut2 << Replicas+1 << "\t" << MomDipLocal << endl;
703      OutPut2.close ();
704      strcpy (OutputBin , "");
705      /*char OutputBin[100]=""; //para asignar MD en bloques separados: 1, 19,37, etc
706      char OutputNumber []="Conj";
707      //Bins es el numero de division
708      numArchivo = (Replicas+1)%bloque;
709      //cout << numArchivo << endl;
710      if (numArchivo == 0) numArchivo = bloque;
711      sprintf (OutputNumber , "%d" ,numArchivo);
712      strcat (OutputBin , "MomDip");
713      strcat (OutputBin , OutputNumber);
714      strcat (OutputBin , ". txt");
715      OutPut.open (OutputBin ,std :: ofstream :: out | std :: ofstream :: app);
716      OutPut << Replicas+1 << "\t" << MomDipLocal << endl;
717      OutPut.close ();
718      strcpy (OutputBin , "");*/
719
720  }
721
722 void PrintProfileDielectricConstant () {
723     double Mmedia, M2media, factorCell , factorBin , e , reptemp=0;
724     //calculo de la fluctuación
725     factorCell = 1/(3*KBJ*298.15*eps0*Ang32m3 (SideX*SideY*SideZ));
726
727     if (NumberOfReplica != 0){
728         //para el caso de los flexibles que necesitan equilibrar despues de tip4pfb
729         reptemp = Replicas +1-NumberOfReplica;
730         Mmedia = DipoleMomentByCell [0]/reptemp;
731         M2media = DipoleMomentByCell [1]/reptemp;
732         e = 1 + factorCell *(Debye22Cm2 (M2media));
733         OutPut << reptemp << "\t" << e << endl;
734     }
735     else {
736         Mmedia = DipoleMomentByCell [0]/(Replicas+1);
737         M2media = DipoleMomentByCell [1]/(Replicas+1);
738         e = 1 + factorCell *(Debye22Cm2 (M2media));
739         OutPut << Replicas+1 << "\t" << e << endl;
740     }
741

```

```

742     /*for (int j=0;j<Bins;j++){
743         //Formato para imprimir por columnas ordenadas y con numero de decimales fija
744         FormatPrint();
745         cout << Delta*(j+1)-Delta/2;
746         cout << " \t" << DMomentTotalBySlice[j][0]/ Configuration ;
747         cout << " \t" << DMomentTotalBySlice[j][1]/ Configuration << endl;
748     }*/
749 }
750
751 double DotProduct(double v1[3],double v2[3]){
752     double dotproduct=0;
753     for(int i=0; i<3 ;i++){
754         dotproduct = dotproduct + v1[i]*v2[i];
755     }
756     return dotproduct;
757 }
758
759 double MagnitudeVector(double Vector[3]){
760     double MagnitudeVec = 0.0;
761     for(int i=0;i<3;i++){
762         MagnitudeVec = MagnitudeVec + Vector[i]*Vector[i];
763     }
764     return sqrtl(MagnitudeVec);
765 }
766
767 void DipoleMomentBySliceFunction(double rn[3],int val, double rq[3]){
768     //val corresponde a x,y o z, {1,2,3} y val-1 corresponde a la coordenada
769     //en el arreglo
770     int bin=0;
771
772     //Asigna el producto qr al bin correspondiente
773     bin = (int)(rn[val-1]/Delta);
774     for(int i=0;i<3;i++){
775         DipoleMomentBySlice[bin][i] = DipoleMomentBySlice[bin][i] + rq[i];
776         //cout << DipoleMomentBySlice[bin][i] << "\t";
777     }//cout << endl;
778 }
779
780 void ProductVectorByScalar(double vector[3], double scalar){
781     for(int i =0; i<3; i++){
782         vector[i] = vector[i]*scalar;
783     }
784
785 }
786
787 void PrintProfileCD(){
788     //Desplazamiento cuadratico medio MSD
789     char OutputBin[100]="";
790     char OutputNumber []="Num";
791     strcat(OutputBin, "CoefDifPorCelda.dat");
792     OutPutBins.open(OutputBin, std::ofstream::out | std::ofstream::app);
793
794     //imprime MSD por componente y total durante el tiempo de simulacion
795     // 6*Pasos*Deltat*NPasos = 6*0.500*0.002*25000
796     OutPutBins << tiempoVar ;
797     for(int j=0;j<3;j++){
798         OutPutBins << " \t" << MSD_comp_Average[j];
799         //OutPutBins << " \t" << MSD_comp_Average[j]/(6*tiempoVar);
800         //OutPutBins << " \t" << AngCua2CmCua(MSD_comp_Average[j])/(6*Ns2s(tiempoVar));
801     }
802     OutPutBins << " \t" << MSD_Average << endl;
803     //OutPutBins << " \t" << MSD_Average/(6*tiempoVar) << endl;
804     //OutPutBins << " \t" << AngCua2CmCua(MSD_Average)/(6*Ns2s(tiempoVar)) << endl;
805     OutPutBins.close();
806 }
807

```

```

808 void ComputeDifference () {
809     double VecDif[3] = {0.0};
810     //ValuesToCero ();
811     for (int i=0; i<NumberOfMolec; i++){
812         //Calcula la diferencia con PBC, VecDif entra en cero
813         // y dentro de la funcion se asigna su valor
814         //distance_pbc (VecDif, i);
815         for (int j=0; j<3; j++){
816             VecDif[j] = r_temp[i][j]-r_inic[i][j]; //aquí sin PBC
817
818             //Calcula el producto punto
819             VecDif[j] = VecDif[j]*VecDif[j];
820
821             //Asigna producto punto al MSDTemporal
822             MSDTemp = VecDif[j] + MSDTemp;
823
824             //Asigna producto punto al MSD Temporal por componente (x,y,z)
825             MSDTemp_comp[j] = VecDif[j] + MSDTemp_comp[j];
826         }
827     }
828
829     //Obtiene el MSD promedio en cada punto y lo asigna al MSD global
830     for (int j=0; j<3; j++){
831         //MSD global por componente
832         MSD_comp[j] = MSDTemp_comp[j]/NumberOfMolec + MSD_comp[j];
833         MSD_comp_Average[j] = MSD_comp[j]/(Replicas+1);
834         //Reinicia
835         MSDTemp_comp[j] = 0.0;
836     }
837
838     //MSD global total
839     MSD = MSDTemp/NumberOfMolec + MSD;
840
841     MSD_Average = MSD/(Replicas+1);
842     MSDTemp = 0.0;
843
844 }
845
846 void ComputeRCMass (int i) {
847     double Mtotal;
848
849     //inicializa el vector de centro de masa
850     for (int j=0; j<3; j++){
851         rCM[j] = 0.0;
852     }
853
854     //Calcula masa total molecula de agua
855     Mtotal = 2*MasTypeAtoms [1] + MasTypeAtoms [0];
856
857     //centro de masas por molecula de agua
858     rCM[0] = rCM[0] + MasTypeAtoms [1]*x [i];
859     rCM[1] = rCM[1] + MasTypeAtoms [1]*y [i];
860     rCM[2] = rCM[2] + MasTypeAtoms [1]*z [i];
861
862     rCM[0] = rCM[0] + MasTypeAtoms [0]*x [i+1];
863     rCM[1] = rCM[1] + MasTypeAtoms [0]*y [i+1];
864     rCM[2] = rCM[2] + MasTypeAtoms [0]*z [i+1];
865
866     rCM[0] = rCM[0] + MasTypeAtoms [1]*x [i+2];
867     rCM[1] = rCM[1] + MasTypeAtoms [1]*y [i+2];
868     rCM[2] = rCM[2] + MasTypeAtoms [1]*z [i+2];
869
870     rCM[0] = rCM[0]/ Mtotal;
871     rCM[1] = rCM[1]/ Mtotal;
872     rCM[2] = rCM[2]/ Mtotal;
873

```



```

874     }
875
876 void AssignRtemp() {
877     // asigna arreglo inicial con centros de masa
878     int k = 0;
879     for (int i=0; i<NumberOfMolec; i++){
880         // calcula el centro de masa por molecula
881         ComputeRCMass(k);
882         for (int j=0; j<3; j++){
883             r_temp[i][j] = rCM[j];
884             //cout << r_temp[i][j];
885         }
886         k=k+3;
887     }
888
889 }
890
891 void distance_pbc(double dif[3], int i){
892     //Calcula vector con PBC
893     double l[3]={SideX, SideY, SideZ};
894     for (int j=0; j<3; j++){
895         dif[j] = r_temp[i][j]-r_inic[i][j];
896         dif[j] = dif[j] -l[j]*round(dif[j]/l[j]);
897     }
898 }
899
900 void AssignRinicial() {
901     // asigna arreglo inicial con centros de masa
902     int k = 0;
903     for (int i=0; i<NumberOfMolec; i++){
904         ComputeRCMass(k);
905         for (int j=0; j<3; j++){
906             r_inic[i][j] = rCM[j];
907             //cout<< r_inic[i][j];
908         }
909         k=k+3;
910     }
911
912 }
913
914 double AssignBinrCM() {
915     int valueR=1000;
916     switch (valor){
917         case 1:
918             valueR = (int)(rCM[0]/Delta);
919             break;
920         case 2:
921             valueR = (int)(rCM[1]/Delta);
922             break;
923         case 3:
924             valueR = (int)(rCM[2]/Delta);
925             break;
926         default:
927             cout<<"No se asigno la coordenada del CENTRO DE MASA al bin"<<endl;
928             break;
929     }
930     return valueR;
931 }
932
933 void ValuesToCero() {
934     for (int j=0; j<Bins; j++){
935         NumberOfMolec_bin[j]=0.0;
936         MSDTemp_bin[j]=0.0;
937         for (int i=0; i<3; i++){
938             MSDTemp_comp_bin[i][j]=0.0;
939         }

```

```

940     }
941 }
942
943 void CalcAngles () {
944     switch (NumAtomConsider) {
945         case 0: //Hecho para el atomo de oxigeno
946             for (int j=0; j<Bins; j++){
947                 AcumulaConteo[j][NumAtomConsider] = AcumulaConteo[j][
NumAtomConsider] + RespDen[j][NumAtomConsider];
948             } RestartVal ();
949             break;
950         case 1:
951             //hecho para este atomo
952             for (int j=0; j<Bins; j++){
953                 AcumulaConteo[j][NumAtomConsider] = AcumulaConteo[j][
NumAtomConsider] + RespDen[j][NumAtomConsider];
954             } RestartVal ();
955             break;
956         case 2:
957             // hecho para este atomo
958             for (int j=0; j<Bins; j++){
959                 AcumulaConteo[j][NumAtomConsider] = AcumulaConteo[j][
NumAtomConsider] + RespDen[j][NumAtomConsider];
960             } RestartVal ();
961             break;
962         case 3:
963             //Aun no esta hecho para todos los atomos de la molecula
964
965             break;
966         default:
967             cout<<"No se asigno el Coseno promedio al bin"<<endl;
968             break;
969     }
970 }
971
972 void AssignCount () {
973     for (int j=0; j<3; j++){
974         RefBinAng = (int) (acos (Cos[j]) / DeltaAngle);
975         //Ese if es para los limites del coseno del angulo, -1 a 1
976         if (Cos[j] >= 1) {
977             RefBinAng = 0;
978         }
979         if (Cos[j] <= -1) {
980             RefBinAng = (int) (M_PI / DeltaAngle);
981         }
982         //Conteo para los tres angulos calculados, por bin, por atomo y por seccion del
coseno
983         AcumulaAnglesHist [ RefBin ][ NumAtomConsider+j ][ RefBinAng ] ++;
984     }
985 }
986
987 void AnglesX () {
988     for (int i=0; i<Particles; i++){
989         RefBin = (int) (x[i] / Delta);
990         if (strcmp (TypeAtomsConsider, AtomID[i]) == 0) {
991             //Contador de incidencias por atomo para los angulos
992             RespDen [ RefBin ][ NumAtomConsider ] ++;
993             //Si es mayor a la mitad de la caja la orientacion es al otro plano
994             if (x[i] > SideX / 2) {
995                 //Se pasan las coordenadas de O, H1, H2 y el plano a analizar
996                 AssignVector (x[i], y[i], z[i], x[i-1], y[i-1], z[i-1], x[i+1], y[i+1], z
[i+1], SideX);
997             }
998             else {
999                 AssignVector (x[i], y[i], z[i], x[i-1], y[i-1], z[i-1], x[i+1], y[i+1], z
[i+1], 0.0);

```

```

1000     }
1001     //Calcula el coseno del angulo para el momento dipolar y los dos
1002     hidrogenos
1003     Cos[0] = CosineAngle(AngPMHs, AngWall);
1004     Cos[1] = CosineAngle(AngH1, AngWall);
1005     Cos[2] = CosineAngle(AngH2, AngWall);
1006     AssignCount();
1007     }
1008     CalcAngles();
1009 }
1010
1011 void AnglesY(){
1012     for(int i=0; i<Particles; i++){
1013         RefBin=(int)(y[i]/Delta);
1014         if(strcmp(TypeAtomsConsider, AtomID[i])==0){
1015             //Contador de incidencias por atomo para los angulos
1016             RespDen[RefBin][NumAtomConsider]++;
1017             //Si es mayor a la mitad de la caja la orientacion es al otro plano
1018             if(y[i] < SideY/2){
1019                 //Se pasan las coordenadas de O, H1, H2 y el plano a analizar
1020                 AssignVector(x[i], y[i], z[i], x[i-1], y[i-1], z[i-1], x[i+1], y[i+1], z
1021 [i+1], SideY);
1022             }
1023             else{
1024                 AssignVector(x[i], y[i], z[i], x[i-1], y[i-1], z[i-1], x[i+1], y[i+1], z
1025 [i+1], 0.0);
1026             }
1027             if(y[i] != 0){
1028                 //Calcula el coseno del angulo para el momento dipolar y los dos
1029                 hidrogenos
1030                 Cos[0] = CosineAngle(AngPMHs, AngWall);
1031                 Cos[1] = CosineAngle(AngH1, AngWall);
1032                 Cos[2] = CosineAngle(AngH2, AngWall);
1033                 AssignCount();
1034                 }
1035             }
1036             CalcAngles();
1037 }
1038
1039 void AnglesZ(){
1040     for(int i=0; i<Particles; i++){
1041         RefBin=(int)(z[i]/Delta);
1042         if(strcmp(TypeAtomsConsider, AtomID[i])==0){
1043             //Contador de incidencias por atomo para los angulos
1044             RespDen[RefBin][NumAtomConsider]++;
1045             //Si es mayor a la mitad de la caja la orientacion es al otro plano
1046             if(z[i] > SideZ/2){
1047                 //Se pasan las coordenadas de O, H1, H2 y el plano a analizar
1048                 AssignVector(x[i], y[i], z[i], x[i-1], y[i-1], z[i-1], x[i+1], y[i+1], z
1049 [i+1], SideZ);
1050             }
1051             else{
1052                 AssignVector(x[i], y[i], z[i], x[i-1], y[i-1], z[i-1], x[i+1], y[i+1], z
1053 [i+1], 0.0);
1054             }
1055             //Calcula el coseno del angulo para el momento dipolar y los dos
1056             hidrogenos
1057             Cos[0] = CosineAngle(AngPMHs, AngWall);
1058             Cos[1] = CosineAngle(AngH1, AngWall);
1059             Cos[2] = CosineAngle(AngH2, AngWall);
1060             AssignCount();
1061             }
1062             }
1063             CalcAngles();

```

```

1059     }
1060
1061 void AssignVector(double POneX, double POneY, double POneZ, double PTwoX, double PTwoY,
1062 double PTwoZ, double PThreeX, double PThreeY, double PThreeZ, double L){
1063     //Pone es oxigeno, Ptwo es hidrogeno 1 y Pthree es hidrogeno 3
1064     //L es el valor donde se encuentra el plano, 0 o Ly=295.584
1065     //Vector oxigeno a punto medio de hidrogenos
1066     //Coordenada punto medio en hidrogenos, menos la coordenada del Oxigeno
1067     AngPMHs[0] = ( PTwoX + PThreeX )/2 - POneX;
1068     AngPMHs[1] = ( PTwoY + PThreeY )/2 - POneY;
1069     AngPMHs[2] = ( PTwoZ + PThreeZ )/2 - POneZ;
1070
1071     //Vector oxigeno a hidrogeno 1
1072     AngH1[0] = PTwoX - POneX;
1073     AngH1[1] = PTwoY - POneY;
1074     AngH1[2] = PTwoZ - POneZ;
1075
1076     //Vector oxigeno a hidrogeno 2
1077     AngH2[0] = PThreeX - POneX;
1078     AngH2[1] = PThreeY - POneY;
1079     AngH2[2] = PThreeZ - POneZ;
1080     /*
1081     * A continuacion, se asignan las coordenadas del punto en el MURO,
1082     * dependiendo de la direccion del analisis,
1083     * considerando que el muro esta en el 0,0,0 y en donde termina la caja.
1084     * El +1 es para evitar tener vector nulo, si se hace un analisis para agua pura,
1085     * donde en principio puede tener la coordenada en 0,0,0.
1086     * El vector AngWall va de la superficie al oxigeno
1087     * */
1088     switch(valor){
1089         //Oxigeno menos el plano mas uno
1090         case 1:
1091             AngWall[0] = POneX -L +1;
1092             AngWall[1] = 0.0;
1093             AngWall[2] = 0.0;
1094             break;
1095         case 2:
1096             AngWall[0] = 0.0;
1097             AngWall[1] = POneY - L;
1098             AngWall[2] = 0.0;
1099             break;
1100         case 3:
1101             AngWall[0] = 0.0;
1102             AngWall[1] = 0.0;
1103             AngWall[2] = POneZ -L +1;
1104             break;
1105         default:
1106             cout<<"No se asigno Vector Correctamente para calcular Angulos"<<endl
1107             ;
1108             break;
1109     }
1110 }
1111
1112 double CosineAngle(double v1[3], double v2[3]){
1113     //esta funcion calcula el coseno entre dos vectores
1114     double coseno=0.0, MagnitudV1=0.0, MagnitudV2=0.0;
1115     for(int i=0; i<3; i++){
1116         coseno = coseno + v1[i]*v2[i];
1117         MagnitudV1 = MagnitudV1 + v1[i]*v1[i];
1118         MagnitudV2 = MagnitudV2 + v2[i]*v2[i];
1119     }
1120     return coseno/sqrtl(MagnitudV1*MagnitudV2);
1121 }
1122 void AssignProfile(){

```

```

1123 NumAtomConsider=1000;
1124 for(int j=0; j<=TypeAtoms; j++){
1125     if(strcspn(TypeAtomsConsider, AtomSearch[j])==0){
1126         NumAtomConsider=j;
1127         cout<<"Entro esta opcion: "<<j<<" "<<AtomSearch[j]<<endl;
1128     }
1129     /*Los valores seleccionados son para oxigeno cero,
1130     * cualquiera de los hidrogenos 2 porque no se distingue entre uno y otro,
1131     * toma 1 para H1 pero pasa a 2 en H2 porque compara las H y 3 para all.
1132     */
1133 }
1134 if(NumAtomConsider==1000){
1135     cout<<"No se pude asignar el tipo de atomo para el perfil, valor de: "<<
NumAtomConsider;
1136     cout<<" y deberia ser cero, uno, dos o tres"<<endl;
1137 }
1138 }
1139
1140 int Alerts(){
1141     //Alerta si sobrepasa el limite de los arreglos
1142     int condition=1;
1143     if(Bins>MaxOfBins){
1144         cout<<"El numero de bins proporcionado es mayor al maximo definido, cambiar en
codigo\n"<<endl;
1145         condition=0;
1146     }
1147     else{
1148         condition=2;
1149     }
1150     if(Configuration>MaxConfigur){
1151         cout<<"El numero de configuraciones en el archivo es mayor al maximo definido,
cambiar en codigo\n"<<endl;
1152         condition=0;
1153     }
1154     else{
1155         condition=2;
1156     }
1157     return condition;
1158 }
1159
1160 void RestartVal(){
1161     for(int j=0; j<Bins; j++){
1162         Density[j]=0.0;
1163         for(int i=0; i<=TypeAtoms; i++){
1164             RespDen[j][i]=0.0;
1165             AcumulaAngles[j][i] = 0.0;
1166         }
1167     }
1168 }
1169
1170 void DensityZ(){
1171     /*compara si pertenece al tipo de atomo para contarlos,
1172     * primero identifica el delta y luego el tipo de atomo
1173     */
1174     for(int i=0; i<Particles; i++){
1175         for(int j=0; j<TypeAtoms; j++){
1176             if(strcmp(AtomID[i], AtomSearch[j])==0){
1177                 RespDen[(int)(z[i]/Delta)][j]++;
1178             }
1179         }
1180     }
1181     CalcDensity();
1182 }
1183
1184 void DensityY(){
1185     /*compara si pertenece al tipo de atomo para contarlos,

```

```

1186     * primero identifica el delta y luego el tipo de atomo
1187 */
1188     for (int i=0; i<Particles; i++){
1189         for (int j=0; j<TypeAtoms; j++){
1190             if (strcmp (AtomID [ i ] , AtomSearch [ j ]) == 0) {
1191                 RespDen [ ( int ) ( y [ i ] / Delta ) ] [ j ] ++ ;
1192             }
1193         }
1194     }
1195     CalcDensity () ;
1196 }
1197
1198 void DensityX () {
1199     /*compara si pertenece al tipo de atomo para contarlos ,
1200     * primero identifica el delta y luego el tipo de atomo
1201     */
1202     for (int i=0; i<Particles; i++){
1203         for (int j=0; j<TypeAtoms; j++){
1204             if (strcmp (AtomID [ i ] , AtomSearch [ j ]) == 0) {
1205                 RespDen [ ( int ) ( x [ i ] / Delta ) ] [ j ] ++ ;
1206             }
1207         }
1208     }
1209     CalcDensity () ;
1210 }
1211
1212 void PrintDistribution () {
1213     freopen ( "Distribucion.dat" , "w" , stdout ) ;
1214     for (int j=0; j<100; j++){
1215         //Formato para imprimir por columnas ordenadas y con numero de decimales fija
1216         FormatPrint () ;
1217         cout << j << " \t" << distribution [ j ] << endl ;
1218     }
1219     fclose ( stdout ) ;
1220 }
1221
1222 void PrintProfileAngles () {
1223     //Perfiles de angulos por bin
1224     char OutputBin [ 100 ] = "" ;
1225     char OutputBinConteo [ 100 ] = "" ;
1226     char OutputNumber [] = "Num" ;
1227     double DeltaSolid = DeltaAngle / 2 , SolidAngle = 0 ;
1228     int inicio = int ( DeltaDegree / 2 ) , incremento = DeltaDegree ; ;
1229     for (int k=0; k<Bins; k++){
1230         sprintf ( OutputNumber , "%d" , k+1 ) ;
1231         strcat ( OutputBin , "PerfilAnguloBin" ) ;
1232         strcat ( OutputBin , OutputNumber ) ;
1233         strcat ( OutputBin , ".txt" ) ;
1234         OutPut . open ( OutputBin ) ;
1235         for (int l=inicio; l<HalfAngles; l=l+incremento) {
1236             FormatPrint () ;
1237             //Angulo Solido
1238             SolidAngle = 2*M_PI*( cos ( Deg2Rad ( l ) - DeltaSolid ) - cos ( Deg2Rad ( l ) + DeltaSolid )
1239 );
1240             //SolidAngle = 2*M_PI*(1.0 - cos ( Deg2Rad ( l ) + DeltaAngle ) ) ;
1241             OutPut << cos ( Deg2Rad ( l ) ) << " \t" << AcumulaAnglesHist [ k ] [ NumAtomConsider ] [ ( int ) ( Deg2Rad ( l ) /
DeltaAngle ) ] / AcumulaConteo [ k ] [ NumAtomConsider ] ;
1242             OutPut << " \t" << AcumulaAnglesHist [ k ] [ NumAtomConsider + 1 ] [ ( int ) ( Deg2Rad ( l ) /
DeltaAngle ) ] / AcumulaConteo [ k ] [ NumAtomConsider ] ;
1243             OutPut << " \t" << AcumulaAnglesHist [ k ] [ NumAtomConsider + 2 ] [ ( int ) ( Deg2Rad ( l ) /
DeltaAngle ) ] / AcumulaConteo [ k ] [ NumAtomConsider ] ; //<<endl ;
1244             OutPut << " \t" << AcumulaAnglesHist [ k ] [ NumAtomConsider ] [ ( int ) ( Deg2Rad ( l ) /
DeltaAngle ) ] / AcumulaConteo [ k ] [ NumAtomConsider ] / SolidAngle ;
1245             //OutPut << " \t" << SolidAngle << " \t" << AcumulaAnglesHist [ k ] [ NumAtomConsider ] [ (
int ) ( Deg2Rad ( l ) / DeltaAngle ) ] / AcumulaConteo [ k ] [ NumAtomConsider ] ;

```

```

1245         OutPut<<" \t"<<AcumulaAnglesHist[k][NumAtomConsider+1][(int)(Deg2Rad(1)/
DeltaAngle)]/ AcumulaConteo[k][NumAtomConsider]/ SolidAngle;
1246         OutPut<<" \t"<<AcumulaAnglesHist[k][NumAtomConsider+2][(int)(Deg2Rad(1)/
DeltaAngle)]/ AcumulaConteo[k][NumAtomConsider]/ SolidAngle<<endl;
1247     }
1248     OutPut.close();
1249     strcpy(OutputBin, "");
1250 }
1251 }
1252
1253 void PrintProfile() {
1254     //Perfil de densidad promedio de n puntos de la trayectoria
1255     sprintf(Output, "%d", Bins);
1256     strcat(Output, Output1);
1257     strcat(Output, TypeAtomsConsider);
1258     strcat(Output, ".txt");
1259     cout<<"Perfil de Densidad Guardado en: "<<Output<<endl;
1260     freopen(Output, "w", stdout);
1261     for(int j=0; j<Bins; j++){
1262         //Formato para imprimir por columnas ordenadas y con numero de decimales fija
1263         FormatPrint();
1264         //cout<<Delta*(j+1)-Delta/2<<" \t"<<rep[j]/ Configuration<<endl;
1265         if(ContadorRep[j]==0) ContadorRep[j]=1;
1266         cout<<Delta*(j+1)-Delta/2<<" \t"<<rep[j]/ ContadorRep[j]<<endl;
1267     }
1268     fclose(stdout);
1269 }
1270
1271 void FormatPrint() {
1272     //notacion fija a punto decimal
1273     cout<<setiosflags(ios::fixed);
1274     //6 numeros despues del punto y lo que no se ocupa de los 12 espacios se llena con
espacio vacio
1275     cout<<setw(12)<<setprecision(6)<<setfill(' ');
1276 }
1277
1278 void CalcDensity() {
1279     //calcula densidad en unidades g/mL por bin
1280     for(int j=0; j<Bins; j++){
1281         ProfileSelected(j);
1282         Density[j]=(RespDen[j][TypeAtoms]*1.66)/DeltaVolumen;
1283         if(Density[j]!=0){ContadorRep[j]++; }
1284         rep[j]=Density[j]+rep[j];
1285     }
1286     RestartVal();
1287 }
1288
1289 void ProfileSelected(int j){
1290     //Calcula la densidad dependiendo el atomo a considerar O,H1,H2
1291     switch(NumAtomConsider){
1292         case 0: //Solo atomo de oxigeno
1293             //RespDen[j][TypeAtoms]=RespDen[j][TypeAtoms] + RespDen[j][
NumAtomConsider]*MasTypeAtoms[NumAtomConsider];
1294             //Solo atomo de oxigeno pero con masa del agua
1295             RespDen[j][TypeAtoms]=RespDen[j][TypeAtoms] + RespDen[j][
NumAtomConsider]*MasAgua;
1296             break;
1297         case 1: //Todos los atomos de Hidrogeno
1298             RespDen[j][TypeAtoms]=RespDen[j][TypeAtoms] + RespDen[j][
NumAtomConsider]*MasTypeAtoms[NumAtomConsider];
1299             break;
1300         case 2: //Todos los atomos de Hidrogeno
1301             RespDen[j][TypeAtoms]=RespDen[j][TypeAtoms] + RespDen[j][
NumAtomConsider]*MasTypeAtoms[NumAtomConsider];
1302             break;
1303         case 3: //Todos los atomos

```

```

1304         for (int l=0; l<TypeAtoms; l++){
1305             RespDen[j][TypeAtoms]=RespDen[j][TypeAtoms] + RespDen[j][l]*
MasTypeAtoms[l];
1306         }
1307         break;
1308         default:
1309             cout<<"No se calculo densidad ni por atomo ni por toda la molecula"<<
endl;
1310             break;
1311     }
1312 }
1313
1314 void AssignDensity(){
1315     //Indica en que direccion se hara el analisis
1316     switch(valor){
1317         case 1:
1318             DensityX();
1319             break;
1320         case 2:
1321             DensityY();
1322             break;
1323         case 3:
1324             DensityZ();
1325             break;
1326         default:
1327             break;
1328     }
1329 }
1330
1331 void AssignAngles(){
1332     //Indica en que direccion se hara el analisis
1333     switch(valor){
1334         case 1:
1335             AnglesX();
1336             break;
1337         case 2:
1338             AnglesY();
1339             break;
1340         case 3:
1341             AnglesZ();
1342             break;
1343         default:
1344             break;
1345     }
1346 }
1347
1348 void ComputeDelta(int val){
1349     //Calcula los valores de delta en el eje y de volumen
1350     switch(val){
1351         case 1:
1352             Delta=SideX/Bins;
1353             DeltaVolumen=SideY*SideZ*Delta;
1354             break;
1355         case 2:
1356             Delta=SideY/Bins;
1357             DeltaVolumen=SideX*SideZ*Delta;
1358             break;
1359         case 3:
1360             Delta=SideZ/Bins;
1361             DeltaVolumen=SideX*SideY*Delta;
1362             break;
1363         default:
1364             break;
1365     }
1366 }
1367

```



```

1368 void SelectCoordinate () {
1369
1370     CoordinateSelection ();
1371     //calcula deltas dependiendo la direccion del perfil
1372     ComputeDelta (valor);
1373
1374     //inicializar arreglo
1375     for (int j=0; j<Bins; j++){
1376         rep[j] = 0;
1377         repH1[j] = 0.0;
1378         repH2[j] = 0.0;
1379     }
1380     RestartVal ();
1381 }
1382
1383 void CoordinateSelection () {
1384     if (strcmp (Coordinate, "x") == 0 || strcmp (Coordinate, "X") == 0) { valor=1; }
1385     if (strcmp (Coordinate, "y") == 0 || strcmp (Coordinate, "Y") == 0) { valor=2; }
1386     if (strcmp (Coordinate, "z") == 0 || strcmp (Coordinate, "Z") == 0) { valor=3; }
1387 }
1388
1389 void fileParticlesConfiguration (char* file) {
1390     //lee de un archivo xyz la primer linea y asigna el numero leido a la variable particulas
1391     file_xyz=fopen (file, "r");
1392     fgets (LineRead, 100, file_xyz); sscanf (LineRead, "%d", &Particles);
1393     fclose (file_xyz);
1394     Configuration=LinesFile/(Particles+2);
1395 }
1396
1397 void fileParticlesConfigurationPDB (char* file) {
1398     //lee de un archivo pdb TER y asigna el # atomos
1399     char TerPDB[20];
1400     //Determina cuantos atomos hay
1401     file_pdb=fopen (file, "r");
1402     if (file_pdb != NULL) {
1403         while (strcmp (TerPDB, "TER") != 0) {
1404             fgets (LineRead, 100, file_pdb);
1405             sscanf (LineRead, "%s %d %s", TerPDB, &Particles);
1406         }
1407     }
1408     fclose (file_pdb);
1409     Particles--;
1410     // -2 por REMARK y CRYST1 y, +3 por MODEL, TER y ENDMDL
1411     Configuration=(LinesFile-2)/(Particles+3);
1412 }
1413
1414 int ReadingChange (char* file) {
1415     int AtomsByMolecule=0, AtomsByMolAux=0;
1416     //Determina cuantos atomos hay por molecula
1417     file_pdb=fopen (file, "r");
1418     if (file_pdb != NULL) {
1419         //lineas no necesarias para analisis
1420         fgets (LineRead, 100, file_pdb); //REMARK
1421         fgets (LineRead, 100, file_pdb); //CRYST1
1422         fgets (LineRead, 100, file_pdb); //MODEL
1423         for (int i=0; i<Particles; i++){
1424             fgets (LineRead, 100, file_pdb);
1425             sscanf (LineRead, "%s %d %s %s %s %d %s", &AtomsByMolAux);
1426             if (i==0) {
1427                 AtomsByMolecule = AtomsByMolAux;
1428             }
1429             if (AtomsByMolecule != AtomsByMolAux) {
1430                 AtomsByMol = i;
1431                 OneLine = AtomsByMol*999;
1432                 break;
1433             }

```

```

1434     }
1435 }
1436 if(Particles > OneLine){
1437     cout<<"##### A D V E R T E N C I A #####"<<
endl;
1438     cout<<"Átomos por Molécula: "<<AtomsByMol<<" A1000 sucede en el átomo: "<<
OneLine<<endl;
1439     cout<<"Lee las primeras líneas de la subrutina.cpp"<<endl;
1440     cout<<"##### A D V E R T E N C I A #####"<<
endl;
1441 }
1442 fclose(file_pdb);
1443 return OneLine;
1444 }
1445
1446 void ReadFileDataGraph(){
1447     //lee los datos de la distancia de cada átomo
1448     for(int i=0;i<LinesFile;i++){
1449         fgets(LineRead,100,file_xyz);
1450         sscanf(LineRead,"%d",&atoms[i]);
1451         //printf("%4d \n",atoms[i]);
1452     }
1453 }
1454
1455 void ReadFileValuesVelocities(){
1456     //lineas de datos que no importan para asignar velocidades
1457     fgets(LineRead,100,file_xyz);fgets(LineRead,100,file_xyz);
1458     for(int i=0;i<Particles;i++){
1459         fgets(LineRead,100,file_xyz);
1460         sscanf(LineRead,"%f %f %f",&x[i],&y[i],&z[i]);
1461         //printf("%10.6lf \t %10.6lf \t %10.6lf\n",x[i],y[i],z[i]);
1462     }
1463 }
1464
1465 void ReadFileValues(){
1466     //lineas de datos que no importan para asignar coordenadas
1467     fgets(LineRead,100,file_xyz);fgets(LineRead,100,file_xyz);
1468     for(int i=0;i<Particles;i++){
1469         fgets(LineRead,100,file_xyz);
1470         sscanf(LineRead,"%s %f %f %f",AtomID[i],&x[i],&y[i],&z[i]);
1471         //printf("%-4s \t %10.6lf \t %10.6lf \t %10.6lf\n",AtomID[i],x[i],y[i],
z[i]);
1472     }
1473 }
1474
1475 void ReadFileValuesPDB(){
1476     fgets(LineRead,100,file_pdb); //Linea MODEL
1477     //Ciclo para asignar coordenadas y tipo de átomo
1478     for(int i=0;i<Particles;i++){
1479         fgets(LineRead,100,file_pdb);
1480         if( i < OneLine ){//Los espacios entre A y el número de moléculas desaparecen ,
A1000
1481             sscanf(LineRead,"%s %d %s %s %d %f %f %f %s",AtomID[i],&x[i],&y
[i],&z[i]);
1482             printf("%-4s \t %10.6lf \t %10.6lf \t %10.6lf\n",AtomID[i],x[i],y[i],z[i]);
1483         }
1484         else{
1485             if( i < 9999 ){ //Los espacios entre HETATM; y el número de átomo
desaparecen HETATM10000
1486                 sscanf(LineRead,"%s %d %s %s %s %f %f %f %s",AtomID[i],&x[i
],&y[i],&z[i]);
1487                 printf("%-4s \t %10.6lf \t %10.6lf \t %10.6lf\n",AtomID[i],x[i],y[i],z
[i]);
1488             }
1489             else{

```

```

1490         sscanf(LineRead, "%*s %s %*s %*s %d %d %d %*s", AtomID[i], &x[i], &y[i]
1491         ], &z[i]);
1492         printf("%4s \t %10.6lf \t %10.6lf \t %10.6lf\n", AtomID[i], x[i], y[i], z
1493         [i]);
1494     }
1495     }
1496     fgets(LineRead, 100, file_pdb); //Linea TER
1497     fgets(LineRead, 100, file_pdb); //Linea ENDMDL
1498 }
1499 void TranslatefullBox(){
1500     //Traslada la caja completa como la segunda caja en tres replicas
1501     printf("%d \n\n", Particles);
1502     for(int i=0; i<Particles; i++){
1503         if(i%3==1){
1504             printf("H1 \t %10.6lf \t %10.6lf \t %10.6lf\n", x[i-1], y[i-1]+0.5*SideY, z[i-
1505             1]);
1506             printf("%4s \t %10.6lf \t %10.6lf \t %10.6lf\n", AtomID[i], x[i], y[i]+0.5*
1507             SideY, z[i]);
1508             printf("H2 \t %10.6lf \t %10.6lf \t %10.6lf\n", x[i+1], y[i+1]+0.5*SideY, z[i
1509             +1]);
1510         }
1511     }
1512 }
1513 void TranslateBox(){
1514     /*longitudes de la caja en y para L1,L2,L3,L4,L5
1515     * considerando dos espacios cerca del centro con 10 angstroms de ancho*/
1516     float l[6]={73.896, 83.896, 231.688, 241.688, 295.584, 315.584}, inc=10;
1517     printf("%d \n\n", Particles);
1518     for(int i=0; i<Particles; i++){
1519         //If para el oxigeno y recomodar los hidrogenos con dos vacios en la caja
1520         if(i%3==1){
1521             //Los extremos de la caja
1522             if(y[i]<=l[0] || y[i]>=l[3]){
1523                 printf("%4s \t %10.6lf \t %10.6lf \t %10.6lf\n", AtomID[i-1], x[i-1], y[i
1524                 -1], z[i-1]);
1525                 printf("%4s \t %10.6lf \t %10.6lf \t %10.6lf\n", AtomID[i], x[i], y[i], z[
1526                 i]);
1527                 printf("%4s \t %10.6lf \t %10.6lf \t %10.6lf\n", AtomID[i+1], x[i+1], y[i
1528                 +1], z[i+1]);
1529             }
1530             else{
1531                 //El centro de la caja, primer vacio l1 y l2 ocupo y -l1 + ly
1532                 if(y[i]>=l[0] && y[i]<=l[1]){
1533                     printf("%4s \t %10.6lf \t %10.6lf \t %10.6lf\n", AtomID[i-1], x[i-
1534                     1], y[i-1]-l[0]+l[4], z[i-1]);
1535                     printf("%4s \t %10.6lf \t %10.6lf \t %10.6lf\n", AtomID[i], x[i], y[
1536                     i]-l[0]+l[4], z[i]);
1537                     printf("%4s \t %10.6lf \t %10.6lf \t %10.6lf\n", AtomID[i+1], x[i
1538                     +1], y[i+1]-l[0]+l[4], z[i+1]);
1539                 }
1540                 else{
1541                     if(y[i]>=l[1] && y[i]<=l[2]){
1542                         printf("%4s \t %10.6lf \t %10.6lf \t %10.6lf\n", AtomID[i-1],
1543                         x[i-1], y[i-1], z[i-1]);
1544                         printf("%4s \t %10.6lf \t %10.6lf \t %10.6lf\n", AtomID[i], x[
1545                         i], y[i], z[i]);
1546                         printf("%4s \t %10.6lf \t %10.6lf \t %10.6lf\n", AtomID[i+1],
1547                         x[i+1], y[i+1], z[i+1]);
1548                     }
1549                     else{
1550                         if(y[i]>=l[2] && y[i]<=l[3]){

```

```

1541         printf("%4s \t %10.6lf \t %10.6lf \t %10.6lf\n", AtomID[
1542         i-1], x[i-1], y[i-1]-1[2]+1[4]+inc, z[i-1]);
1543         printf("%4s \t %10.6lf \t %10.6lf \t %10.6lf\n", AtomID[
1544         i], x[i], y[i]-1[2]+1[4]+inc, z[i]);
1545         printf("%4s \t %10.6lf \t %10.6lf \t %10.6lf\n", AtomID[
1546         i+1], x[i+1], y[i+1]-1[2]+1[4]+inc, z[i+1]);
1547     }
1548     else{
1549         printf("%4s \t %10.6lf \t %10.6lf \t %10.6lf\n", AtomID[
1550         i-1], x[i-1], y[i-1], z[i-1]);
1551         printf("%4s \t %10.6lf \t %10.6lf \t %10.6lf\n", AtomID[
1552         i], x[i], y[i], z[i]);
1553         printf("%4s \t %10.6lf \t %10.6lf \t %10.6lf\n", AtomID[
1554         i+1], x[i+1], y[i+1], z[i+1]);
1555     }
1556 }
1557 }
1558 }
1559 void PrintTip4pToTip3p(){
1560     //Imprime la trayectoria sin la particula extra "M"
1561     printf("%d \n\n", Particles*3/4);
1562     for(int i=0; i<Particles; i++){
1563         if(strcmp(AtomID[i], "M")!=0){
1564             printf("%4s \t %10.6lf \t %10.6lf \t %10.6lf\n", AtomID[i], x[i], y[i], z[i]);
1565         }
1566     }
1567 }
1568
1569 int LongitudArchivo(char* dir){
1570     FILE *f;
1571     //obtiene la cantidad de lineas del archivo
1572     int l=0;
1573     char linea[100];
1574     f=fopen(dir, "r");
1575     if(f!=NULL){
1576         while(!feof(f)){
1577             fgets(linea, 100, f);
1578             l++;
1579         }
1580         fclose(f);
1581     }
1582     return l-1;
1583 }

```

7.10 Configuración de agua estilo emparedado

Configuración disponible en:

<https://www.dropbox.com/sh/wxudc7a7prtns1v/AADGLEecMd7zPfiLszVdJB0ka?dl=0>

7.11 Configuración equilibrada de agua durante 100 ns

Configuración disponible en:

<https://www.dropbox.com/sh/wxudc7a7prtns1v/AADGLEecMd7zPfiLszVdJB0ka?dl=0>

7.12 Configuración equilibrada de agua más superficie hidrofóbica durante 1000 ns

Configuración disponible en:

<https://www.dropbox.com/sh/wxudc7a7prtns1v/AADGLEecMd7zPfiLszVdJB0ka?dl=0>

7.13 Configuración equilibrada de agua más superficie hidrofílica durante 1000 ns

Configuración disponible en:

<https://www.dropbox.com/sh/wxudc7a7prtns1v/AADGLEecMd7zPfiLszVdJB0ka?dl=0>

Las configuraciones de las superficies cargadas también están en esta carpeta.

7.14 Campo de fuerzas del modelo TIP4P-FB (xml)

```
1 <ForceField>
2   <Info>
3     <DateGenerated>2014-05-28</DateGenerated>
4     <Reference>Lee-Ping Wang, Todd J. Martinez and Vijay S. Pande. Building force fields –
5       an automatic, systematic and reproducible approach. Journal of Physical Chemistry
6       Letters, 2014, 5, pp 1885–1891. DOI:10.1021/jz500737m</Reference>
7   </Info>
8   <AtomTypes>
9     <Type name="tip4p-fb-O" class="OW" element="O" mass="15.99943" />
10    <Type name="tip4p-fb-H" class="HW" element="H" mass="1.007947" />
11    <Type name="tip4p-fb-M" class="MW" mass="0" />
12  </AtomTypes>
13  <Residues>
14    <Residue name="HOH">
15      <Atom name="O" type="tip4p-fb-O" />
16      <Atom name="H1" type="tip4p-fb-H" />
17      <Atom name="H2" type="tip4p-fb-H" />
18      <Atom name="M" type="tip4p-fb-M" />
19      <VirtualSite type="average3" index="3" atom1="0" atom2="1" atom3="2" weight1="8.
20        203146574531e-01" weight2="8.984267127345e-02" weight3="8.984267127345e-02" />
21      <Bond from="0" to="1" />
22      <Bond from="0" to="2" />
23    </Residue>
24  </Residues>
25  <HarmonicBondForce>
26    <Bond class1="OW" class2="HW" length="0.09572" k="462750.4" />
27  </HarmonicBondForce>
28  <HarmonicAngleForce>
29    <Angle class1="HW" class2="OW" class3="HW" angle="1.82421813418" k="836.8" />
30  </HarmonicAngleForce>
31  <NonbondedForce coulomb14scale="0.833333" lj14scale="0.5">
32    <Atom type="tip4p-fb-O" charge="0" sigma="3.165552430462e-01" epsilon="7.492790213533e-
33    01" />
34    <Atom type="tip4p-fb-H" charge="5.258681106763e-01" sigma="1" epsilon="0" />
35    <Atom type="tip4p-fb-M" charge="-1.0517362213526e+00" sigma="1" epsilon="0" />
36  </NonbondedForce>
37 </ForceField>
```

7.15 Campo de fuerzas del modelo AMOEBA (xml)

```
1 <ForceField>
2   <Info>
3     <Source>amoebapro13.prm</Source>
4     <DateGenerated>2015-02-19</DateGenerated>
5   </Info>
```

```

6 <AtomTypes>
7 <Type name="247" class="43" element="O" mass="15.999"/>
8 <Type name="248" class="44" element="H" mass="1.008"/>
9 </AtomTypes>
10 <Residues>
11 <Residue name="HOH">
12 <Atom name="H1" type="248" />
13 <Atom name="H2" type="248" />
14 <Atom name="O" type="247" />
15 <Bond from="0" to="2" />
16 <Bond from="1" to="2" />
17 </Residue>
18 </Residues>
19 <AmoebaBondForce bond-cubic="-25.5" bond-quartic="379.3125">
20 <Bond class1="43" class2="44" length="0.09572" k="232986.04"/>
21 </AmoebaBondForce>
22 <AmoebaAngleForce angle-cubic="-0.014" angle-quartic="5.6e-05" angle-pentic="-7e-07"
23 angle-sextic="2.2e-08">
24 <Angle class1="44" class2="43" class3="44" k="0.0620690891499" angle1="108.50" />
25 </AmoebaAngleForce>
26 <AmoebaVdwForce type="BUFFERED-14-7" radiusrule="CUBIC-MEAN" radiustype="R-MIN"
27 radiussize="DIAMETER" epsilonrule="HHG" vdw-13-scale="0.0" vdw-14-scale="1.0" vdw-15-
28 scale="1.0" >
29 <Vdw class="43" sigma="0.3405" epsilon="0.46024" reduction="1.0" />
30 <Vdw class="44" sigma="0.2655" epsilon="0.056484" reduction="0.910" />
31 </AmoebaVdwForce>
32 <AmoebaMultipoleForce direct11Scale="0.0" direct12Scale="1.0" direct13Scale="1.0"
33 direct14Scale="1.0" mpole12Scale="0.0" mpole13Scale="0.0" mpole14Scale="0.4"
34 mpole15Scale="0.8" mutual11Scale="1.0" mutual12Scale="1.0" mutual13Scale="1.0"
35 mutual14Scale="1.0" polar12Scale="0.0" polar13Scale="0.0" polar14Intra="0.5"
36 polar14Scale="1.0" polar15Scale="1.0" >
37 <Multipole type="247" kz="248" kx="-248" c0="-0.51966" d1="0.0" d2="0.0" d3="0.
38 00755612136146" q11="0.000354030721139" q21="0.0" q22="-0.000390257077096" q31="0.0"
39 q32="0.0" q33="3.62263559571e-05" />
40 <Multipole type="248" kz="247" kx="248" c0="0.25983" d1="-0.00204209484795" d2="0.0" d3
41 ="-0.00307875299958" q11="-3.42848248983e-05" q21="0.0" q22="-0.000100240875193" q31=
42 "-1.89485963908e-06" q32="0.0" q33="0.000134525700091" />
43 <Polarize type="247" polarizability="0.000837" thole="0.3900" pgrp1="248" />
44 <Polarize type="248" polarizability="0.000496" thole="0.3900" pgrp1="247" />
45 </AmoebaMultipoleForce>
46 <AmoebaUreyBradleyForce cubic="0.0" quartic="0.0" >
47 <UreyBradley class1="44" class2="43" class3="44" k="-3179.84" d="0.15326" />
48 </AmoebaUreyBradleyForce>
49 </ForceField>

```

7.16 Campo de fuerzas del modelo iAMOEBA (xml)

```

1 <ForceField>
2 <AtomTypes>
3 <Type name="380" class="73" element="O" mass="15.999"/>
4 <Type name="381" class="74" element="H" mass="1.008"/>
5 </AtomTypes>
6 <Residues>
7 <Residue name="HOH">
8 <Atom name="H1" type="381"/>
9 <Atom name="H2" type="381"/>
10 <Atom name="O" type="380"/>
11 <Bond from="0" to="2"/>
12 <Bond from="1" to="2"/>
13 </Residue>
14 </Residues>
15 <AmoebaBondForce bond-cubic="-25.5" bond-quartic="379.3125">
16 <Bond class1="73" class2="74" length="9.584047e-02" k="2.3331232e+05"/>
17 </AmoebaBondForce>

```

```

18 <AmoebaAngleForce angle-cubic="-0.014" angle-quartic="5.6e-05" angle-pentic="-7e-07"
    angle-sextic="2.2e-08">
19 <Angle class1="74" class2="73" class3="74" k="6.359379296918e-02" angle1="1.064826e+02
    "/>
20 </AmoebaAngleForce>
21 <AmoebaOutOfPlaneBendForce type="ALLINGER" opbend-cubic="-0.014" opbend-quartic="5.6e-
    05" opbend-pentic="-7e-07" opbend-sextic="2.2e-08">
22 <!-- LPW: Mark's force field parsing code requires AmoebaOutOfPlaneBendForce in order
    to read AmoebaAngleForce, even if the clause is empty -->
23 </AmoebaOutOfPlaneBendForce>
24 <AmoebaVdwForce type="BUFFERED-14-7" radiusrule="CUBIC-MEAN" radiustype="R-MIN"
    radiussize="DIAMETER" epsilonrule="HHG" vdw-13-scale="0.0" vdw-14-scale="1.0" vdw-15-
    scale="1.0">
25 <Vdw class="73" sigma="3.645297e-01" epsilon="8.2348e-01" reduction="1.0"/>
26 <Vdw class="74" sigma="0.0" epsilon="0.0" reduction="1.0"/>
27 </AmoebaVdwForce>
28 <AmoebaMultipoleForce direct11Scale="0.0" direct12Scale="1.0" direct13Scale="1.0"
    direct14Scale="1.0" mpole12Scale="0.0" mpole13Scale="0.0" mpole14Scale="0.4"
    mpole15Scale="0.8" mutual11Scale="1.0" mutual12Scale="1.0" mutual13Scale="1.0"
    mutual14Scale="1.0" polar12Scale="0.0" polar13Scale="0.0" polar14Intra="0.5"
    polar14Scale="1.0" polar15Scale="1.0">
29 <Multipole type="380" kz="-381" kx="-381" c0="-5.94024e-01" d1="0.0" d2="0.0" d3="4.
    682021361460e-03" q11="2.111247211390e-04" q21="0.0" q22="-3.009710770960e-04" q31="0.0"
    q32="0.0" q33="8.984635595700e-05"/>
30 <Multipole type="381" kz="380" kx="381" c0="2.97012e-01" d1="-4.969244847950e-03" d2=
    "0.0" d3="-6.646702999580e-03" q11="1.750551751017e-04" q21="0.0" q22="2.029112480700
    e-05" q31="-3.392685963908e-05" q32="0.0" q33="-1.953462999087e-04"/>
31 <Polarize type="380" polarizability="8.063631227791e-04" thole="2.36164e-01" pgrp1=
    "381"/>
32 <Polarize type="381" polarizability="5.048434386104e-04" thole="2.36164e-01" pgrp1=
    "380"/>
33 </AmoebaMultipoleForce>
34 <AmoebaUreyBradleyForce cubic="0.0" quartic="0.0">
35 <UreyBradley class1="74" class2="73" class3="74" k="-4.31294e+03" d="1.535676676685e-
    01"/>
36 </AmoebaUreyBradleyForce>
37 </ForceField>

```

7.17 Script de Python para crear puntos de continuación de DM (xml)

```

1 #!/usr/bin/env python
2 # -*- coding: utf-8 -*-
3 """
4 Este script crea un archivo.xml con las posiciones y velocidades de un sistema para
    simularlo en OpenMM.
5 Los datos de las posiciones y velocidades se pasan por consola, primero las posiciones y
    luego las velocidades
6 la forma de ejecutar el script es la siguiente:
7 +++++ python script.py posiciones.xyz velocidades.xyz
8 Los datos a modificar son:
9 +++++ NombreArchivoSalida -> si quieres nombrar el archivo de salida de otra forma
10 +++++ datos -> si pasas mas o menos datos (cero para script.py y aumenta por
    argumento pasado)
11 +++++ PBC -> este arreglo tiene los valores de las dimensiones de la celda de simulaci
    ón
12 +++++ NPT -> es una variable logica, cambiar a True si el ensamble es NPT y modificar
    la linea 88
13 """
14 import sys
15
16 """ ##### Datos a modificar ##### """
17
18 datos=3
19 NombreArchivoSalida ="Input.xml"

```

```

20 PBC=[19.705,295.584,19.705]
21 NPT = False
22
23 """ ##### """
24 print "#####"
25 print ""
26 """El siguiente if es de advertencia por si no se pasó el numero de parámetros necesarios
   """""
27 if len(sys.argv) < datos:
28     print "\t \t Error al leer datos por consola"
29     print "\t \t Las instrucciones para ejecutar son: python script.py posiciones.xyz
   velocidades.xyz"
30     if len(sys.argv) == 1:
31         print "\t \r Falta archivo de posiciones y velocidades"
32         print ""
33         print "#####"
34     if len(sys.argv) == 2:
35         print "\t \r Falta archivo de posiciones o velocidades"
36         print ""
37         print "#####"
38     sys.exit(0)
39
40
41 Archivo1 = open(sys.argv[1], "r")
42 Archivo2 = open(sys.argv[2], "r")
43 Archivo3 = open(NombreArchivoSalida, "w")
44 AtomoID=[]
45 Coordinadas=[]
46
47
48 def LeeArchivo(Archivo, AtomoID, Coordinadas):
49     i = 0
50     Atomo = 0
51     x=[]
52     y=[]
53     z=[]
54     aid=[]
55     for linea in Archivo:
56         i=i+1
57         if i==1:
58             NumeroAtomos=int(linea)
59             for k in range(NumeroAtomos):
60                 AtomoID.append("")
61                 Coordinadas.append([])
62                 for l in range(3):
63                     Coordinadas[k].append(0.0)
64             if i>2:
65                 lineaAux = linea.split()
66                 aid=lineaAux[0:1]
67                 AtomoID[Atomo]=aid[0]
68                 x=map(float, lineaAux[1:2])
69                 y=map(float, lineaAux[2:3])
70                 z=map(float, lineaAux[3:])
71                 Coordinadas[Atomo][0]=x[0]
72                 Coordinadas[Atomo][1]=y[0]
73                 Coordinadas[Atomo][2]=z[0]
74                 Atomo = Atomo +1
75     return NumeroAtomos
76
77
78 NumeroAtomos=LeeArchivo(Archivo1, AtomoID, Coordinadas)
79 Archivo3.write('<?xml version="1.0" ?>\n')
80 Archivo3.write('<State openmmVersion="7.1.1" time="0" type="State" version="1">\n')
81 Archivo3.write('\t<PeriodicBoxVectors>\n')
82 Archivo3.write('\t\t<A x="{0:3.6f}" y="0" z="0"/>\n'.format(PBC[0]/10))
83 Archivo3.write('\t\t<B x="0" y="{0:3.16f}" z="0"/>\n'.format(PBC[1]/10))

```



```

84 Archivo3.write('\t\t<C x="0" y="0" z="{0:3.6f}"/>\n'.format(PBC[2]/10))
85 Archivo3.write('\t\t<PeriodicBoxVectors>\n')
86
87 if NPT:
88     Archivo3.write('\t\t<Parameters MonteCarloPressure="1.01325" MonteCarloTemperature="298
89     .15"/>\n')
90     print "Escogiste ensamble NPT, la presión es de 1.101325 y la Temperatura del
91     barostato es 298.15 k"
92     print "Si la P y T del barostato son diferente, modifica en la linea 88"
93     ###Si el ensamble es NPT
94     else :
95         Archivo3.write('\t\t<Parameters/>\n')
96         print "El XML es para un ensamble NVE o NVT, si quieres un NPT modifica con True la
97         linea 20"
98 #Para ensamble NVE y NVT
99
100 Archivo3.write('\t\t<Positions>\n')
101 for i in range(NumeroAtomos):
102     Archivo3.write ('\t\t<Position x="{0:3.18f}" y="{1:3.18f}" z="{2:3.18f}"/>\n'.format(
103     Coordenadas[i][0]/10, Coordenadas[i][1]/10, Coordenadas[i][2]/10))
104 Archivo3.write ('\t\t</Positions>\n')
105 NumeroAtomos=LeeArchivo(Archivo2, AtomoID, Coordenadas)
106 Archivo3.write ('\t\t<Velocities>\n')
107 for i in range(NumeroAtomos):
108     Archivo3.write ('\t\t<Velocity x="{0:3.18f}" y="{1:3.18f}" z="{2:3.18f}"/>\n'.format(
109     Coordenadas[i][0]*100, Coordenadas[i][1]*100, Coordenadas[i][2]*100))
110 Archivo3.write ('\t\t</Velocities>\n')
111 Archivo3.write('</State>\n')
112
113 print "El archivo.xml es:", NombreArchivoSalida
114 print ""
115 print "#####"

```

7.18 Script de Python para obtener el momento multipolar de los modelos iAMOEBA/AMOEBA en OpenMM

```

1 """
2 autor: Anthoni Alcaraz Torres
3 Maestria en Ciencias - UAEM
4 Funciones para imprimir los valores de los momentos multipolares
5 calculados en openMM para: iAMOEBA y AMOEBA
6 """
7
8 def imprimeMultipolos(filename, arrangesize, currentStep, timeStep):
9     filename.write("Time:  %f ps  \t Step:  %f\n\n"%(currentStep*timeStep, currentStep))
10     for i in arrangesize:
11         for j in i:
12             filename.write( "{:+16.12f}\t".format(j) ,)
13             filename.write("\n ")
14
15
16 #Momento multipolar del sistema
17 def imprimeMomentoMultipolar(filename, arrangesize, currentStep, timeStep):
18     filename.write("Time:  %f ps  \t Step:  %f\n\n"%(currentStep*timeStep, currentStep))
19     contador=1
20     for i in arrangesize:
21         if contador == 1:
22             filename.write( "{:+16.12f}\t".format(i) ,)
23             filename.write("\n ")
24             contador = 2
25         else :
26             filename.write( "{:+16.12f}\t".format(i) ,)

```

```

27         if contador == 4 or contador == 7 or contador == 10 or contador ==
13:
28             filename.write("\n ")
29             contador = contador + 1

```

7.19 Script de Python para obtener fuerzas y velocidades de OpenMM

```

1 """
2 autor: Anthoni Alcaraz Torres
3 Maestria en Ciencias - UAEM
4 clases para imprimir fuerzas y velocidades de la dinamica en openMM
5 """
6 from simtk.openmm.app import *
7 from simtk.openmm import *
8 from simtk.unit import *
9
10
11 class ForceReporter(object):
12     def __init__(self, file, reportInterval):
13         self._out = open(file, 'w')
14         self._reportInterval = reportInterval
15
16     def __del__(self):
17         self._out.close()
18
19     def describeNextReport(self, simulation):
20         steps = self._reportInterval - simulation.currentStep%self._reportInterval
21         return (steps, False, False, True, False)
22
23     def report(self, simulation, state):
24         forces = state.getForces().value_in_unit(kilojoules/mole/nanometer)
25         print >>self._out, "Time:", state.getTime(), "Step:", simulation.currentStep
26         print >>self._out, ""
27         for f in forces:
28             print >>self._out, "{:+20.8f}\t{:+20.8f}\t{:+20.8f}".format(f[0], f[1], f[2])
29
30 class PosReporter(object):
31     def __init__(self, file, reportInterval):
32         self._out = open(file, 'w')
33         self._reportInterval = reportInterval
34
35     def __del__(self):
36         self._out.close()
37
38     def describeNextReport(self, simulation):
39         steps = self._reportInterval - simulation.currentStep%self._reportInterval
40         return (steps, False, True, False, False)
41
42     def report(self, simulation, state):
43         pos = state.getVelocities().value_in_unit(nanometers/picoseconds)
44         print >>self._out, "Time:", state.getTime(), "Step:", simulation.currentStep
45         print >>self._out, ""
46         for v in pos:
47             print >>self._out, "{:+20.8f}\t{:+20.8f}\t{:+20.8f}".format(v[0], v[1], v[2])
48
49 class xyzReporter(object):
50     def __init__(self, file, reportInterval, particles):
51         self._out = open(file, 'w')
52         self._reportInterval = reportInterval
53
54     def __del__(self):
55         self._out.close()
56
57     def describeNextReport(self, simulation):

```

```

58     steps = self._reportInterval - simulation.currentStep % self._reportInterval
59     return (steps, True, False, False, False)
60
61     def report(self, simulation, state):
62         forces = state.getPositions().value_in_unit(angstroms)
63         print >>self._out, "Time:", state.getTime(), "Step:", simulation.currentStep
64     print >>self._out, ""
65         for f in forces:
66             print >>self._out, "{:+20.8f}\t{:+20.8f}\t{:+20.8f}".format(f[0], f[1], f[2])

```

7.20 Script de Python para calcular regresión lineal de una trayectoria

```

1 import math
2 import sys
3 import os
4 import string
5
6 """
7 Autor: Anthoni Alcaraz Torres
8 Maestria en Ciencias - UAEM
9
10 Este Script ejecuta el calculo del momento dipolar del sistema de una subrutina en *.cpp
11 funciona para tip4pfb, porque para iamoeba y amoeba se obtiene el momento dipolar del
12 sistema de openMM.
13
14 Recibe como parametros:
15 1. trayectoria completa en formato xyz
16 2. El numero de puntos de la trayectoria para crear un bloque, bloque n = 18, 20, 10, etc
17 """
18 #Modelo de agua para analisis de Momento Dipolar del Sistema
19 modelo="tip4pfb"
20 #Lee los puntos y archivo de consola
21 trayectoria = sys.argv[1]
22 Archivo1 = open(sys.argv[1], "r")
23 PuntosDivision = int(sys.argv[2])
24 #Crea la carpeta con el Analisis
25 os.system("mkdir Segmento{0}Puntos".format(PuntosDivision))
26 PuntosConfiguracion = 15362
27 #El numero corresponde a el numero de lineas por configuracion en el xyz
28 lineas = PuntosConfiguracion*PuntosDivision
29 #Compilado de *.cpp para calcular momento dipolar del sistema
30 ejecuta="~/Dropbox/CODIGOMAESTRIA/COMPILADOS/ConDie116"
31 #Divide la trayectoria en n archivos
32 os.system("split -l {0} {1} -d tr".format(lineas, trayectoria))
33 #Funcion que cuenta las lineas del archivo que contiene la trayectoria
34 def CuentaDatos(Archivo):
35     i = 0
36     for linea in Archivo:
37         i=i+1
38
39     return i
40
41 #Cuenta puntos de trayectoria
42 Np = CuentaDatos(Archivo1)
43 Archivo1.close()
44 PasosTotales = Np/PuntosConfiguracion
45 PasosTotales = 25000
46 puntos = int(math.ceil(PasosTotales/float(sys.argv[2])))
47
48 """
49 Al dividir la trayectoria asigna tr00 hasta tr89, pero al cambiar a 90 agrega dos ceros y
50 el archivo se convierte en tr9000, lo mismo sucede al pasar de tr9889, lo escribe como
51 tr900000. Por esta razon creo los siguientes tres ciclos for para realizar el calculo.
52 """

```

```

53 #primer ciclo para los archivos obtenidos con split 0-89
54 for j in range(90):
55     a=("mv tr{0:02d} trayectoria {0:02d}.xyz".format(j))
56     os.system("{0}".format(a))
57     b("{0} trayectoria {1:02d}.xyz {2} y 59 0 > MD{1:02d}.dat".format(ejecuta , j , modelo))
58     os.system("{0}".format(b))
59     os.system("rm trayectoria {0:02d}.xyz".format(j))
60
61
62 #Segundo ciclo para los archivos obtenidos con split 9000-9899
63 if puntos > 90:
64     contador=9000
65     for i in range(900):
66         a = ("mv tr{0:02d} trayectoria {0:02d}.xyz".format(contador))
67         os.system("{0}".format(a))
68         b = (" {0} trayectoria {1:02d}.xyz {2} y 59 0 > MD{1:02d}.dat".format(ejecuta , contador ,
69         modelo))
70         os.system("{0}".format(b))
71         os.system("rm trayectoria {0:02d}.xyz".format(contador))
72         contador = contador +1
73
74 #tercer ciclo para los archivos obtenidos con split 990000-994009
75 if puntos > 990:
76     contado = 990000
77     for i in range(puntos-990):
78         a = ("mv tr{0:02d} trayectoria {0:02d}.xyz".format(contado))
79         os.system("{0}".format(a))
80         b = (" {0} trayectoria {1:02d}.xyz {2} y 59 0 > MD{1:02d}.dat".format(ejecuta ,
81         contado , modelo))
82         os.system("{0}".format(b))
83         os.system("rm trayectoria {0:02d}.xyz".format(contado))
84         contado = contado +1
85
86     else :
87         nada=0
88
89 else :
90     nada=0
91
92 #Calcula epsilon y DevStd por bloques#
93 os.system("python ~/Dropbox/ScriptsPython/AnalisisDielectrica/MoDiptr.py {0} > conteo.txt
94     ".format(puntos))
95 #Crea un archivo con los numeros de los n bloques
96 NombreArchivo = "num{0}.txt".format(PuntosDivision)
97 ArchivoNumero = open(NombreArchivo, "w")
98
99 for i in range(puntos):
100     ArchivoNumero.write("{0}\n".format((i+1)*PuntosDivision))
101
102 ArchivoNumero.close()
103 #Junta los archivos de epsilon y DevStd con su numero de bloque
104 os.system("paste num{0}.txt conteo.txt > epsilon{1}puntos.txt".format(PuntosDivision ,
105     puntos))
106 os.system("mv *.dat conteo.txt num{0}.txt epsilon{1}puntos.txt Segmento{0}Puntos/".format
107     (PuntosDivision , puntos))
108 """
109 AQUÍ DEBE DIVIDIRSE ESTE SCRIPT Y LLAMARLO COMO EN LA LINEA 91 Y GUARDARLO EN ESA RUTA
110 """
111 # coding=utf-8
112 import os
113 import sys
114 import string
115
116 """
117 Autor: Anthoni Alcaraz Torres
118 Maestria en Ciencias - UAEM
119 """

```

```

114
115 Recibe por consola el numero de bloques: puntos entre tamaño del bloque
116 """
117 Instruccion = "python ~/Dropbox/ScriptsPython/EpsDevStd.py"
118 puntos = int(sys.argv[1])
119
120 for i in range(90):
121     os.system('{0} MD{1:02d}.dat'.format(Instruccion , i))
122
123 if puntos > 90:
124     contador=9000
125     for i in range(puntos-90):
126         os.system('{0} MD{1:02d}.dat'.format(Instruccion , contador))
127         contador=contador+1
128
129     if puntos > 990:
130         contado = 990000
131         for i in range(puntos-990):
132             os.system('{0} MD{1:02d}.dat'.format(Instruccion , contado))
133             contado = contado+1
134
135     else:
136         nada=0
137
138 else:
139     nada=0

```

7.21 Script de Python para calcular regresión lineal de un conjunto de datos

```

1 #!/usr/bin/env python
2 # -*- coding: utf-8 -*-
3 """
4 autor: Anthoni Alcaraz Torres
5 UAEM – Maestria en Ciencias MCCC
6 las ecuaciones fueron obtenidas de https://www.uv.es/zuniga/08\_Ajuste\_de\_una\_recta\_por\_minimos\_cuadrados.pdf
7 Este programa calcula la regresion lineal de un conjunto de datos con formato x y
8 ** Para correr el script necesitas dar el nombre del archivo a analizar
9     python script.py input.txt salida.dat
10 Devuelve la pendiente, la interseccion, la r, la incertidumbre de la pendiente y la
11     incertidumbre de la interseccion
12 Las dos lineas iniciales son para poder imprimir acentos y la libreria matematicas para
13     calcular sqrt """
14
15 import math
16 import sys
17 datos=3
18 if len(sys.argv) < datos:
19     print "\t \t Error al leer datos por consola"
20     print "\t \t Las instrucciones para ejecutar son: python script.py datos"
21     if len(sys.argv) == 1:
22         print "\t \r Falta archivo de Datos"
23     sys.exit(0)
24
25 Archivo1 = open(sys.argv[1], "r")
26 Archivo2 = open(sys.argv[1], "r")
27 Archivo3 = open(sys.argv[2], "w")
28 x=[]; y=[]; xmedia=ymedia=r=0
29 Incertidumbreb=Incertidumbrea=0
30 DevStd=chi2=sumaX=sumaY=sumaXY=sumaX2=sumaY2=sumaN=sumaD=0
31
32 def CuentaDatos(Archivo):
33     i = 0
34     for linea in Archivo:

```

```

33     i=i+1
34     NumeroAtomos=i
35
36     return NumeroAtomos
37
38 def AsignaValores( Archivo , val , x , y ):
39     x=[i for i in range( val )]; xa=[]
40     y=[i for i in range( val )]; ya=[]
41     xy=[ val ]
42     i=0
43     while i<val:
44         for linea in Archivo:
45             lineaAux = linea . split ()
46             xa=map( float , lineaAux [0:1] )
47             ya=map( float , lineaAux [1:2] )
48             x [ i ]=xa [0]
49             y [ i ]=ya [0]
50             i=i+1
51
52
53     return x , y
54
55 #Referencie el mismo archivo a dos variables , uno es para contar y otro para asignar
56 n=CuentaDatos( Archivo1 )
57 x , y=AsignaValores( Archivo2 , n , x , y )
58
59 #Calculo de las sumas
60 for i in range( n ):
61     sumaX = sumaX + x [ i ]
62     sumaY = sumaY + y [ i ]
63     sumaXY = sumaXY + x [ i ]*y [ i ]
64     sumaX2 = sumaX2 + x [ i ]*x [ i ]
65     sumaY2 = sumaY2 + y [ i ]*y [ i ]
66
67
68 xmedia = sumaX/n
69 ymedia = sumaY/n
70
71 #Esta formula tambien es valida para calcular el valor de b
72 for i in range( n ):
73     # sumaN = sumaN + ( x [ i ]-xmedia )*( y [ i ]-ymedia )
74     # sumaD = sumaD + ( x [ i ]-xmedia )**2
75     DevStd = DevStd + ( y [ i ]-ymedia )**2
76 #b = sumaN/sumaD
77
78 #Calculo de la pendiente(b) y la interseccion (a)"""
79 b = ( sumaXY-( sumaX*sumaY )/n )/( sumaX2-( sumaX**2 )/n )
80 a = sumaY/n -b*sumaX/n
81
82 #Calculo de la incertidumbre de los valores a y b
83 for i in range( n ):
84     chi2 = chi2 + ( a + b*x [ i ]-y [ i ] )**2
85
86 Incertidumbreb = math . sqrt ( ( n*chi2 ) / ( ( n*sumaX2-sumaX**2 )*( n-2 ) ) )
87 Incertidumbrea = math . sqrt ( ( sumaX2*chi2 ) / ( ( n*sumaX2-sumaX**2 )*( n-2 ) ) )
88 r = ( n*sumaXY-sumaX*sumaY ) / ( ( math . sqrt ( n*sumaX2-sumaX**2 ) )*( math . sqrt ( n*sumaY2-sumaY**2 ) ) )
89
90 Archivo3 . write ( "#####\n\n" )
91 Archivo3 . write ( "El archivo de Datos fue {0}\n\n" . format ( sys . argv [1] ) )
92 Archivo3 . write ( "\t Intersección ( b ) \t Pendiente ( m ) \n" )
93 Archivo3 . write ( "y = {0:5.16f} {1:+5.16f}*x\n" . format ( a , b ) )
94 Archivo3 . write ( "\t \t *** Incertidumbres ***\n" )
95 Archivo3 . write ( "E(m): {0:3.8f} E(b): {1:3.8f}\n" . format ( Incertidumbreb , Incertidumbrea ) )
96 Archivo3 . write ( "\t *** Coeficiente de correlación lineal ***\n" )
97 Archivo3 . write ( " r : {0:3.8f}\n" . format ( r ) )
98 Archivo3 . write ( "\t *** Promedio \t Desviación Estándar ****\n" )

```

```

98 Archivo3.write( "X: {0:3.8f} \t \t DevStd: {1:3.8f}\n".format(ymedia,math.sqrt(DevStd/n))
99 )
99 Archivo3.write( "\n#####\n")
100 print("{0:+4.8f} {1:+4.8e} {2:+4.8e} {3:+4.8e} {4:+4.8f} {5:+4.8f} {6:+4.8f}".
format(a,b,Incertidumbrea,Incertidumbreb,r,ymedia,math.sqrt(DevStd/n))

```

7.22 Script de Python para calcular la constante dieléctrica y el factor de Kirwood

```

1 #!/usr/bin/env python
2 # -*- coding: utf-8 -*-
3 """
4 autor: Anthoni Alcaraz Torres
5 UAEM – Maestria en Ciencias MCCC
6 Este programa calcula la constante dielectrica relativa tomando n valores del momento
7 dipolar del sistema
8 que se analizo previamente, el formato es x y donde y es el momento multipolar del
9 sistema
10 ** Para correr el script necesitas dar el nombre del archivo a analizar
11 python script.py input.txt
12 Unicamente imprime el valor de la constante dielectrica para ese conjunto de datos, esto
13 es, tomar n puntos de la
14 trayectoria (por ejemplo, 20 ps, imprimiendo cada ps entonces son 20 datos), calcular su
15 momento dipolar del
16 sistema por punto e imprimirlo en un archivo (input.txt), ese archivo se alimenta a este
17 programa y calcula la
18 constante dielectrica para esos puntos.
19 Si se quiere guardar la salida en un archivo de salida, entonces, cambiar la variable
20 datos a 3, quitar el #
21 donde se declara Archivo3 y donde diga printf cambiarlo por Archivo3.write.
22 """
23 import math
24 import sys
25 datos=2
26 if len(sys.argv) < datos:
27     print "\t \t Error al leer datos por consola"
28     print "\t \t Las instrucciones para ejecutar son: python script.py datos"
29     if len(sys.argv) == 1:
30         print "\t \r Falta archivo de Datos"
31     sys.exit(0)
32
33 Archivo1 = open(sys.argv[1], "r")
34 Archivo2 = open(sys.argv[1], "r")
35 #Archivo3 = open(sys.argv[2], "w")
36 #variables para sumar y obtener promedios
37 x=[]; y=[]; xmedia=ymedia=r=x2media=y2media=factor=0
38 Incertidumbreb=Incertidumbrea=0
39 DevStd=chi2=sumaX=sumaY=sumaXY=sumaX2=sumaY2=sumaN=sumaD=0
40
41 #factores para el calculo de la constante dielectrica
42 e0 = 8.8541878176E-12 #Epsilon cero
43 volumen = 19.705*19.705*295.584 # Volumen en angstroms cubicos
44 volumen = volumen*(1E-10)**3 #conversion a metros cubicos
45 Pi = math.pi
46 Temperatura = 298.15 #kelvin
47 KBolt = 1.380648813E-23 #J/K
48
49 factor = 1/(3*volumen*Temperatura*KBolt*e0)
50
51 def CuentaDatos(Archivo):
52     i = 0
53     for linea in Archivo:
54         i=i+1

```

```

49     NumeroAtomos=i
50
51     return NumeroAtomos
52
53 def AsignaValores( Archivo , val ,x ,y):
54     x=[i for i in range( val)];xa=[]
55     y=[i for i in range( val)];ya=[]
56     xy=[ val]
57     i=0
58     while i<val:
59         for linea in Archivo:
60             lineaAux = linea.split()
61             xa=map(float ,lineaAux [0:1])
62             ya=map(float ,lineaAux [1:2])
63             x [i]=xa [0]
64             y [i]=ya [0]
65             i=i+1
66
67     return x ,y
68
69
70 #Referencie el mismo archivo a dos variables , uno es para contar y otro para asignar
71 n=CuentaDatos( Archivo1)
72 x ,y=AsignaValores( Archivo2 ,n ,x ,y)
73
74 #Calculo de las sumas
75 for i in range(n):
76     sumaX = sumaX + x [i]
77     sumaY = sumaY + y [i]
78     sumaXY = sumaXY + x [i]*y [i]
79     sumaX2 = sumaX2 + x [i]*x [i]
80     sumaY2 = sumaY2 + y [i]*y [i]
81
82
83 xmedia = sumaX/n
84 ymedia = sumaY/n
85 x2media = sumaX2/n
86 y2media = sumaY2/n
87
88 #Calculo de la desviacion estandar de los momentos dipolares
89 for i in range(n):
90     DevStd = DevStd + (y [i]-ymedia)**2
91
92 #calculo de la fluctuacion del momento dipolar en Debye
93 eps = y2media
94 #conversion a C2m2
95 eps = eps*(3.34E-30)**2
96 #Multiplicacion por factor y sumar 1
97 eps = 1 + eps*factor
98 print (" {0:+4.8f} \t {1:+4.8f}" .format( eps ,math.sqrt( DevStd/n)))
99 #print (" {:+4.8f} \t {:+4.8f} \t {:+4.8f}" .format( y2media ,ymedia*ymedia , eps))

```

7.23 Subrutina para clasificar los átomos a lo largo del eje Y de la celda de simulación

```

1 #include "librerias.h"
2
3 //la unidad de medida de la caja es en angstroms
4 #define SideX 19.7056
5 #define SideY 295.5846
6 #define SideZ 19.7056
7
8 int main(int argc ,char** argv){

```



```

9
10 //Archivo xyz
11 strcpy(Archivo , argv [1]);
12
13 //Calcula lineas de archivo
14 LinesFile=LongitudArchivo(Archivo);
15
16 //Calcula el numero de configuraciones
17 fileParticlesConfiguration(Archivo);
18
19 //Detiene el programa si pasa limites de arreglos
20 if(Alerts() !=2){return 0;}
21
22 //Coordenada de analisis
23 CoordinateSelection();
24
25 //volumen por celda y volumen de la celda
26 ComputeDelta(valor);
27
28 //Analiza los n puntos de la trayectoria
29 file_xyz=fopen(Archivo , "r");
30
31     for(Replicas=0;Replicas<1;Replicas++){
32         //Asigna coordenadas a los arreglos
33         ReadFileValues();
34         //Por secciones y la primer seccion va de 0 a 5 en y
35         DivideMolecules();
36     }
37
38 fclose(file_xyz);
39
40 return 0;
41
42
43 }

```

7.24 Subrutina para calcular las distancias temporales de los átomos cercanos a la superficie

```

1 #include "librerias.h"
2
3 //la unidad de medida de la caja es en angstroms
4 #define SideX 19.7056
5 #define SideY 295.5846
6 #define SideZ 19.7056
7
8 int main(int argc ,char** argv){
9
10 //Archivo xyz
11 strcpy(Archivo , argv [1]);
12
13 //Calcula lineas de archivo
14 LinesFile=LongitudArchivo(Archivo);
15
16 //Calcula el numero de configuraciones
17 fileParticlesConfiguration(Archivo);
18
19 //Detiene el programa si pasa limites de arreglos
20 if(Alerts() !=2){return 0;}
21
22 //Coordenada de analisis
23 CoordinateSelection();
24

```

```

25 //volumen por celda y volumen de la celda
26 ComputeDelta( valor );
27
28 //Analiza los n puntos de la trayectoria
29 file_xyz=fopen( Archivo , "r" );
30
31     for(Replicas=0;Replicas<Configuration;Replicas++){
32         //Asigna coordenadas a los arreglos
33         ReadFileValues ();
34         Distances ();
35     }
36
37 fclose( file_xyz );
38
39 return 0;
40
41 }

```

7.25 Subrutina para calcular funciones de distribución radial

```

1  /*****
2  * calculate radial distribution function g(r)
3  * of ensemble configurations in "configuration.xyz"
4  * output results in "gr.dat"
5  * Calculate rdf only of 2 atoms and you can give its symbol
6  * Anthoni Alcaraz Torres CIQ, UAEM 2015
7  *****/
8  #include <stdio.h>
9  #include <stdlib.h>
10 #include <math.h>
11 #include <string.h>
12 /**
13  *Datos que se modifican
14  */
15 #define MAXConfig 150000
16 #define MAXEqui 30000
17 #define MAXNumberOfParticles 50000
18 #define MAXNumberOfBins 10000
19 #define pi 3.14159265
20 #define SideY 295.5846
21 #define SideZ 19.7056
22 #define SideX 19.7056 //la unidad de medida de la caja es en angstroms
23
24 #define SQR(x) ((x)*(x))
25 #define CUB(x) ((x)*(x)*(x))
26 //Apuntador a la ruta donde se encuentra el archivo con la trayectoria de la DM con las
27 //coordenas en xyz
28 char dirArchivoDinamica[100];
29 char *dirArchivogrAB="gAB2.dat";
30 int getLength(char*);
31 int main(int argc, char** argv){
32     int NumberOfConfig, NumberOfEqui, NumberOfParticles;
33     int SampleNumber;
34     int snapshot, line;
35     double rho, vol;
36     double dr;
37     double g[MAXNumberOfBins], gAB[MAXNumberOfBins];
38     int NumberOfBins, NA, NB;
39     int i, j, k, l, NumLineas;
40     double dx, dy, dz;
41     double rij;
42     char AtomID[MAXNumberOfParticles][4], AtomA[4], AtomB[4], lineaUsada[100];
43     FILE *fpxyz;
44     FILE *fpoutput;

```

```

44 FILE *fpoutput2;
45 double x[MAXNumberOfParticles], y[MAXNumberOfParticles], z[MAXNumberOfParticles];
46 vol = SideX*SideY*SideZ;
47 strcpy(dirArchivoDinamica, argv[1]);
48 NumberOfEqui = atoi(argv[5]);
49 dr = atof(argv[4]);
50 NA = atoi(argv[6]);
51 NB = atoi(argv[7]);
52 strcpy(AtomA, argv[2]);
53 strcpy(AtomB, argv[3]);
54 NumberOfBins = (int)(15.0/dr);
55 int contadorAtomA[NA+1], contadorAtomB[NB+1], asignaA=1, asignaB=1;
56 SampleNumber = 0;
57 for(i=0; i<NumberOfBins; i++){
58     g[i] = 0;
59     gAB[i] = 0;
60 }
61 SampleNumber = 0;
62 NumLineas=getLength(dirArchivoDinamica);
63 fpxyz = fopen(dirArchivoDinamica, "r");
64 fgets(lineaUsada, 100, fpxyz); sscanf(lineaUsada, "%d", &NumberOfParticles);
65 fclose(fpxyz);
66 rho = NumberOfParticles/vol;
67 NumberOfConfig=NumLineas/(NumberOfParticles+2);
68
69 for(snapshot=0; snapshot<NumberOfConfig; snapshot++){
70     fgets(lineaUsada, 100, fpxyz); fgets(lineaUsada, 100, fpxyz);
71     for(line=0; line<NumberOfParticles; line++){
72         fgets(lineaUsada, 100, fpxyz);
73         sscanf(lineaUsada, "%s %f %f %f", AtomID[line], &x[line], &y[line], &z[line]);
74         //printf("%d \t %10.6f %10.6f %10.6f\n", line, AtomID[line], x[line], y[line], z[line])
75         ;
76         //Busca en el arreglo donde se encuentra el atomo A para tener coordenadas
77         if(snapshot == 0){
78             for(i=0; i<NumberOfParticles; i++){
79                 if(strstr(AtomID[i], AtomA) != 0){
80                     if(asignaA <= NA){
81                         contadorAtomA[asignaA]=i;
82                         //printf("A %s \t %d \t %d\n", AtomID[i], i, contadorAtomA[asignaA]);
83                         asignaA++;
84                     }
85                 }
86                 if(strstr(AtomID[i], AtomB) != 0){
87                     if(asignaB <= NB){
88                         contadorAtomB[asignaB]=i;
89                         //printf("B %s \t %d \t %d\n", AtomID[i], i, contadorAtomB[asignaB]);
90                         asignaB++;
91                     }
92                 }
93             }
94         }
95
96         if((snapshot+1) > NumberOfEqui){
97             SampleNumber++;
98             for(k=1; k<NA; k++){
99                 for(l=k+1; l<=NB; l++){
100                     i=contadorAtomA[k];
101                     j=contadorAtomB[l];
102                     dx = x[i] - x[j];
103                     dx = dx - SideX*round(dx/SideX);
104
105                     dy = y[i] - y[j];
106                     dy = dy - SideY*round(dy/SideY);
107
108                     dz = z[i] - z[j];

```

```

109     dz = dz - SideZ*round(dz/SideZ);
110
111     rij = sqrt(SQR(dx)+SQR(dy)+SQR(dz));
112
113     gAB[(int)(rij/dr)] += 2.0;
114 }
115 }
116 }
117 }
118
119
120 fpoutput2 = fopen(dirArchivogrAB, "w");
121 for(i=0; i<NumberOfBins; i++){
122     gAB[i] /= SampleNumber;
123     gAB[i] /= 4.0*M_PI/3.0*(CUB(i+1)-CUB(i))*CUB(dr);
124     fprintf(fpoutput2, "%f\t %f\n", (i+0.5)*dr, gAB[i]*vol/(NA*NB));
125
126     fclose(fpoutput2);
127     return 0;
128 }
129 int getLength(char* dir){
130     FILE *f;
131     //obtiene la cantidad de lineas del archivo
132     int l=0;
133     char linea[100];
134     f=fopen(dir, 'r');
135     if(f!=NULL){
136         while(!feof(f)){
137             fgets(linea, 100, f);
138             l++;
139         }
140         fclose(f);
141     }
142     return l-1;
143 }

```

7.26 Subrutina para calcular mapas estructurales

```

1 /*
2 * Este programa divide una cara de la celda en una malla con cuadrículas
3 * del mismo tamaño. Por ejemplo la cara x,z cada angstrom.
4 * */
5 #include "librerias.h"
6
7 //la unidad de medida de la caja es en angstroms
8 #define SideX 19.7056
9 #define SideY 295.5846
10 #define SideZ 19.7056
11
12 int main(int argc, char** argv){
13     //Archivo xyz
14     strcpy(Archivo, argv[1]);
15
16     //Coordenada que no se analiza, y: analiza x y z
17     strcpy(Coordinate, argv[2]);
18
19     //Divisiones en la malla 19x19
20     Bins = atof(argv[3]);
21
22     //Atomo a considerar, Oxigeno
23     strcpy(TypeAtomsConsider, argv[4]);
24
25     //distancia maxima a la superficie
26     limite = atof(argv[5]);

```

```

27
28 //seleccion de la coordenada de analisis
29 CoordinateSelection();
30
31 //Calculo de tamaño de cuadrícula
32 ComputeDeltaGrid();
33
34 //Calcula las líneas del archivo
35 LinesFile = LongitudArchivo(Archivo);
36
37 //Calcula el número de configuraciones
38 fileParticlesConfiguration(Archivo);
39
40 //Verifica que el tamaño de los arreglos
41 if(Alerts() != 2){return 0;}
42
43 //Analiza la trayectoria
44 file_xyz=fopen(Archivo, "r");
45
46         for(Replicas=0; Replicas < Configuration; Replicas++){
47             //Asigna coordenadas a los arreglos
48             ReadFileValues();
49             //Asigna los átomos
50             MapGrid();
51             }
52
53         //Imprime Archivo para gnuplot
54         FileGnuplotGrid();
55         system("gnuplot input.gpl");
56         //system("gnuplot input2.gpl");
57         fclose(file_xyz);
58
59         return 0;
60
61 }

```

7.27 Subrutina para obtener estructuras de agua hasta 5 Å de la superficie

```

1 #include "librerias.h"
2
3 int main(int argc, char** argv){
4     //Recibe la replica en xyz
5     strcpy(Archivo, argv[1]);
6
7     //lee líneas de archivo
8     LinesFile = LongitudArchivo(Archivo);
9
10    //calcula el número de configuraciones
11    fileParticlesConfiguration(Archivo);
12
13    freopen("MoleculasBin1y2.xyz", "w", stdout);
14    file_xyz=fopen(Archivo, "r");
15    for(Replicas=0; Replicas < Configuration; Replicas++){
16        ReadFileValues();
17        ImprimeBines();
18    }
19    fclose(file_xyz);
20    fclose(stdout);
21
22    return 0;
23
24 }

```